

ผลของมอนเติร์มอริลโล่ในตัวดัดแปลงด้วยชอร์บิทอลต่อการเกิดผลีกและความทนแรงกระแทก
ของพอลิโพรฟลีนนาโนคอมโพสิต

นางสาว อาจารี อัศวดิลกฤทธิ์

วิทยานิพนธ์นี้เป็นส่วนหนึ่งของการศึกษาตามหลักสูตรปริญญาวิทยาศาสตร์มหาบัณฑิต
สาขาวิชาวิทยาศาสตร์พอลิเมอร์ประยุกต์และเทคโนโลยีสิ่งทอ ภาควิชาวัสดุศาสตร์
คณะวิทยาศาสตร์ จุฬาลงกรณ์มหาวิทยาลัย
ปีการศึกษา 2551
ลิขสิทธิ์ของจุฬาลงกรณ์มหาวิทยาลัย

EFFECTS OF SORBITOL-MODIFIED MONTMORILLONITE ON CRYSTALLIZATION AND
IMPACT STRENGTH OF POLYPROPYLENE NANOCOMPOSITES

Miss Ajaree Ussawadilokrit

A Thesis Submitted in Partial Fulfillment of the Requirements
for the Degree of Master of Science Program in Applied Polymer Science
and Textile Technology Department of Materials Science
Chulalongkorn University
Academic Year 2008
Copyright of Chulalongkorn University

หัวข้อวิทยานิพนธ์

โดย

สาขาวิชา

อาจารย์ที่ปรึกษาวิทยานิพนธ์หลัก
อาจารย์ที่ปรึกษาวิทยานิพนธ์ร่วม

ผลของมอนเตอร์มอริลโล่ในต่อตัวแบบด้วยซอฟต์แวร์บีทอลต่อ

การเกิดผลลัพธ์และความทันแรงกระแทกของ
พอลิไพรพิลินนาโนคอมพอยสิต

นางสาว อาราจี ยังศรีดิลกฤทธิ์

วิทยาศาสตร์พอลิเมอร์ประยุกต์และเทคโนโลยีสิ่งทอ
รองศาสตราจารย์ เสาวรจน์ ชัยจุลจิตร์
อาจารย์ ดร. สุจารินี คชวัฒน์

คณะวิทยาศาสตร์ จุฬาลงกรณ์มหาวิทยาลัย อนุมัติให้บัณฑิตวิทยานิพนธ์ฉบับนี้เป็นส่วน
หนึ่งของการศึกษาตามหลักสูตรปริญญามหาบัณฑิต

คณบดีคณะวิทยาศาสตร์

(ศาสตราจารย์ ดร. สุพจน์ หารือนงบัว)

คณะกรรมการสอบบัณฑิตวิทยานิพนธ์

ประธานกรรมการ

(ผู้ช่วยศาสตราจารย์ ดร. ศิริรัตน์ เจริญศิริเลิศ)

อาจารย์ที่ปรึกษาวิทยานิพนธ์หลัก
(รองศาสตราจารย์ เสาวรจน์ ชัยจุลจิตร์)

อาจารย์ที่ปรึกษาวิทยานิพนธ์ร่วม
(อาจารย์ ดร. สุจารินี คชวัฒน์)

กรรมการภายนอกมหาวิทยาลัย
(ดร. ชัยวัฒน์ นรกรานต์กร)

อาจารี อัศววิດิกฤทิร์ : ผลของมอนต์มอริลโลไนต์ดัดแปลงด้วยซอร์บิทอลต่อการเกิดผลึก และความหนาแรงกระแทกของพอลิโพร์พลีนนาโนคอมโพสิต. (EFFECTS OF SORBITOL-MODIFIED MONTMORILLONITE ON CRYSTALLIZATION AND IMPACT STRENGTH OF POLYPROPYLENE NANOCOMPOSITES).

อาจารย์ที่ปรึกษาวิทยานิพนธ์หลัก : รองศาสตราจารย์ เสาวรุจนา ช่วยจุลจิตร์,

อาจารย์ที่ปรึกษาวิทยานิพนธ์ร่วม : อาจารย์ ดร. สุจารินี คชัวณ์, 62 หน้า.

งานวิจัยนี้มีจุดประสงค์เพื่อตรวจสอบผลของมอนต์มอริลโลไนต์ดัดแปลงด้วยซอร์บิทอล ต่อพฤติกรรมการเกิดผลึก และความหนาแรงกระแทกของพอลิโพร์พลีนนาโนคอมโพสิต มอนต์มอริลโลไนต์ถูกดัดแปลงโดยการนำไบผงสมกับซอร์บิทอลในอัตราส่วนระหว่าง มอนต์มอริลโลไนต์ : ซอร์บิทอลโดยน้ำหนักเท่ากัน 1:2 ด้วยเครื่องผสมความเร็วสูง ผลจาก เอ็กซ์เรย์ดิฟเฟρაกชันซึ่งให้เห็นว่าซอร์บิทอลได้แทรกเข้าไปอยู่ระหว่างระนาบ 001 ของโครงสร้าง มอนต์มอริลโลไนต์ที่ถูกดัดแปลงเกิดเป็นโครงสร้างแบบอินเตอร์คาเลต มอนต์มอริลโลไนต์ที่ถูกดัดแปลงแล้วจะถูกนำมาทำ试验ในอัตราส่วนของมอนต์มอริลโลไนต์ดัดแปลงเป็น 1, 3, 5 และ 7 ส่วนต่อพอลิโพร์พลีน 100 ส่วน ด้วยวิธีแบบหลอมเหลวบนเครื่องบดผสมแบบ ส่องลูกลิง และขันรูปด้วยวิธีอัดแบบ

แพทเทิร์นของเอ็กซ์เรย์ดิฟเฟρาگชันซึ่งให้เห็นว่าสายโซ่พอลิโพร์พลีนได้แทรกเข้าไปใน แกเลอเรีของมอนต์มอริลโลไนต์ดัดแปลง เกิดเป็นนาโนคอมโพสิตแบบเอกซ์ฟอลิเอต ซึ่งผลึก ที่เกิดขึ้นจากการเติมมอนต์มอริลโลไนต์ และมอนต์มอริลโลไนต์ดัดแปลงเป็นผลึกแบบแอลฟ่า โดยสเปียร์ไลต์จากการเติมมอนต์มอริลโลไนต์ทั้งสองรูปแบบมีปริมาณเพิ่มขึ้น และมีขนาดลดลง ชั้นงานนาโนคอมโพสิตของพอลิโพร์พลีน/มอนต์มอริลโลไนต์ดัดแปลงที่เตรียมโดยใช้อัตราส่วน มอนต์มอริลโลไนต์ดัดแปลงในปริมาณ 1 ส่วนต่อพอลิโพร์พลีน 100 ส่วนโดยน้ำหนักมีความหนาแรง กระแทกที่อุณหภูมิห้อง, 0 องศาเซลเซียส และ -30 องศาเซลเซียสสูงสุด คือ 3.4, 3.2 และ 2.7 กิโลกรัมต่อตารางเมตร ตามลำดับ

ภาควิชาวัสดุศาสตร์

นายมีอธิบดี.....

สาขาวิชาวิทยาศาสตร์พอลิเมอร์ประยุกต์ นายมีอธิบดี อ.ที่ปรึกษาวิทยานิพนธ์หลัก.....
และเทคโนโลยีสิ่งทอ

ปีการศึกษา 2551

นายมีอธิบดี อ.ที่ปรึกษาวิทยานิพนธ์ร่วม.....

5072572923: MAJOR APPLIED POLYMER SCIENCE AND TEXTILE TECHNOLOGY
KEYWORDS : IMPACT STRENGTH / CRYSTALLIZATION / POLYPROPYLENE
NANOCOMPOSITES .

AJAREE USSAWADILOKRIT : EFFECTS OF SORBITOL-MODIFIED
MONTMORILLONITE ON CRYSTALLIZATION AND IMPACT STRENGTH
OF POLYPROPYLENE NANOCOMPOSITES. ADVISOR : ASSOC. PROF.
SAOWAROJ CHUAYJULJIT, CO-ADVISOR : SUJARINEE KOCHAWATTANA,
Ph.D., 62 pp.

The objective of this research is to investigate the effects of sorbitol-modified montmorillonite (MMT) on crystallization behaviors and impact strength of polypropylene (PP) nanocomposites. The modification process included mixing of montmorillonite and sorbitol with the weight ratio of montmorillonite : sorbitol = 1:2 using a high speed mixer. Results from X-ray diffraction indicated that sorbitol were intercalated in between montmorillonite layers along 001 direction. Modified montmorillonite powders at the amounts of 1, 3, 5 and 7 part were mixed with hundred of PP means of melt blending on a two-roll mill and pressed into specimens.

XRD patterns indicated that PP chains could intercalate into the gallery of modified-MMT to form the exfoliated PP nanocomposites. The crystal phase obtained from this process was Alpha. Compared to pure PP, higher amounts and smaller size of spherulites were observed in the nanocomposites. The specimens of PP/modified-MMT nanocomposite with the PP concentration of 1 phr gained the highest impact strength of 3.4, 3.2 and 2.7 kJ/mm² when tested at room temperature, 0°C and -30°C, respectively.

Department : Material Science Student's Signature

Field of Study : Applied polymer science Advisor's Signature.....
and textile technology

Academic Year 2008 Co-Advisor's Signature.....

กิตติกรรมประกาศ

วิทยานิพนธ์ฉบับนี้สำเร็จลุล่วงตามวัตถุประสงค์ที่ตั้งไว้ได้อย่างสมบูรณ์นั้นเป็นเพราะได้รับคำแนะนำทางวิชาการ ความเชื่อเพื่อด้านเครื่องมือ วัตถุดิบ และสถานที่สำหรับทำวิทยานิพนธ์ อีกทั้งได้รับความช่วยเหลือ และแนะนำในการทำวิทยานิพนธ์จากผู้ทรงคุณวุฒิในด้านต่างๆเป็นอย่างดี ข้าพเจ้าจึงได้ขอขอบพระคุณบุคคล และหน่วยงานที่เกี่ยวข้องซึ่งมีรายนามดังนี้

1. รองศาสตราจารย์ เสาระจน ช่วยจุลจิตร์ อาจารย์ที่ปรึกษาวิทยานิพนธ์ และ อาจารย์ ดร. สุจารินี คงวัฒน์ อาจารย์ที่ปรึกษาวิทยานิพนธ์ร่วมที่ให้คำปรึกษาในการแก้ปัญหา และแนะนำทางในการทำวิทยานิพนธ์ รวมถึงการจัดทำวิทยานิพนธ์ฉบับสมบูรณ์
2. ผู้ช่วยศาสตราจารย์ ดร.ศิริรัตน์ เจริญศิริเลิศ ประธานกรรมการสอบวิทยานิพนธ์ที่ให้คำแนะนำและตรวจสอบการจัดทำวิทยานิพนธ์ฉบับสมบูรณ์
3. ดร. ชัยวัฒน์ นรากานต์กุร กรรมการสอบวิทยานิพนธ์ที่ให้คำแนะนำและตรวจสอบการจัดทำวิทยานิพนธ์ฉบับสมบูรณ์
4. ศูนย์ความเป็นเลิศแห่งชาติด้านปิโตรเคมี ปิโตรเคมี และวัสดุขั้นสูง ที่ได้ให้ทุนสนับสนุนด้านการศึกษา และงานวิจัย
5. ภาควิชาวัสดุศาสตร์ คณะวิทยาศาสตร์ จุฬาลงกรณ์มหาวิทยาลัย ที่เชื่อเพื่อสถานที่สำหรับทำวิทยานิพนธ์
6. คุณสมพงษ์ ชุติกุลสวัสดิ์ ที่อำนวยความสะดวกในด้านสารเคมี อุปกรณ์ และเครื่องแก้วที่ใช้ในการทดลอง
7. คุณสมคิด ทองศิลา ที่อำนวยความสะดวกในการใช้เครื่องมือในการขึ้นรูปชิ้นงาน
8. คุณมานพ ติราเวตนาสมพจน์ ศูนย์เครื่องมือวิจัยวิทยาศาสตร์และเทคโนโลยี จุฬาลงกรณ์มหาวิทยาลัย
9. สถาบันวิจัยโลหะและวัสดุ จุฬาลงกรณ์มหาวิทยาลัย ที่ได้ให้ความอนุเคราะห์ มอนเต็มอริล์ลใจไลน์
10. บริษัท เอชเอ็มซี โปรดิเมอร์ จำกัด ที่ได้ให้ความอนุเคราะห์ผังพลาสติกพอลิไพรพิลีน

สุดท้ายนี้ขอกราบขอบพระคุณบิดา แมรดา ที่ให้การสนับสนุน และให้กำลังใจในการทำวิทยานิพนธ์จนสำเร็จลุล่วงด้วยดี รวมทั้งอาจารย์ทุกท่านที่ช่วยประสิทธิ์ประสาทวิชาความรู้ให้แก่ข้าพเจ้าจนสามารถสร้างสรรค์วิทยานิพนธ์ฉบับนี้ได้สำเร็จ และพี่ๆ เพื่อนๆ นิสิตภาควิชา วัสดุศาสตร์ทุกท่านสำหรับความช่วยเหลือ และความป่วยภารណาดีแก่ผู้วิจัยตลอดมา

สารบัญ

	หน้า
บทคัดย่อภาษาไทย.....	๑
บทคัดย่อภาษาอังกฤษ.....	๑
กิตติกรรมประกาศ.....	๙
สารบัญ.....	๙
สารบัญตาราง.....	๖
สารบัญภาพ.....	๙
 บทที่	
1. บทนำ.....	1
2. วารสารบริหารศรี.....	3
2.1 พอลิโพร์พลีน (Polypropylene, PP).....	3
2.1.1 โครงสร้างผลึกของพอลิโพร์พลีน.....	5
2.1.1.1 ผลึกแอลฟ่า.....	6
2.1.1.2 ผลึกบีตา.....	7
2.1.1.3 ผลึกแกรมมา.....	8
2.1.1.4 ผลึกสมектิก.....	8
2.1.2 การเกิดผลึกของพอลิโพร์พลีน.....	10
2.1.3 การใช้งานของพอลิโพร์พลีน.....	12
2.2 แร่ดิน (clay)	13
2.2.1 กลุ่มเกอลินไนเต้ (Kaolinite group).....	14
2.2.2 กลุ่มแร่อลไลท์ (Illite group)	15
2.2.3 กลุ่มแร่เวอร์มิคิลิต (vermiculite)	16
2.2.4 กลุ่มแร่สเมคไทต์ (Smectite group)	16
2.2.4.1 มอนต์มอริลลอนไนเต้ (Montmorillonite).....	18
2.2.4.1.1 ปัจจัยที่ควบคุมการแตกเปลี่ยนไอโอนบางในดิน.....	22
2.2.4.1.2 ความสามารถในการแตกเปลี่ยนประจุ (Cation Exchange Capacity : CEC).....	23

	หน้า
2.3 ซอร์บิทอล (sorbitol)	23
2.4 นาโนคอมโพสิต (Nanocomposites)	25
2.4.1 ลักษณะสำคัญของพอลิเมอร์-เคลย์นาโนคอมโพสิต	27
2.4.2 ผลิตภัณฑ์สำคัญของพอลิเมอร์-เคลย์นาโนคอมโพสิต.....	27
2.4.3 แนวโน้มการพัฒนานาโนเคลย์ และพอลิเมอร์นาโนคอมโพสิต.....	28
3. การทดลอง.....	30
3.1 สารเคมี อุปกรณ์ และ เครื่องมือ.....	30
3.1.1 สารเคมี.....	30
3.1.2 อุปกรณ์ และเครื่องมือ.....	31
3.2 ขั้นตอนการดำเนินงาน	32
3.2.1 การตัดແປ່ມອນຕົມອຣິລໂລໄນ້ຕໍ່ວ່າຍຊອງບີທອລ.....	32
3.2.2 การตรวจสอบโครงสร้างผลึกของ MMT และ sorbitol-modified MMT ด້ວຍເຖິງ XRD.....	33
3.2.3 การวิเคราะห์โครงสร้างของซอร์ບີທອລ, MMT และ sorbitol-modified MMT ດ້ວຍເຖິງ FT-IR.....	34
3.2.4 การเตรียมພອລິພຣີລິນນາโนคอมພອສິຕ.....	34
3.2.5 การตรวจสอบโครงสร้างผลึกของພອລິພຣີລິນນາโนคอมພອສິຕດ້ວຍ ເຖິງ XRD	35
3.2.6 ตรวจสอบพฤติกรรมการเกิดผลึกของພອລິພຣີລິນນາโนคอมພອສິຕ ດ້ວຍເຖິງ DSC.....	35
3.2.7 ตรวจสอบลักษณะผลึกของພອລິພຣີລິນດ້ວຍເຖິງ polarized microscopy (PM).....	36
3.2.8 การตรวจสอบสัญญาณวิทยาของພອລິພຣີລິນນາโนคอมພອສິຕດ້ວຍ ເຖິງ SEM.....	37
3.2.9 ทดสอบสมบัติความทนแรงกระแทกของนาโนคอมພອສິຕດ້ວຍ Charpy impact tester	37
4. ผลการทดลองและวิจารณ์ผลการทดลอง.....	38
4.1 การวิเคราะห์โครงสร้างของซอร์ບີທອລ, มອນຕົມອຣິລໂລໄນ້ຕໍ່ວ່າຍແປ່ມ ດ້ວຍເຖິງ FT-IR.....	38

หน้า

4.2 การตรวจสอบโครงสร้างผลึกของมอนเต็มอริลโลไลน์ต์, มอนเต็มอริลโลไลน์ต์ดัดแปลง และพอลิโพร์พิลีนนาโนคอมพอสิตที่เตรียมได้ด้วยเทคนิค XRD.....	39
4.3 การตรวจสอบสมบัติทางความร้อน และปริมาณผลึกที่เกิดขึ้นของ พอลิโพร์พิลีน/มอนเต็มอริลโลไลน์ต์ดัดแปลงนาโนคอมพอสิตที่เตรียมได้ด้วย เทคนิค DSC.....	42
4.4 การตรวจสอบลักษณะผลึกที่เกิดขึ้นของพอลิโพร์พิลีน, พอลิโพร์พิลีน/ มอนเต็มอริลโลไลน์ต์ นาโนคอมพอสิต และพอลิโพร์พิลีน/มอนเต็มอริลโลไลน์ต์ดัดแปลง นาโนคอมพอสิตที่เตรียมได้ด้วยเทคนิค polarized microscopy.....	44
4.5 การตรวจสอบการกระจายตัวของมอนเต็มอริลโลไลน์ต์ และมอนเต็มอริลโลไลน์ต์ ดัดแปลงพอลิโพร์พิลีนนาโนคอมพอสิต ด้วยเทคนิค SEM.....	49
4.6 การทดสอบสมบัติความทนแรงกระแทกของชั้นงานพอลิโพร์พิลีน และ พอลิโพร์พิลีนนาโนคอมพอสิต	52
5. สรุปผลการทดลองและข้อเสนอแนะ.....	55
5.1 สรุปผลการทดลอง.....	55
5.2 ข้อเสนอแนะ.....	55
รายการอ้างอิง.....	56
ภาคผนวก.....	59
ประวัติผู้เขียนวิทยานิพนธ์.....	63

สารบัญตาราง

	หน้า
ตารางที่ 2.1 โครงสร้างผลึกของไฮดรอกซิกลูติก็อกโพลิไพรพิลีน.....	10
ตารางที่ 2.2 สมบัติทางเคมี และ สมบัติทางกายภาพของชอร์บิทอล.....	25
ตารางที่ 3.1 สมบัติทั่วไปของโพลิไพรพิลีน.....	30
ตารางที่ 4.1 ขนาดผลึกแบบแอลฟ่าของ PP และของ PP ในนาโนคอมโพสิต	42
ตารางที่ 4.2 อุณหภูมิการเกิดผลึก (T_c) อุณหภูมิหลอมเหลว (T_m) และปริมาณผลึก (X_c) ของ PP และ PP nanocomposites	43
ตารางที่ 4.3 ความทนแรงกระแทกที่อุณหภูมิ 25°C, 0°C และ (-30)°C ของ PP และ PP nanocomposites	53

สารบัญภาพ

	หน้า
รูปที่ 2.1 ปฏิกริยาของกระบวนการเกิดพอลิโพร์พลีน.....	3
รูปที่ 2.2 ไอโซแทกทิกพอลิโพร์พลีน.....	3
รูปที่ 2.3 โครงสร้างการเรียงตัวแบบชินดิไอแทกติก.....	4
รูปที่ 2.4 โครงสร้างการเรียงตัวแบบอะแทกติก.....	4
รูปที่ 2.5 3/1 helix ของไอโซแทกติกพอลิโพร์พลีน.....	5
รูปที่ 2.6 โครงสร้างผลึกแบบโมโนคลินิก (monoclinic)	6
รูปที่ 2.7 ยูนิตเซลล์ของไอโซแทกติกพอลิโพร์พลีน (a) โมโนคลินิก (α -form) (b) เอกซ์ไนนัล (β -form) (c) ออร์โทромบิก (γ -form)	7
รูปที่ 2.8 โครงสร้างผลึกแบบเอกซ์ไนนัล (hexagonal)	7
รูปที่ 2.9 โครงสร้างผลึกแบบออร์โทромบิก(orthorhombic).....	8
รูปที่ 2.10 WAXS-pattern ของโครงสร้างผลึกของพอลิโพร์พลีน.....	9
รูปที่ 2.11 ไมโครกราฟของสเปียร์ลูไลท์ของพอลิโพร์พลีน ที่เติมสารก่อผลึก.....	10
รูปที่ 2.12 สเปียร์ลูไลท์ของ (a) พอลิโพร์พลีน (b) พอลิโพร์พลีน/5เบอร์เซ็นต์ ซิลิกา นาโนคอมพอยสิต.....	11
รูปที่ 2.13 ชั้นของซิลิกาเตตระไฮเดรต (silica tetrahedral).....	13
รูปที่ 2.14 ชั้นของอะลูมิโนออก tahedral (alumina-octahedral).....	13
รูปที่ 2.15 แบบจำลองโครงสร้างของเคอลินไนต์ (1 : 1).....	14
รูปที่ 2.16 โครงสร้างของอิลไดต์ (2 : 1).....	15
รูปที่ 2.17 โครงสร้างของแร่สมค์ไทร์.....	17
รูปที่ 2.18 โครงสร้างของมอนต์มอร์ล็อกไนต์.....	19
รูปที่ 2.19 การยึดติดกันระหว่างชั้นของดินกับประจุบวกที่อยู่ระหว่างชั้นของดิน.....	19
รูปที่ 2.20 ปฏิกริยาแลกเปลี่ยนประจุบวกที่อยู่ระหว่างชั้นของดินกับ คัวเทอร์นารีเอมโมเนียมไอโอกอน.....	20
รูปที่ 2.21 โครงสร้างของออร์กานิเคลย์.....	21
รูปที่ 2.22 โครงสร้างของชอร์บิಥอล.....	24
รูปที่ 2.23 การเติมไฮโดรเจนของกลูโคสได้เป็นชอร์บิಥอล.....	24
รูปที่ 2.24 การเติมไฮโดรเจนของฟรักโทส ได้ชอร์บิಥอลและแม่นิทอล.....	24

	หน้า
รูปที่ 2.25 การกระจายตัวของเคลือบในพอลิเมอร์คอมโพสิต.....	26
รูปที่ 3.1 เครื่องปั่นผสมชนิดความเร็วสูง (high speed mixer).....	32
รูปที่ 3.2 เครื่อง XRD ของ Bruker รุ่น AXS Model D8 Discover.....	33
รูปที่ 3.3 เครื่อง FT-IR ของ Thermo scientific Nicolet รุ่น 6700 FT-IR.....	34
รูปที่ 3.4 เครื่อง DSC ของ Perkin Elmer รุ่น DSC 7.....	36
รูปที่ 3.5 เครื่อง Polarized microscopy (PM) รุ่น Olympus BH2.....	36
รูปที่ 3.6 เครื่อง SEM ของ JEOL รุ่น JSM-5410LV.....	37
รูปที่ 3.7 เครื่อง Charpy Impact Tester รุ่น Izod-charpy Codice 10.17020.....	37
รูปที่ 4.1 แสดง FT-IR สเปกตรัมของ (a) ซอร์บิทอล (b) sorbitol-modified MMT และ (c) MMT.....	38
รูปที่ 4.2 XRD pattern ของ (a) MMT และ (b) sorbitol-modified MMT.....	39
รูปที่ 4.3 XRD pattern ของนาโนคอมพอสิต (a) 100 PP/1 modified-MMT (b) 100 PP/3 modified-MMT (c) 100 PP/5 modified-MMT และ (d) 100 PP/7 modified-MMT.....	40
รูปที่ 4.4 XRD pattern ของนาโนคอมพอสิต (a) 100 PP/1 MMT (b) 100 PP/3 MMT (c) 100 PP/5 MMT และ (d) 100 PP/7	40
รูปที่ 4.5 XRD pattern ของ (a) PP และ (b) PP/1 modified-MMT nanocomposite.....	41
รูปที่ 4.6 อุณหภูมิการก่อผลึก (T_c) ของ PP ใน (a) PP และ (b) 100 PP/ 1 modified-MMT, (c) 100 PP/3 modified-MMT, (d) 100 PP/5 modified-MMT และ (e) 100 PP/7 modified-MMT nanocomposites.....	42
รูปที่ 4.7 อุณหภูมิการก่อผลึก (T_c) ของ PP ใน (a) PP และ (b) 100 PP/1 MMT, (c) 100 PP/3 MMT, (d) 100 PP/5 MMT และ (e) 100 PP/7 MMT Nanocomposites.....	43
รูปที่ 4.8 ลักษณะเสียงรูไลต์ของ PP บริสุทธิ์.....	44
รูปที่ 4.9 ลักษณะเสียงรูไลต์ของ 100 PP/1 modified-MMT nanocomposite	45
รูปที่ 4.10 ลักษณะเสียงรูไลต์ของ 100 PP/3 modified-MMT nanocomposite	45
รูปที่ 4.11 ลักษณะเสียงรูไลต์ของ 100 PP/5 modified-MMT nanocomposite.....	46
รูปที่ 4.12 ลักษณะเสียงรูไลต์ของ 100 PP/7 modified-MMT nanocomposite.....	46
รูปที่ 4.13 ลักษณะเสียงรูไลต์ของ 100 PP/1 MMT nanocomposite.....	47

	หน้า
รูปที่ 4.14 ลักษณะเพิ่มขึ้นของ 100 PP/3 MMT nanocomposite.....	47
รูปที่ 4.15 ลักษณะเพิ่มขึ้นของ 100 PP/5 MMT nanocomposite.....	48
รูปที่ 4.16 ลักษณะเพิ่มขึ้นของ 100 PP/7 MMT nanocomposite.....	48
รูปที่ 4.17 ภาพ SEM ของ PP บริสุทธิ์.....	49
รูปที่ 4.18 ภาพ SEM ของ 100 PP/1 modified-MMT nanocomposite.....	49
รูปที่ 4.19 ภาพ SEM ของ 100 PP/1 MMT nanocomposite.....	50
รูปที่ 4.20 ภาพ SEM ของ 100 PP/3 modified-MMT nanocomposite.....	50
รูปที่ 4.21 ภาพ SEM ของ 100 PP/3 MMT nanocomposite.....	50
รูปที่ 4.22 ภาพ SEM ของ 100 PP/5 modified-MMT nanocomposite.....	51
รูปที่ 4.23 ภาพ SEM ของ 100 PP/5 MMT nanocomposite.....	51
รูปที่ 4.24 ภาพ SEM ของ 100 PP/7 modified-MMT nanocomposite.....	51
รูปที่ 4.25 ภาพ SEM ของ 100 PP/7 MMT nanocomposite.....	52
รูปที่ 4.26 ความหนาแน่นกະแทกที่ 25°C, 0°C และ -30°C ของ PP และ PP nanocomposites	53

บทที่ 1

บทนำ

ปัจจุบันวัสดุพอลิเมอร์นาโนคอมโพสิตกำลังได้รับความสนใจเป็นอย่างมากในการพัฒนาและปรับปรุงสมบัติต่างๆ ของผลิตภัณฑ์พลาสติก โดยการใช้สารเสริมแรงอนินทรีย์ที่มีขนาดอนุภาคระดับนาโนเมตรในปริมาณต่ำ (น้อยกว่า 10 เบอร์เซนต์) ซึ่งสมบัติที่ได้รับการปรับปรุงได้แก่ ความแข็งแรง เสถียรภาพทางความร้อน ความทนทานสารเคมี สมบัติการสกัดกั่น และความต้านทานการติดไฟ เป็นต้น ซึ่งสมบัติดังกล่าวจะเนื่องจากวัสดุคอมโพสิตดังเดิมที่ใช้กันอยู่ทั่วไป โดยไม่มีผลทำให้ความหนาแน่นของผลิตภัณฑ์เพิ่มขึ้นอย่างมีนัยสำคัญ สารอนินทรีย์ที่มีขนาดอนุภาคระดับนาโนเมตรนี้นิยมใช้มากที่สุด ได้แก่ มอนต์มอริลโลไนต์ (montmorillonite) ทั้งนี้เนื่องจากมีอยู่ในธรรมชาติเป็นจำนวนมาก ราคาถูก มีพื้นที่ผิวจำเพาะสูง (700-800 ตารางเมตรต่อกรัม) และมี aspect ratio สูง (10-10000) อย่างไรก็ตาม การที่มอนต์มอริลโลไนต์มีสมบัติขอบน้ำ (hydrophilic) จึงไม่สามารถเข้ารวมตัวกับพอลิเมอร์ที่มีสมบัติไม่ชอบน้ำ (hydrophobic) ได้ดี ซึ่งมีผลทำให้การปรับปรุงสมบัติของพอลิเมอร์ไม่เป็นไปตามต้องการ ดังนั้น การวิจัยเกี่ยวกับวัสดุพอลิเมอร์นาโนคอมโพสิตจึงมุ่งไปที่การดัดแปลงมอนต์มอริลโลไนต์ด้วยสารอินทรีย์เพื่อให้เหมาะสมกับการใช้งาน ซึ่งการดัดแปลงมอนต์มอริลโลไนต์ (MMT) ด้วยสารอินทรีย์อย่างเหมาะสมจะช่วยทำให้มอนต์มอริลโลไนต์เข้ารวมตัวกับพอลิเมอร์ได้มากขึ้น ซึ่งงานวิจัยนี้ได้ทำการดัดแปลงมอนต์มอริลโลไนต์ด้วยซอร์บิทอล (sorbitol) โดยใช้เครื่องปั่นความเร็วสูง (high speed mixer) ซึ่งเป็นกระบวนการที่เป็นมิตรกับสิ่งแวดล้อม (green process) เพราะไม่มีการใช้ตัวทำละลายอินทรีย์ นอกจากนี้ ยังไม่มีน้ำเสียจำนวนมากจากการล้างมอนต์มอริลโลไนต์ที่ถูกดัดแปลงด้วย

พอลิโพร์พีลีน (polypropylene, PP) เป็นเทอร์โมพลาสติกประเภทหนึ่งที่มีการใช้งานอย่างกว้างขวางทั้งในสินค้าอุตสาหกรรม และผลิตภัณฑ์เพื่อการอุปโภคบริโภค เนื่องจากเป็นพลาสติกที่มีราคาถูก มีความทนทานสารเคมีดีเยี่ยม มีความหนาแน่นต่ำ มีความทนแรงดึง และอุณหภูมิหลอมเหลวค่อนข้างสูง อีกทั้งยังเป็นพลาสติกที่สามารถรีไซเคิลได้ อย่างไรก็ตาม ข้อเสียที่สำคัญของพอลิโพร์พีลีน คือ มีความทนแรงกระแทกด้วยเฉพาะเมื่อใช้งานที่อุณหภูมิต่ำ ทั้งนี้เนื่องจากผลึกของพอลิโพร์พีลีนมีขนาดใหญ่ จึงมีผลทำให้ผลิตภัณฑ์ที่ได้มีลักษณะค่อนข้างแข็ง เปราะ และไม่เหมาะสมกับการใช้งานที่อุณหภูมิต่ำ

จากการดัดแปลงอุณหภูมิจากทำหน้าที่เป็นสารเสริมแรงที่มีประสิทธิภาพแล้ว ยังสามารถทำหน้าที่เป็นสารก่อผลึก (nucleating agent) ได้ด้วย ซึ่งมีผลทำให้พอลิเมอร์มีปริมาณผลึกเพิ่มขึ้น และผลึกมีขนาดเล็กลง โดยเพิ่มอุณหภูมิการเกิดผลึก (crystallization temperature, T_c) และอัตราการเกิดผลึก (crystallization rate) ของพอลิเมอร์ซึ่งมีผลทำให้มีรอบเวลา (cycle time) ในกระบวนการผลิตสั้นลง มีสัณฐานวิทยาที่สม่ำเสมอ เพิ่มความโปร่งใส และยังปรับปรุงสมบัติเชิงกลของพอลิเมอร์ให้ดียิ่งขึ้น

ดังนั้น งานวิจัยนี้จึงมุ่งศึกษาผลของการใช้มอนต์มอริลโลในตีดัดแปลงอุณหภูมิโดยกระบวนการการดัดแปลงแบบหลอมเหลวต่อการเกิดผลึกของพอลิโพริลีน และความทันแรงกระแทกของพอลิโพริลีนนาโนคอมพอสิต จากการตรวจสอบโครงสร้างของวัสดุนาโนคอมพอสิต ด้วยเทคนิค เอ็กซ์เรย์ดิฟเฟρกชัน (X-ray diffraction, XRD) พฤติกรรมการเกิดผลึกด้วยเทคนิค ดิฟเฟρเօرنเชียลสแกนนิ่งแคลอริมิตรี (Differential scanning calorimetry, DSC) สัณฐานวิทยา ของผลึกด้วยเทคนิค พอลาร่าizer ไมโครสโคปี (polarized microscopy) การกระจายตัวของมอนต์มอริลโลในตีด้วยเทคนิค สแกนนิ่งอิเล็กตรอนไมโครสโคปี (Scanning electron microscopy, SEM) และทดสอบสมบัติความทันแรงกระแทกของผลิตภัณฑ์

บทที่ 2

วารสารปริทรรศน์

2.1 พอลิโพรพิลีน (Polypropylene, PP)

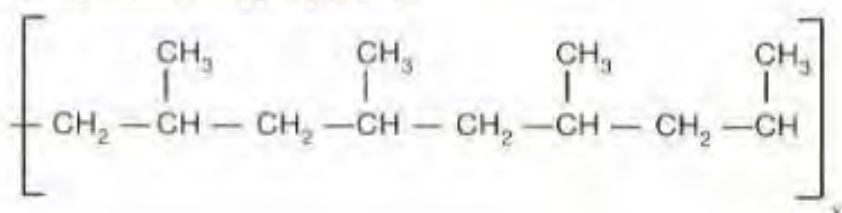
พอลิโพรพิลีนเป็นเทอร์โมพลาสติกประเภทหนึ่งที่เตรียมได้จากปฏิกิริยาการเกิดพอลิเมอร์แบบรวมตัว (addition polymerization) ของโพรพิลีนบนเคมเออร์ที่มีตัวเร่งปฏิกิริยาร่วมอยู่ด้วย ดังแสดงในรูปที่ 2.1



รูปที่ 2.1 ปฏิกิริยาของกระบวนการเกิดพอลิโพรพิลีน [1]

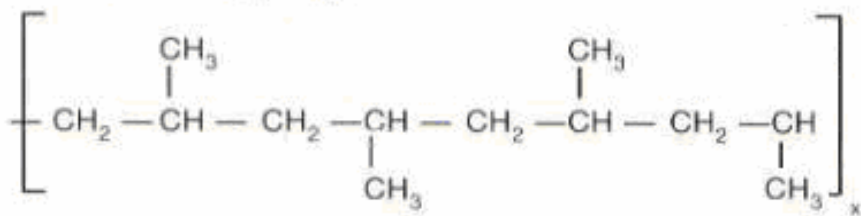
พอลิโพรพิลีนที่ได้มีลักษณะต่างๆ กัน ซึ่งสามารถแบ่งตามการจัดเรียงตัวได้ 3 ประเภท [2] ดังนี้

1. ไอโซแทกทิกพอลิโพรพิลีน (Isotactic polypropylene) โดยหมู่เมทธิล (methyl) ที่เกาะอยู่ กับสายโซ่มีการจัดเรียงตัวในทิศทางเดียวกันตลอดทั้งสายโซ่ ทำให้การจัดเรียงตัว แบบนี้มีความเป็นระเบียบมากที่สุด พอลิโพรพิลีนชนิดนี้จึงมีความเป็นผลึก (crystallinity) ค่อนข้างสูง เนื่องจากมีโครงสร้างที่เป็นระเบียบ ดังแสดงในรูปที่ 2.2



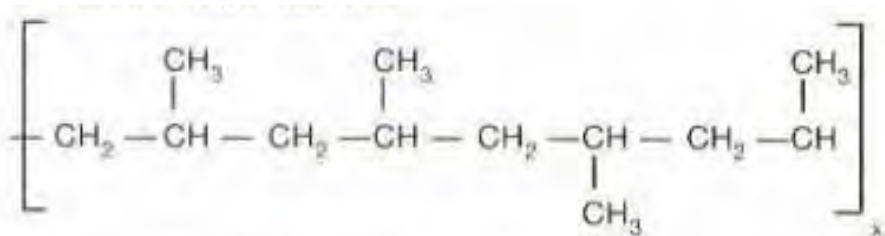
รูปที่ 2.2 ไอโซแทกทิกพอลิโพรพิลีน [2]

2. ซินดิไอแทกทิกพอลิโพรพิลีน (Syndiotactic polypropylene) โดยหมู่เมทธิลที่เกาะอยู่ กับสายโซ่จะสลับกันอยู่คนละข้างของสายโซ่พอลิเมอร์อย่างเป็นระเบียบ ดังแสดง ในรูปที่ 2.3



รูปที่ 2.3 ชินดิโอแทกทิกโพลิโพร์พีลีน [2]

3. อะแทกทิกโพลิโพร์พีลีน (Atactic polypropylene) โดยหมู่เมทธิล (methyl) ที่เกาะอยู่กับสายโซ่จะไม่แนวparee จางอยู่ข้างใดข้างหนึ่ง หรือลับกันทั้งสาย แต่อยู่แบบสุ่มไปตามสายโซ่ ดังแสดงในรูปที่ 2.4 ซึ่งจากการว่างตัวของหมู่เมทธิลนี้ จะทำให้โพลิเมอร์ที่ได้มีความไม่เป็นระเบียบ และมีความเป็นผลึกน้อย หรือมีความเป็นอสันธान (amorphous) มากกว่า จึงมีลักษณะคล้ายยางที่ไม่แข็งแรงและไม่เหมาะกับการใช้งาน



รูปที่ 2.4 อะแทกทิกโพลิโพร์พีลีน [2]

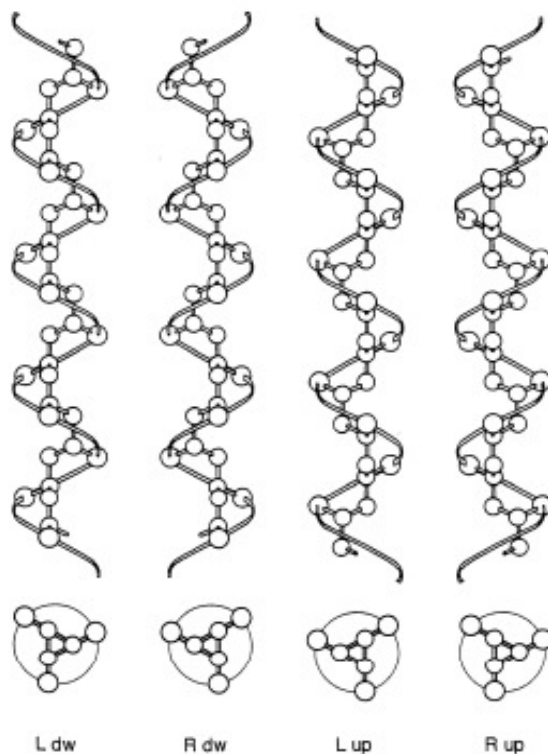
โพลิโพร์พีลีนมีความหนาแน่น 0.90 กรัมต่อ立方เมตร (g/cm^3) มีสมบัติที่ดี ได้แก่ มีความทนทานสารเคมีดีเยี่ยม มีความทนแรงดึงสูง มีความทนความร้อนสูง มีจุดหลอมเหลวสูง มีความทนไขมัน และน้ำมันได้ดี เป็นต้น อย่างไรก็ตาม ข้อเสียที่สำคัญของโพลิโพร์พีลีน คือ มีความเปราะที่อุณหภูมิต่ำ ทั้งนี้เนื่องจากผลึกของโพลิโพร์พีลีนมีขนาดใหญ่ จึงมีผลทำให้ผลิตภัณฑ์ที่ได้มีลักษณะค่อนข้างแข็งเปราะ และไม่เหมาะสมกับการใช้งานที่อุณหภูมิต่ำ [1-3]

Lehmann และคณะ [4] ได้ทำการปรับปรุงความเนียน雅ของโพลิโพร์พีลีนคอมโพสิต โดยการผสมโพลิโพร์พีลีนกับนาโนซิลิกาที่กราฟต์ด้วยโพลิเอทธิลอะคริเลต [poly(ethyl acrylate), PEA] และยางเอทิลีน-โพร์พีลีน-డีอีน (Ethyle-Propylene-Diene Rubber, EPDM) พบว่า การเติมนาโนซิลิกากราฟต์ด้วย PEA นั้นไม่เพียงพอที่จะทำให้โพลิโพร์พีลีนมีความทนแรงกระแทก เพิ่มขึ้น หากแต่การใส่ยาง EPDM ร่วมกับนาโนซิลิกาจะช่วยเสริมให้ความทนแรงกระแทกของนาโนคอมโพสิตมีค่าเพิ่มขึ้น โดยที่ยังคงความทนแรงดึงของผลิตภัณฑ์ไว้ได้

นอกจากนี้ ยังมีงานวิจัยของ Zhang และคณะ [5] ที่ได้ศึกษาความทนแรงกระแทกของ พอลิโพร์พลีนที่เติมด้วยท่อนาโนคาร์บอน (carbon nanotube) ซึ่งมีความยาว 1-2 ไมโครเมตร และ 5-15 ไมโครเมตร ในปริมาณ 1 phr พบว่าท่อนาโนคาร์บอนที่มีความมากกว่าจะมีประสิทธิภาพ ในการเพิ่มความทนแรงกระแทกมากกว่าท่อนาโนคาร์บอนสั้นๆ รวมทั้งการเกิด สเปียร์ไลต์ขนาดเล็กลงจากการเหนี่ยวนำของท่อนาโนคาร์บอน จะมีผลต่อการปรับปรุงความทนแรงกระแทกของ พอลิโพร์พลีนด้วย

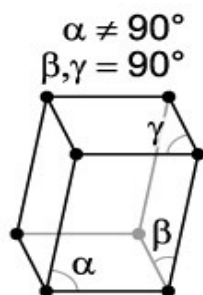
2.1.1 โครงสร้างผลึกของพอลิโพร์พลีน

พอลิโพร์พลีนเป็นพอลิเมอร์กึ่งผลึก (semicrystalline) ที่สายโซ่มีความเป็นระเบียบสูง โดยเฉพาะสายโซ่ของไอโซแทกทิกพอลิโพร์พลีน ซึ่งมีลักษณะเป็น trans/gauche/trans/gauche (TGTG) conformation ของสายโซ่แบบ 3/1 helix [3] ดังแสดงในรูปที่ 2.5 และหมุ่เมทิลทำให้เกิด การหมุนรอบแกนโมเลกุล (backbone) ได้ 2 แบบ คือ เกลียวขวา (right-handed helices) และ เกลียวซ้าย (left-handed helices) ซึ่งทำให้โครงสร้างผลึกของไอโซแทกทิกพอลิโพร์พลีนที่เกิดขึ้น มีการจัดเรียงตัวของสายโซ่โมเลกุล 4 แบบ [1-3, 7] คือ

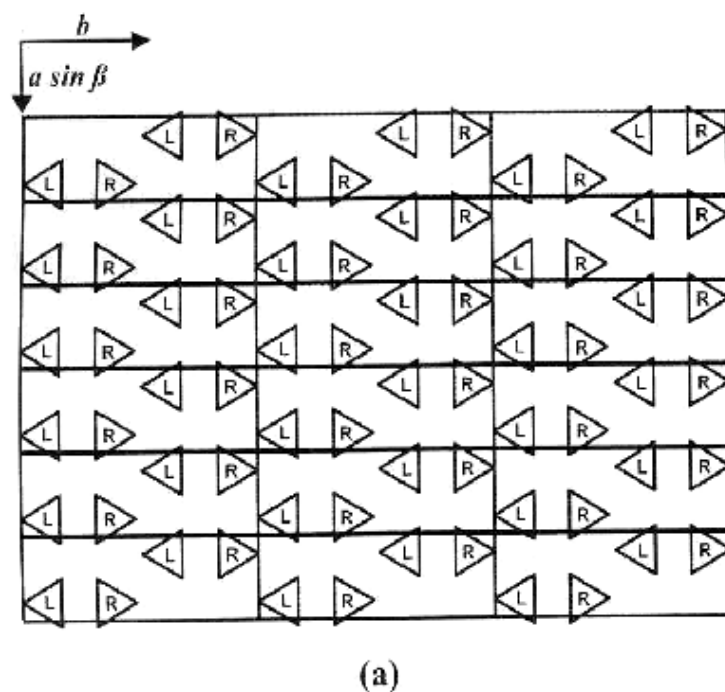


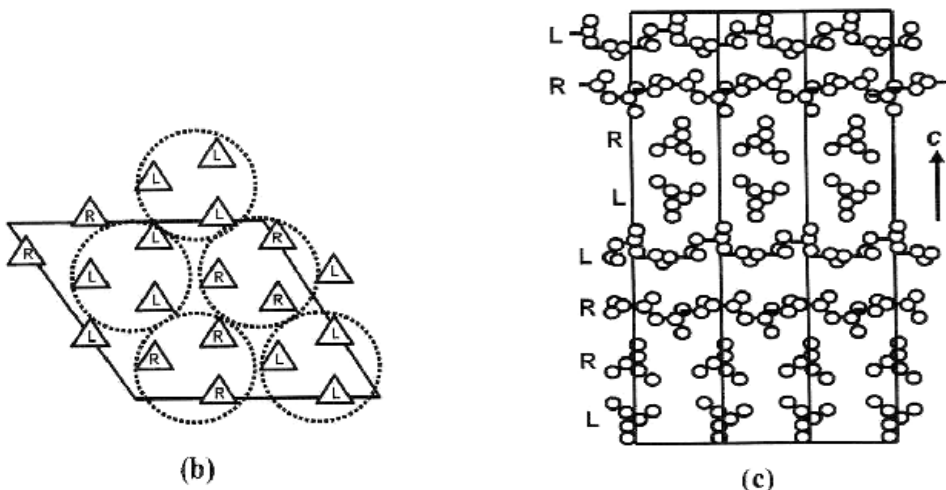
รูปที่ 2.5 แสดง 3/1 helix ของไอโซแทกทิกพอลิโพร์พลีน [1]

2.1.1.1 ผลึกแอลฟ่า (α -form) ถูกค้นพบครั้งแรกโดย Natta และคณะ ในปีค.ศ. 1954 เป็นผลึกที่เกิดมากที่สุดจากการเกิดผลึกแบบหลอมเหลวหรือแบบสารละลาย โดยผลึกมี เส้นผ่าศูนย์กลางที่สุด และมีโครงสร้างแบบมอนโคลินิก (monoclinic) ดังแสดงในรูปที่ 2.6 ซึ่งมี ขนาดของยูนิตเซลล์เป็น $20.8 \times 6.6 \times 6.5$ Å อังสตروم (Å) และพับไปมาซ้อนกันเป็นชั้น lamellae ที่มีความหนา 50-200 อังสตروم (Å) [6], มีความหนาแน่นของผลึกเท่ากับ 0.936 กรัมต่อ ลูกบาศก์เซนติเมตร (g/cm^3) และมีอุณหภูมิหลอมเหลวผลึกสมดุล (equilibrium melting point, T_m °) ประมาณ 208 ± 8 อองศาเซลเซียส (°C) โดยมีการจัดเรียงสายโซ่วนซ้าย, ขวา อย่างเป็น ระเบียบและต่อเนื่องดังแสดงในรูปที่ 2.7(a)



รูปที่ 2.6 โครงสร้างผลึกแบบมอนโคลินิก (monoclinic) [6]



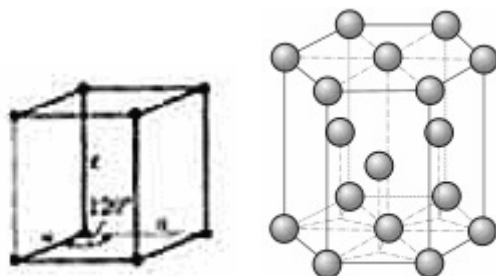


รูปที่ 2.7 ยนิตเซลล์ของไอโซแทกทิกพอลิโพริลีน (a) มองคลินิก (α -form)

(b) ເສກະໂກນັດ (β -form) ແລະ (c) ອອຣີໂທຮອມປຶກ (γ -form) [3]

2.1.1.2 ผลึกบีตา (β -form) ถูกค้นพบครั้งแรกโดย Keith และคณะ ในปี ค.ศ.1959-

1960 ซึ่งมีรูปแบบการเลี้ยงเป็นของรังสีเอกซ์ที่ต่างไปจากรูปผลึกแอลฟ่า โดยผลึกบีตาเป็นผลึกที่ค่อนข้างเสถียร มีโครงสร้างแบบเอกหะโนนัล (hexagonal) ดังแสดงในรูปที่ 2.8 ซึ่งสังเกตพบบางครั้งในระหว่างการเกิดผลึกของพอลิโพร์พิลีนที่หลอมเหลว หรือในพอลิโพร์พิลีนที่ได้เติมสารก่อผลึก (nucleating agent) บางชนิด เช่น *N,N'-dicyclohexyl naphthalene-2,6-dicarboxamide*, *pimelic* และ *calcium stearate* โดยผลึกบีตามีความหนาแน่นเท่ากับ 0.921 กรัมต่อลูกบาศก์เซนติเมตร (g/cm^3) และมีอุณหภูมิหลอมเหลวผลึกสมดุล (T_m °) ประมาณ 164 ± 12 องศาเซลเซียส (°C) โดยภายในแต่ละยูนิตเซลล์มีการจัดเรียงสายโซ่ร่วมซ้ายหรือขวาเพียงอย่างเดียวเท่านั้น ดังแสดงในรูปที่ 2.7(b) การเกิดผลึกบีตานี้จะมีสมบัติ elastic modulus และ yield strength ต่ำกว่าแต่มีความทนแรงกระแทก และ breaking strain สูงกว่าผลึกแอลฟ่า [6]



รูปที่ 2.8 โครงสร้างผลึกแบบเอกซ์gonัล (hexagonal) [6]

การคำนวณอัตราส่วนของปริมาณผลึกปีต้าต่อผลึกแอลฟ่า (K_β) [2, 8] สามารถทำได้โดย การทดสอบการเลี้ยวเบนรังสีเอกซ์ด้วยเทคนิค Wide-Angle X-Ray Diffraction (WAXD) แล้ว นำมาคำนวณตามสมการ

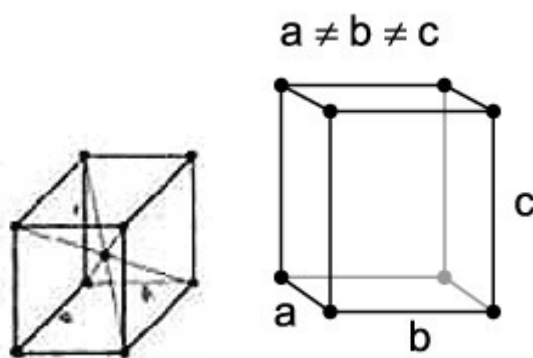
$$K_\beta = H_\beta / [H_\beta + (H_{\alpha_1} + H_{\alpha_2} + H_{\alpha_3})]$$

เมื่อ H_β คือ ความสูงของ β diffraction peak ที่มุม $2\theta = 16.1^\circ$

$H_{\alpha_1}, H_{\alpha_2}, H_{\alpha_3}$ คือ ความสูงของ α diffraction peak ที่มุม $2\theta = 14.1, 16.9$ และ 18.8° ตามลำดับ

ถ้าค่า K เท่ากับ 0 แสดงว่าเป็นผลึกแอลฟ่าทั้งหมด แต่ถ้าค่า K เท่ากับ 1 แสดงว่าเป็นผลึกปีต้าทั้งหมด

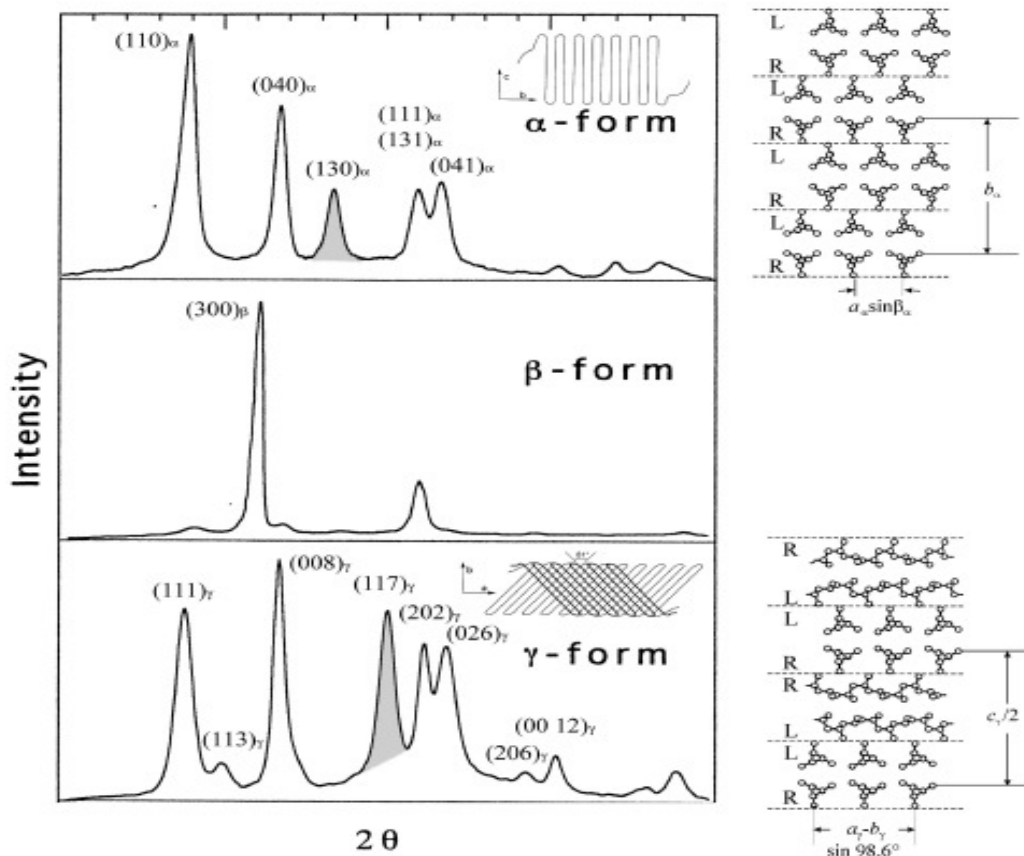
2.1.1.3 ผลึกแกรมมา (γ -form) ถูกค้นพบครั้งแรกโดย Addink และ Beintema ในปี ค.ศ. 1961 มีโครงสร้างผลึกแบบออร์โทромบิก (orthorhombic) ดังแสดงในรูปที่ 2.9 โดยมีขนาดใกล้เคียงกับผลึกแบบแอลฟ่า ซึ่งจะเกิดเมื่อใช้ความดันสูง หรือเกิดผลึกในพอลิไพรพิลีนที่มีน้ำหนักโมเลกุลต่ำ ($M_n \sim 6000$) ที่ความดันบรรยายกาศ มีความหนาแน่นเท่ากับ 0.954 กรัมต่อลูกบาศก์เซนติเมตร และมีอุณหภูมิหลอมเหลวผลึกสมดุล (T_m) ประมาณ 187°C ภายในยูนิตเซลล์ของผลึกแกรมมาจะมีลักษณะคล้ายกับผลึกแอลฟ่าที่ถูกเฉือนไปในแกน a ดังแสดงในรูปที่ 2.7(c)



รูปที่ 2.9 โครงสร้างผลึกแบบออร์โทромบิก (orthorhombic) [6]

2.1.1.4 ผลึกสมेकติก (Smectic form) ถูกค้นพบโดย Natta และคณะ โดยการทำให้ พอลิเมอร์หลอมเหลวเย็นตัวลงอย่างรวดเร็วในน้ำแข็ง โดยผลึกนี้เกิดอยู่ระหว่างการเป็นอสัมฐาน (amorphous form) และเป็นผลึก (crystalline form) ซึ่งมีการจัดเรียงตัวแบบ 3/1 helices

スペクトรอล์ของผลึกหง 3 จะมีรูปแบบการเดี่ยวเบนของรังสีเอกซ์ที่แตกต่างกันดังแสดงในรูปที่ 2.10 ซึ่งพิสที่สำคัญของผลึกแต่ละชนิดแสดงไว้ในตารางที่ 2.1



รูปที่ 2.10 WAXS-pattern ของโครงสร้างผลึกของพอลิโพร์พีลีน [1]

ตารางที่ 2.1 โครงสร้างผลึกของไอโซเทกทิกพอลิโพร์พีลีน [3]

Crystalline form	Chain conformation	Unit cells (Length: Å)	Major WAXD (Peaks: Å)
α -form (monoclinic)	3/1 helix (TG^+ or TG^-)	Monoclinic ($a = 6.65$, $b = 20.96$, $c = 6.50$, $\beta = 99.3^\circ$)	6.62 (110) 5.19 (040) 4.77 (130) 4.19 (111)
β -form (hexagonal)	3/1 helix (TG^+ or TG^-)	Hexagonal ($a = 12.74$, $c = 6.35$)	5.53 (200) 4.17 (201)

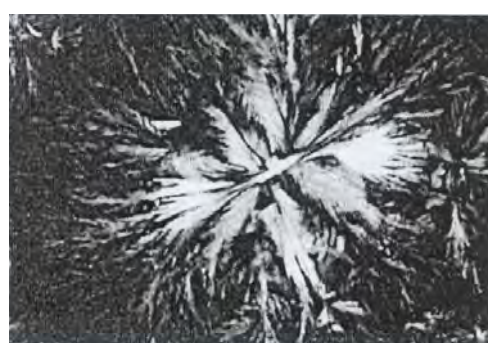
γ -form (orthorhombic)	3/1 helix (TG^+ or TG^-)	Orthorhombic ($a = 8.54$, $b = 9.93$, $c = 42.41$)	6.37 (111) 5.29 (008) 4.42 (117) 4.19 (202)
Mesomorph (Smectic)	3/1 helix (TG^+ or TG^-)	-	5.99 4.19

2.1.2 การเกิดผลึกของพอลิโพร์พลีน

พอลิโพร์พลีนสามารถเกิดผลึกได้ด้วยตัวเอง หรือมีการเติมสารก่อผลึก (nucleating agent) เพื่อปรับปรุงสมบัติของพอลิโพร์พลีนทั้งทางด้านสมบัติทางแสง สมบัติเชิงกล และสมบัติทางความร้อน โดยสารก่อผลึกที่เติมลงไปจะต้องมีลักษณะดังนี้ [8, 9]

- สามารถลดพลังงานเสริมระหว่างพื้นผิว กล่าวคือ ดูดซับ พอลิเมอร์ไว้บนพื้นผิวได้ที่จุดหลอมเหลวหรือต่ำกว่าจุดหลอมเหลวของพอลิเมอร์
- ไม่ละลายในพอลิเมอร์ที่จุดหลอมเหลวหรือต่ำกว่าจุดหลอมเหลวของพอลิเมอร์
- ควรหลอมเหลวที่อุณหภูมิสูงกว่าจุดหลอมเหลวของพอลิเมอร์โดยไม่เกิดการแตกสลาย
- ไม่ระเหย มีความเสถียร และไม่ทำปฏิกิริยากับสิ่งแวดล้อม เช่น พอลิเมอร์ ออกซิเจน ความชื้น และสารเติมแต่งต่างๆ
- ควรมีโครงสร้างผลึกคล้ายพอลิเมอร์

รูปที่ 2.11 แสดงไมโครกราฟของสเปียร์ลูไลต์ของพอลิโพร์พลีนที่เติมสารก่อผลึก (sodium 2,2-methylenebis (4,6-di-tert-butylphenyl) phosphate)

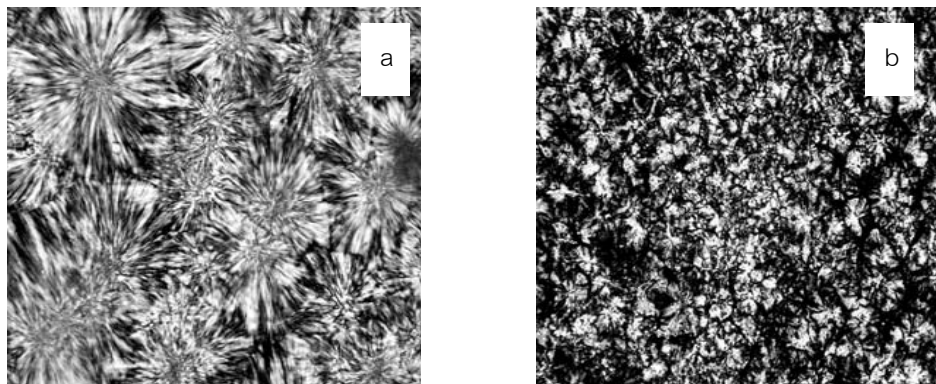


รูปที่ 2.11 ไมโครกราฟของสเปียร์ลูไลต์ของพอลิโพร์พลีนที่เติมสารก่อผลึก [10]

ข้อดีของการเติมสารก่อผลึกในพอลิโพร์พีน [8-10]

- ลดขนาดสเปียร์ไซล์ที่เกิดขึ้น ดังแสดงในรูปที่ 2.12
- เพิ่มความใสให้แก่พอลิเมอร์
- เพิ่มปริมาณผลึกที่เกิดขึ้น
- เพิ่มสมบัติเชิงกล (ความทนแรงกระแทก ความทนแรงดึง และความแข็งแรง)
- เพิ่มอุณหภูมิการเกิดผลึกให้สูงขึ้น ทำให้สามารถนำชิ้นงานออกจากแม่แบบได้เร็วขึ้น
จึงช่วยลดระยะเวลาในกระบวนการผลิตลงด้วย

สารก่อผลึกที่มักนำมาใช้ปรับปรุงสมบัติของพอลิโพร์พีนได้แก่ carboxylic acid salts, benzyl sorbitols, salt of organic phosphates และ colorant pigments เป็นต้น



รูปที่ 2.12 สเปียร์ไซล์ของ (a) พอลิโพร์พีน (b) พอลิโพร์พีน/5% ซิลิกาโนนคอมโพสิต [27]

ประสิทธิภาพการเกิดผลึกของพอลิเมอร์ (efficiency of nucleation, E) [8] สามารถคำนวณได้จากสมการต่อไปนี้

$$E = \frac{T_{cnuc} - T_{cpure}}{T_{cmax} - T_{cpure}} \times 100 \%$$

เมื่อ T_{cnuc} = อุณหภูมิการเกิดผลึกของไอโซแทกทิกพอลิโพร์พีนเมื่อเติมสารก่อผลึก
 T_{cpure} = อุณหภูมิการเกิดผลึกของไอโซแทกทิกพอลิโพร์พีนบริสุทธิ์
 T_{cmax} = อุณหภูมิการเกิดผลึกของไอโซแทกทิกพอลิโพร์พีนแบบ self-nucleation ซึ่งมีค่าประมาณ 138.5°C

Romankiewicz และ คณะ [8] ได้ศึกษาลักษณะโครงสร้างของผลึกแออลฟ่า และผลึกบีต้าของไอโซแทกทิกพอลิโพร์พิลีน โดยใช้ 1,3:2,4-bis(3,4-dimethylobenzylideno) sorbitol (DMDBS) และ N,N'-dicyclohexylo-2,6-naphthalenodicarboxy amide (NJ) เป็นสารก่อผลึกพบว่า DMDBS ทำให้เกิดผลึกแออลฟ่า (α -nucleator) ซึ่งมีประสิทธิภาพการเกิดผลึก 73 เปอร์เซ็นต์ และ NJ ทำให้เกิดผลึกบีต้า (β -nucleator) มีประสิทธิภาพการเกิดผลึก 56 เปอร์เซ็นต์ และพบว่า สารก่อผลึกทั้งสองช่วยเพิ่มอุณหภูมิการเกิดผลึก เพิ่มปริมาณผลึก ลดขนาดผลึก และลดครึ่งเวลาการเกิดผลึก (crystallization half time) ที่เกิดกับไอโซแทกทิกพอลิโพร์พิลีน และการเกิดผลึกแออลฟ่าจะช่วยปรับปูจุสมบัติทางแสง (ความใส) ได้ดีกว่าผลึกบีต้า

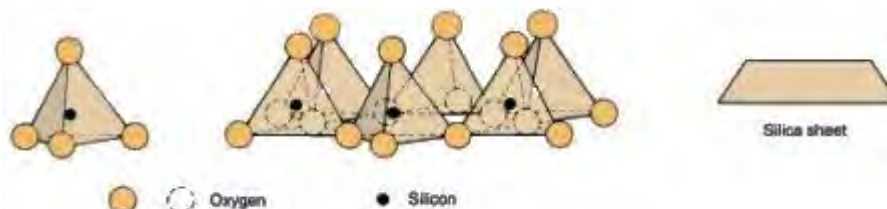
Deshamane และคณะ [11] ศึกษาผลของเคลย์ต่อความทนแรงกระแทกของพอลิโพร์พิลีนนาโนคอมพอยต์ โดยการดัดแปลงอนต์มอริลโล่ไลต์ด้วยไดเมทิลไคลอัลกิลแอกมโนเนียม พบร่วมกับ ขนาดของสเฟียร์ไอล์ต์และระดับการเกิดผลึกมีอิทธิพลต่อสมบัติเชิงกลเป็นอย่างมาก ซึ่งจากการศึกษาที่ผ่านมาแสดงให้เห็นว่าเมื่อสเฟียร์ไอล์ตมีขนาดเล็กกว่า 1 ไมโครเมตร ความเค้นมีค่าเพิ่มขึ้น แต่เมื่อสเฟียร์ไอล์ตมีขนาดใหญ่กว่าประมาณ 10 ไมโครเมตร จะทำให้เกิดช่องว่างที่บีโรว์นขอบของสเฟียร์ไอล์ต (spherulite boundaries) ที่เกิดจากการหดตัวของสเฟียร์ไอล์ต ขณะเย็นตัว มีผลทำให้ความเค้นมีค่าลดลง และในงานวิจัยนี้ การเสริมแรงพอลิโพร์พิลีนด้วยนาโนเคลย์ปริมาณ 4 phr มีผลทำให้ความทนแรงกระแทกในช่วงอุณหภูมิ 0 ถึง 70 องศาเซลเซียส มีค่าเพิ่มขึ้น เนื่องจากมีอันตรกิริยะระหว่างพอลิโพร์พิลีนและเคลย์ที่แข็งแรง และเคลย์แสดงผลของการเป็นสารก่อผลึกได้ดี ซึ่งส่งผลต่อทั้งสมบัติทางกายภาพและสมบัติเชิงกล รวมทั้งอุณหภูมิการเกิดผลึก อุณหภูมิกล拉斯แทนซิชัน และขนาดของสเฟียร์ไอล์ต

2.1.3 การใช้งานของพอลิโพร์พิลีน [12]

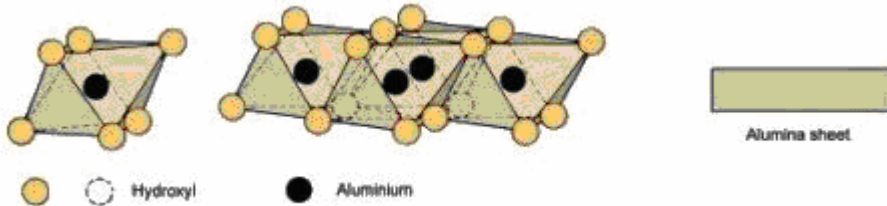
- งานฉีดแบบ (injection molding) ใช้ทำกล่องแบตเตอรี่, ถังน้ำมันในรถยนต์, กันชนรถยนต์, ลังใส่ขวด, กระถางต้นไม้, ของเด็กเล่น, ตัวมันเปรงสีฟัน, ฝาจุกพลาสติก, เพอร์ฟูม, เครื่องใช้ทางการแพทย์ เช่น ระบบอกรดีดยาที่ใช้ครั้งเดียวทิ้ง เป็นต้น
- งานเป่าฟิล์ม (blown film) ใช้ทำฟิล์มใส, ถุงร้อน, ถุงเย็น, พลาสติกหุ้มช่องบุหรี่, ซองใส่เสื้อเชิ้ต ฟิล์มห่ออาหารที่ไม่ต้องการให้ออกซิเจนซึ่งผ่าน
- งานเป่าแบบ (blown molding) ใช้ทำผลิตภัณฑ์ เช่นเดียวกับพอลิเอทิลีนชนิดความหนาแน่นสูง (HDPE) เช่น ขวด, ถัง หรือภาชนะที่ต้องการความทนทานสูง
- งานสิ่งทอ (textile) ใช้ทำเส้นใยกระสอบสา, เชือกฟาง, แห, ovarian และผ้าใบปักปีคงพืชสวน เป็นต้น

2.2 แร่ดิน (clay) [13-16]

แร่ดินประกอบด้วยแร่ธาตุหلامะชนิดขึ้นอยู่กับแหล่งกำเนิด โดยส่วนใหญ่เป็นสารประกอบจำพวกไฮดรัสอะลูมิโนซิลิเกต (hydrous aluminous silicate) มีสมบัติ plasticity เมื่อผสมกับน้ำ และเมื่อนำไปอบแห้งจะเปราะ โดย plasticity ของแร่ดินขึ้นกับธรรมชาติ และความละเอียดของแร่ดิน ถ้าจะเอียดมากจะมี plasticity สูง ซึ่งแร่ดินที่นำไปสูตรคโนโลยีของนาโนเคลล์ และนาโนคอมโพสิต เป็นแร่ที่มีจุดเด่น คือ มีโครงสร้างผลึกที่แผ่นแผ่น (sheet silicate) เรียงซ้อนกันจัดอยู่ในพากฟิลโลซิลิกะ (phyllosilicate) ประกอบด้วยชั้นของซิลิกาเตตระไฮดราล (silica-tetrahedral) และอะลูมิโนออกตะไฮดราล (alumina-octahedral) ตั้งแสดงในรูปที่ 2.13 และ 2.14 ตามลำดับ และในระหว่างชั้นรอยต่อของชั้น (interlayer) อาจมีไออกอนของโลหะ เช่น เหล็ก แคลเซียม แมกนีเซียม โซเดียม โพแทสเซียม



รูปที่ 2.13 ชั้นของซิลิกาเตตระไฮดราล (silica tetrahedral) (ที่มา : Mitchell, 1993)



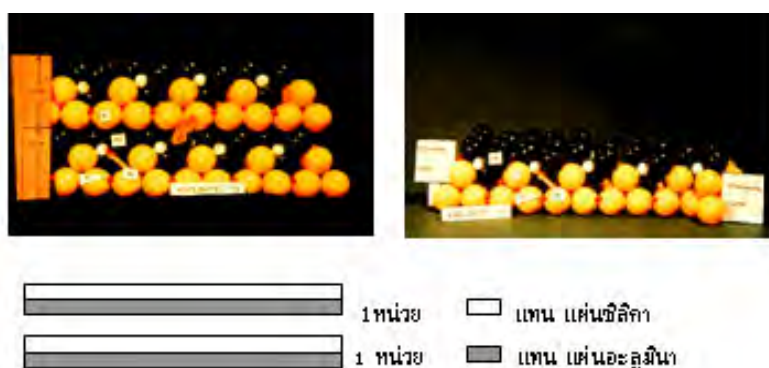
รูปที่ 2.14 ชั้นของอะลูมิโนออกตะไฮดราล (alumina-octahedral) (ที่มา : Mitchell, 1993)

หรือโมเลกุลของน้ำแทรกอยู่ ทำให้มีความยืดหยุ่น และมีความเป็นข้าวที่สามารถนำมาใช้ประโยชน์ได้อย่างกว้างขวางในอุตสาหกรรม โดยแร่ดินหนี่งวนกลุ่มนี้ยังสามารถแบ่งออกได้อีกหลายแบบ ขึ้นอยู่กับปริมาณ ชนิดของธาตุที่เป็นองค์ประกอบ ชนิดโครงสร้างผลึก หรืออัญจูป เป็นต้น กลุ่มแร่ดินที่สำคัญ ได้แก่ อิลลิต (illite), เกอลินไนต์ (kaolinite), สม็อกไทต์ (smectite) และเวอร์มิคิวไลต์ (vermiculite) ยกเว้นแอตตาปูลไกต์ (attapulgite) หรือรู้จักในนาม ปาลิกอร์ไซต์ (palygorskite) มีโครงสร้างต่อเนื่องกันเป็นลูกโซ่ (chain silicate) แร่ดินในธรรมชาติสามารถแบ่งแยกตามโครงสร้างและองค์ประกอบทางเคมีได้ 4 กลุ่ม ดังนี้

2.2.1 กลุ่มเกอลินไนต์ (Kaolinite group)

สูตรเคมีทั่วไป คือ $2\text{Al}_2\text{Si}_2\text{O}_5(\text{OH})_4$ มีโครงสร้างแบบแผ่นชนิด 1:1 ประกอบด้วยแผ่นซิลิกา เตトラไฮเดรต 1 ชั้น จับยึดกับแผ่นอะลูมินาออกตะไฮเดรต 1 ชั้น และวางชั้nonกันขึ้นไปตามแนวแกน c และแต่ละแผ่นของอะลูมินาออกตะไฮเดรต และซิลิกาเตトラไฮเดรตจะจับยึดต่อเนื่องไปตามแนวโนนที่เรียกว่าแกน a และ b เกอลินไนต์มีรูปผลึกแบบไตรคลินิก (triclinic) และในกลุ่มนี้ได้แก่ เกอลินไนต์ (kaolinite), ดิกไกต์ (dickite), นาคร็อก (nacrite), แอลโลโซไซต์ (halloysite) และอลโลฟาน (allophane) โดยลักษณะที่สำคัญของแร่กลุ่มนี้ คือ

- ไม่มีการแทนที่ของชาตุภายในโครงสร้างหรือมีน้อยมาก ซึ่งเป็นผลทำให้มีประจุถาวรต่ำ (low permanent charge)
- ผลึกแต่ละหน่วย (crystal unit) ยึดกันด้วยพันธะไฮโดรเจน ซึ่งเกิดขึ้นระหว่างชั้น (inter-layer) มีผลทำให้แปรรูปเนียนยิ่งขึ้น แต่สามารถดูดซึมน้ำและหดตัว (swelling and shrinking) น้อยมาก
- ขนาดอนุภาคค่อนข้างใหญ่เมื่อเทียบกับแปรรูปเนียนยิ่งขึ้น มีขนาด 0.1-5.0 ไมครอน แต่ส่วนใหญ่มีขนาด 0.2- 2.0 ไมครอน เนื่องจากอนุภาคมีขนาดใหญ่จึงทำให้มีพื้นที่ผิวภายนอก (external surface) น้อย และพื้นที่ผิวภายใน (internal surface) มีน้อยมากหรือไม่มีเลย
- มีความสามารถในการแลกเปลี่ยนไอโอนบวก (cation exchange capacity : CEC) ต่ำ เนื่องจากมีพื้นที่ผิวจำเพาะน้อยและมีประจุลบในผลึกน้อยมาก CEC มีค่า 3-15 มิลลิสมมูลย์ (Milliequivalent, meq)/100 กรัม



รูปที่ 2.15 แบบจำลองโครงสร้างของเกอลินไนต์ (1 : 1) (ที่มา :The University of Minnesota, 2000)

2.2.2 กลุ่มแร่ออลไลท์ (Illite group)

มีสูตรเคมีทั่วไปดังนี้ คือ $KAl_2(AlSi_3O_{10})(OH)_2$ เป็นแร่ดินเหนียวที่พบมากในหินตะกอน และในสภาพที่มีการตกร่องอกต่างๆ มีลักษณะโดยทั่วไปคล้ายกับแร่มัสโคไวน์ แวร์นีบองที่เรียกว่า ไมกา (mica) และจะคงสภาพอยู่ได้ถ้ามีความเข้มข้นของซิลิกอนและออกซิเมเนียมปานกลางถึงสูง ในสภาพแวดล้อมที่เกิด แต่ถ้ามีพิวากไฮโดรเนียมไอออนปานกลางถึงสูงจะทำให้เสียเสถียรภาพ และเปลี่ยนเป็นเวอร์มิคิวไลต์ โดยลักษณะที่สำคัญของแร่กลุ่มนี้ คือ

- ประมาณ 15–25 เปอร์เซ็นต์ ของ Si^{+4} ในชั้นเตตระไฮดีรอลจะถูกแทนที่ด้วย Al^{+3} จึงทำให้เกิดประจุลบที่ลบ (permanent negative charge) บริมามมากในชั้นเตตระไฮดีรอล
- ประจุลบที่เกิดในช่องว่างระหว่างชั้นซิลิกेटจะถูกทำให้สมดุลด้วย K^+ ที่มีขนาดพอเหมาะ กับช่องว่างนั้น
- มีแรงดึงดูดสูงสุดตามกฎของ Coulomb ที่เกิดขึ้นระหว่างประจุลบในชั้นเตตระไฮดีรอล และ K^+ ที่อยู่ใกล้กัน
- เป็นพิวากที่ไม่สามารถขยายตัวได้ เนื่องจาก K^+ เปรียบเสมือนสลักทำหน้าที่ยึดหน่วยผลึก แต่ละหน่วยไว้ด้วยกันค่อนข้างแน่น ซึ่งมีผลทำให้ไม่สามารถยืดเข้าหรือออกได้
- K^+ ไม่สามารถเกิดการแลกเปลี่ยนไอออนได้ (unexchangeable) หรือเป็นพิวากที่ถูกตึงไว้ให้อยู่กับที่เท่านั้น (K-fixation)
- มีการบวมตัวและหดตัว พื้นที่ผิวภายในและภายนอก และความสามารถในการแลกเปลี่ยนไอออนบางค่อนข้างต่ำ แต่มากกว่าแร่ดินเหนียวเกอลินไนท์ [CEC ประมาณ 15–40 มิลลิสมมูลย์ (meq)/100 กรัม]



รูปที่ 2.16 โครงสร้างของอิลไลท์ (2 : 1) (ที่มา :The University of Minnesota, 2000)

2.2.3 กลุ่มแร่เวอร์มิคิวไลต์ (vermiculite)

มีสูตรเคมี คือ $Mg_3Si_4O_{10}(OH)_2 \cdot XH_2O$ เป็นแร่ดินเนียวนอกกลุ่มไมกา ซึ่งเกิดขึ้นคลุม ru ป่าร่องของแร่ฟลโกไไฟต์ และไบโอลิท แม่หักมีการแทนที่ชิลิกอนด้วยอะลูมิเนียม ประจุที่ขาดไปทำให้เกิดการแทนที่ Mg ด้วย Fe³⁺ และไอออนที่ถูกดูดซับได้ เวอร์มิคิวไลต์แสดงลักษณะหลายอย่างคล้ายมอนต์มอริลโลไนต์ เช่น การแตกเปลี่ยนไอออนบาง และซ่องว่างระหว่างชั้น ซึ่งแปรผันไปตามปริมาณของน้ำที่เป็นองค์ประกอบและชนิดของไอออนบางที่ถูกดูดซับได้

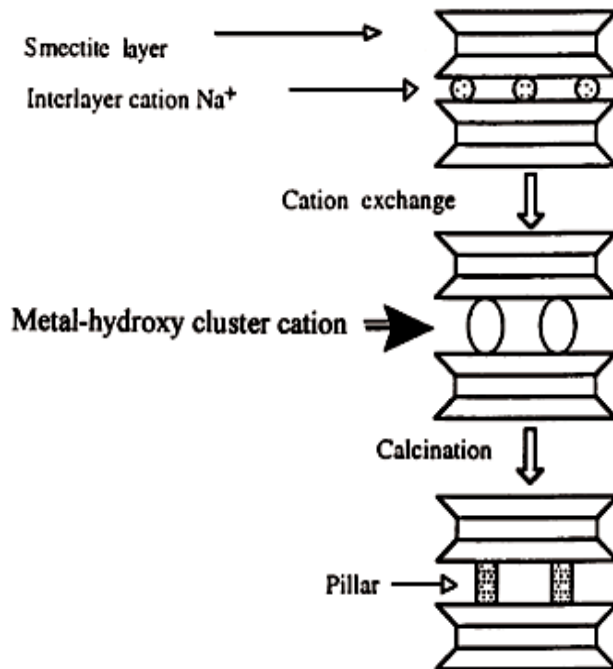
ลักษณะพิเศษเฉพาะตัวของเวอร์มิคิวไลต์ คือ สามารถขยายตัวขนาดกับแกน C เพิ่มขึ้นได้ถึง 30 เท่า ของปริมาณเดิม เมื่อทำให้น้ำร้อนเข้าอย่างรวดเร็วจนถึงช่วงอุณหภูมิ 250-300 องศาเซลเซียส ผลจากการขยายตัวนี้ทำให้น้ำมาใช้เป็นวัสดุปรับปูรุงดิน พบมากในการสลายตัวของฟลโกไไฟต์ และไบโอลิท และพบในดินบางชนิดโดยลักษณะที่สำคัญของแร่กลุ่มนี้ คือ

- ประจุลบที่เกิดขึ้นในชั้นเตตระไฮดรอลบางส่วนถูกทำให้สมดุลด้วยประจุลบจากซึ่งเกิดขึ้นในชั้นออกตะไธลด์ อันเนื่องจากมี Al⁺³ และ Fe⁺³ มากเกินไป
- ประจุลบสุทธิ (net negative charges) ถูกทำให้สมดุลด้วยไอออนบางของ Mg²⁺ และ Ca²⁺ ในช่องว่างระหว่างชั้นชิลิกेट โดย Mg²⁺ และ Ca²⁺ จะมีน้ำล้อมรอบอยู่ด้วยจึงมีขนาดใหญ่กว่า K⁺ ซึ่งมีขนาดใหญ่ไม่พอเหมาะสมกับช่องว่างระหว่างชั้นชิลิกेटที่ขอนกันอยู่
- Mg²⁺ และ Ca²⁺ ในช่องว่างระหว่างชั้นชิลิกेटนี้จะเป็นประจุลบที่สามารถแยกเปลี่ยนได้
- เนื่องจากประจุลบสุทธิมีค่อนข้างสูง ซึ่งมีผลทำให้แรงดึงดูดที่ยึดระหว่างหน่วยของผลึกกับไอออนบางของ Mg²⁺ และ Ca²⁺ ในช่องว่างระหว่างชั้นชิลิกะมีพลอยประมาณทำให้มีการขยายและหดตัวได้ไม่เต็มที่แล้วแต่ปริมาณของความชื้น
- มีพื้นที่ผิวภายนอกและภายในในตลอดจน CEC ค่อนข้างสูง (100-150 meq/100 g)

2.2.3 กลุ่มแร่สเมคไทต์ (Smectite group)

มีสูตรเคมี คือ $M_x(Al_{4-x}Mg_x)Si_8O_{20}(OH)_4$ โดย M คือ แคตไอออน (cation) ที่มีส่วนประกอบที่สำคัญของหินชั้น (sedimentary rock) และทราย (soils) เป็นกลุ่มของแร่ดินที่สามารถแสดงการขยายตัว (expandability) เมื่อใส่น้ำหรือโมเลกุลของสารอินทรีย์เข้าไปในโครงสร้าง และมีสมบัติแยกเปลี่ยนไอออนบาง แร่ในกลุ่มนี้ได้แก่ มอนต์มอริลโลไนต์ (montmorillonite) บีเดลไลต์ (beidellite) และนองโกรไนต์ (nontronite) และพวงนี้มีโครงสร้างแบบแแห่นชนิด 2:1 สามารถใช้ในอุตสาหกรรมอิฐ (brick) เซรามิก (ceramic) และใช้ทำโคลนเจาะ (drilling mud) มีลักษณะแปรผัน

ไปได้มาก เพราะองค์ประกอบแปรผันได้ โดยเฉพาะน้ำ แม้แต่ค่าดัชนีหักเหของแสงยังเปลี่ยนแปลงได้ในพิสัย 1.50-1.64 แล้วก่อให้มีการแทนที่ของอะตอมมาก องค์ประกอบของแร่แปรผันออกไปจากสูตรเคมี มีการแทนที่อะลูมิเนียมโดยแมgnีเซียม และแทนที่ซิลิกอนโดยอะลูมิเนียม ซึ่งทำให้เกิดประจุลบบนชั้นโครงสร้าง ทำให้สามารถดูดซับไอก้อนบวก เช่น Ca^{2+} , Na^+ และ H_3O^+ ไว้ระหว่างชั้นในโครงสร้างได้ ทำให้แร่ชนิดนี้สามารถพองตัวเมื่อถูกน้ำและแตกเปลี่ยนไอก้อนบวกได้ ปกติมอนต์มอริลโลไนต์จะเป็นแร่ที่มีอะลูมิเนียมสูง และมีแร่ที่อยู่ในกลุ่มนี้ที่มีลักษณะใกล้เคียงกัน แต่มีองค์ประกอบแตกต่างกันไปบ้าง คือ นคอนโกรaint ซึ่งมีสีเหลืองแกรมเขียว มีเหล็กมาก เพราะมีการแทนที่อะลูมิเนียมด้วยเหล็ก ชาโนไนต์มีการแทนที่อะลูมิเนียมด้วยแมgnีเซียม ชอโคไนต์ มีการแทนที่อะลูมิเนียมด้วยสังกะสี และบีเดลไลต์มีการแทนที่ซิลิกอนด้วยอะลูมิเนียม ถ้าถูกน้ำแล้วจะจะลื่นเมื่อเห็นสูญ และทำให้เกิดลักษณะเหมือนวุ้นเมื่อแข็ง



รูปที่ 2.17 โครงสร้างของแร่สเมคไทต์ (ที่มา : Moore และ Reynolds, 1997)

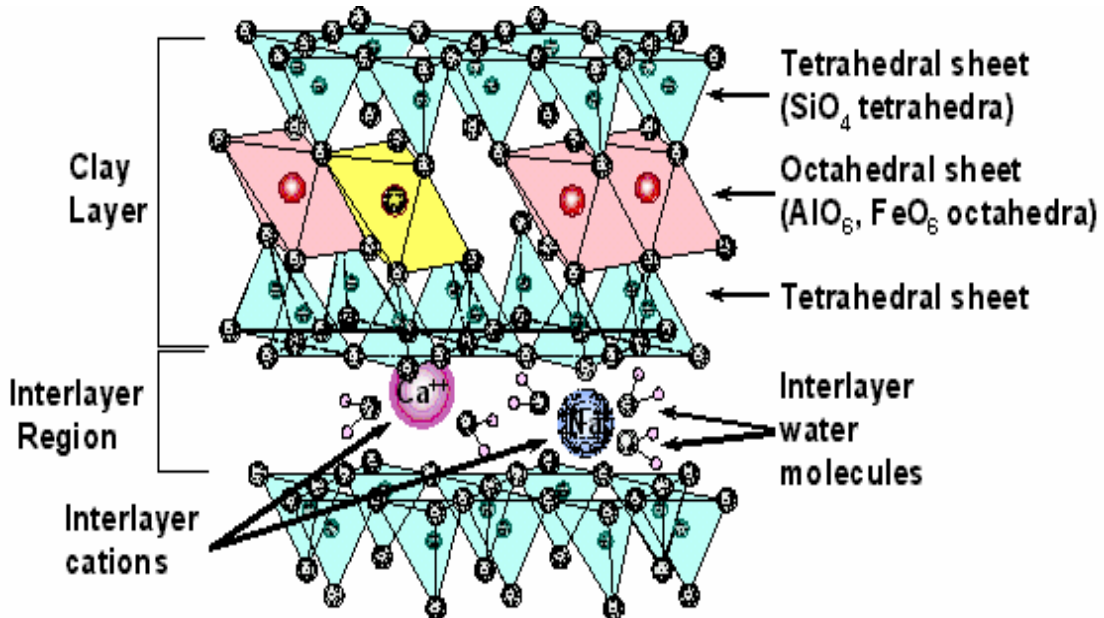
การดูประจุ (charge balance) เกิดขึ้นจากการแทนที่ของไอก้อนในชั้นออกะไฮดรออล (Al หรือ Mg) และชั้นเตตราไฮดรออล โดยส่วนมากใช้ Ca หรือ Na เป็นตัวแลกเปลี่ยนประจุ ผลกระทบระหว่างความหนาของชั้นดิน และพื้นที่บริเวณระหว่างชั้นของดินแต่ละชุดจะมีความกว้างของช่องว่างเท่ากัน ซึ่งคำนวณจากระนาบ 001 โดยดูได้จากเอ็กซ์เรย์ดิฟแฟรากชัน (X-ray Diffraction) ค่าระยะห่างระหว่างชั้น (d -spacing) ของ silica-alumina-silica 1 ชุดของดิน

โซเดียม-มอนต์มอริลโลไนเตอร์จะมีค่าตั้งแต่ 9.6-20 อังสตรออม สำหรับดินที่กราดายตัวในน้ำ ตำแหน่งที่มีประจุบวกหรือไม่เลกูลของน้ำอยู่จะเกิดเป็นพันธะไฮดรเจน โดยลักษณะที่สำคัญของแร่กลุมนี้ คือ

- ประจุบวกเกิดขึ้นอย่างมากในชั้นเตตราซีดรัล ส่วนใหญ่เกิดในชั้นออกตะซีดรัล (บางส่วนของ Al^{+3} ถูกแทนที่ด้วย Mg^{+2})
- ประจุบวกที่เกิดขึ้นทั้งหมดมีปริมาณน้อยกว่าในแกรนิติกไลท์ และอิลไลท์
- ประจุบวกที่เกิดขึ้นระหว่างชั้นซิลิกेटจะถูกทำให้สมดุลด้วย Mg^{+2} และ Ca^{+2} ซึ่งมีน้ำผึ้งรอบในช่องคล้ายคลึงกับแกรนิติกไลท์
- แรงดึงดูดระหว่างผลึกแต่ละหน่วยกับ Mg^{+2} และ Ca^{+2} ในช่องว่างระหว่างชั้นซิลิกेट จะค่อนข้างอ่อน จึงทำให้มีการยืดและหดตัวของดินเหนียวเกิดขึ้น โดยการยืด และหดตัวจะขึ้นกับปริมาณความชื้นที่ได้รับ
- ไอออนbaugh ของ Mg^{+2} และ Ca^{+2} ในช่องว่างระหว่างชั้นซิลิกेटเป็นพากที่สามารถแลกเปลี่ยนได้
- เป็นอนุภาคที่มีขนาดเล็ก ($0.01\text{--}1.0$ มิครอน) มีการสลายตัวหรือแตกหักเป็นอนุภาคขนาดเล็กได้ง่าย จึงทำให้มีพื้นที่ผิวทั้งภายในและภายนอกสูง และมี CEC ค่อนข้างสูงประมาณ $80\text{--}100$ มิลลิสมมูลด์ (meq)/100 กรัม

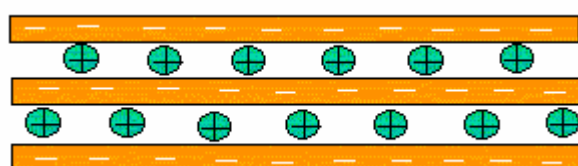
2.2.4.1 มอนต์มอริลโลไนเตอร์ (Montmorillonite) [13-17]

มอนต์มอริลโลไนเตอร์ อยู่ในตระกูลฟิลโลซิลิกेट (phyllosilicate) มีต้นกำเนิดจากผุนภูเขาไฟแหล่งที่พบมากอยู่ในเมริกาเหนือ จีน ญี่ปุ่น ฝรั่งเศส สูตรเคมี คือ $\text{Al}_4\text{Si}_8\text{O}_{20}(\text{OH})_4\cdot n\text{H}_2\text{O}$ เป็นแร่ดินเหนียวที่สำคัญสำหรับเทคโนโลยีของนาโนเคลอร์ และนาโนคอมโพสิตเนื่องจากว่ามีโครงสร้างผลึกแผ่นเป็นแผ่น หรือชั้นเรียงซ้อนกัน มีลักษณะโครงสร้างชั้นผลึกที่เรียกว่า 2:1 ประกอบด้วยชั้นของอะลูมินาออกตะซีดรัล ที่ถูกประกอบอยู่ตรงกลางระหว่างชั้นซิลิกาเตตตะซีดรัล ชั้นผลึกเหล่านี้มีความยืดหยุ่น และมีความเป็นข้าวหรือประจุ โดยแต่ละชั้นมีความหนาประมาณ $0.7\text{--}1.0$ นาโนเมตร มีพื้นที่ผิวจำเพาะสูง ($700\text{--}800$ ตารางเมตรต่อกิโลกรัม) [18] และมีความยาวมากกว่าความหนา 200 เท่า ระหว่างชั้นจะมีช่องว่างขนาดเล็ก เรียกว่าแกลเลอรี (gallery) (รูปที่ 2.18)



รูปที่ 2.18 โครงสร้างของมอนต์มอริลโลในต์ [14]

ในช่องระหว่างชั้นชิลิกेटจะมีประจุลักษณะเป็นลบจึงมักจะมีประจุบวกของโซเดียมไอโอดิน แมกนีเซียมไอโอดิน อะลูมิเนียมไอโอดิน หรือแคลเซียมไอโอดิน เข้ามาแทรกอยู่ระหว่างชั้นผลึกเพื่อให้เกิดสมดุลของประจุ (ไม่มีประจุ) และจะทำหน้าที่ยึดชั้นของดินที่มีประจุลบเอาไว้ด้วยกัน จึงทำให้ชั้นของดินยึดติดແเน่น (รูปที่ 2.19)

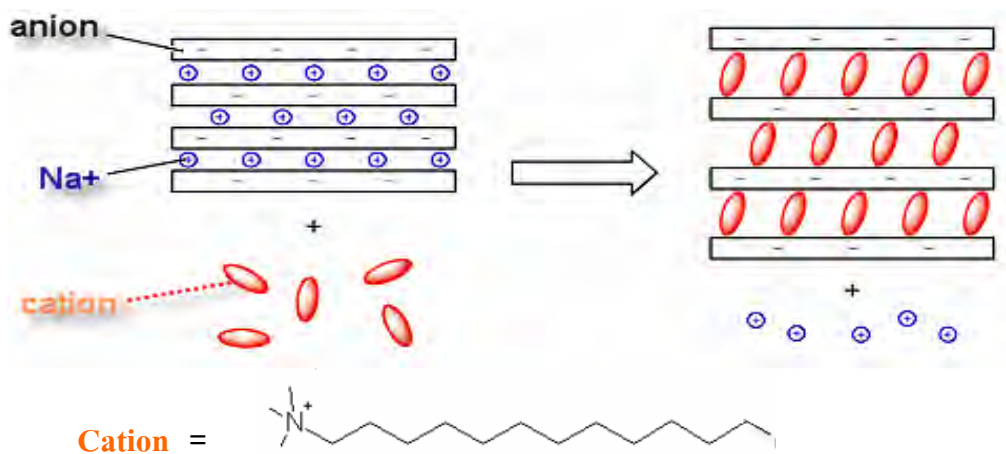


รูปที่ 2.19 การยึดติดกันระหว่างชั้นของดินกับประจุบวกที่อยู่ระหว่างชั้นของดิน [15]

เนื่องจากสมบัติของความมีข้อจำกัดทำให้มอนต์มอริลโลในต์ซับน้ำ (ความหนาของชั้นผลึกขยายถึง 1.2 นาโนเมตร เมื่อมีความชื้น) และดูดน้ำได้มาก เพราะสามารถขยายตัวได้มาก และถูกนำไปใช้ประโยชน์อย่างกว้างขวางในอุตสาหกรรมอาหาร เคมีภัณฑ์ เครื่องสำอาง เพราะสามารถดูดพิษต่างๆ ได้ดี ใช้ในอุตสาหกรรมปิโตรเลียมเพื่อปรับความหนืด หรือใช้เป็นสารดูดกลิ่น รวมถึงในงานบำบัดน้ำเสีย แต่การซับน้ำของมอนต์มอริลโลในต์ทำให้ผสมและเกิดอันตรกิริยา กับพอลิเมอร์ได้ยากจึงจำเป็นต้องดัดแปลงมอนต์มอริลโลในต์ให้มีสมบัติไม่ซับน้ำหรือซับสารอินทรีย์แทนโดยการแทนที่ประจุต่างๆด้วยประจุของสารอินทรีย์ เพื่อทำให้เข้ารวมเป็นเนื้อเดียวกับ

พอลิเมอร์ไดคิชีน โดยมอนต์มอริลโลในต์ช่วยเสริมแรงให้กับพอลิเมอร์ ทำให้สมบูรณ์อย่างของพอลิเมอร์ดีขึ้น เช่น ความทนแรงดึง (tensile strength) ความทนการดัดโค้ง (flexural strength) และความต้านทานความร้อน (heat resistance) เป็นต้น ซึ่งได้มีการเปิดเผยครั้งแรกโดยทีมงานวิจัยที่ห้องปฏิบัติการบริษัท ผู้ผลิตตะไนต์รายใหญ่ในประเทศไทย คือ บริษัทโดยต้า โดยนำมอนต์มอริลโลในต์มาเสริมแรงให้ กับไนلون 6 เพื่อผลิตชิ้นส่วนรถยนต์ [25]

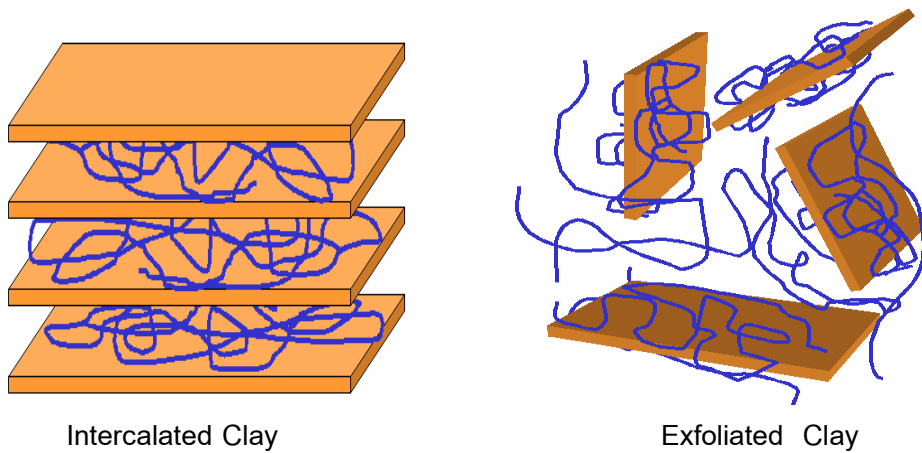
วิธีง่ายที่สุดในการดัดแปลงมอนต์มอริลโลในต์ คือ ทำปฏิกิริยาแลกเปลี่ยนประจุด้วยสารอินทรีย์ที่มีประจุบวก เช่น cation เทอร์นาเรียมโมเนียม (quaternary ammonium) หรือฟอสโฟเนียม (phos-phonium) จะสามารถเข้าแทนที่ cation ที่อยู่ระหว่างชั้นของดิน ทำให้ได้มอนต์มอริลโลในต์ดัดแปลง ที่เรียกว่า โมดิฟายด์ เคลล์ (modified clay) หรือออร์กานิฟิลลิกเคลล์ (organophilic clay) หรือเรียกสั้นๆ ว่า ออร์กานิเคลล์ (organoclay) [16] (รูปที่ 2.20)



รูปที่ 2.20 ปฏิกิริยาแลกเปลี่ยนประจุบวกที่อยู่ระหว่างชั้นของดิน

กับcation เทอร์นาเรียมโมเนียม [15]

ลักษณะเด่นของออร์กานิเคลล์ คือ มีความชอบสารอินทรีย์อยู่ด้านในระหว่างชั้นซิลิเกต แต่ขอบนอกของแผ่นซิลิเกตยังมีความเป็นข้าวเหลืออยู่ เกิดการขยายตัวของช่องว่างระหว่างชั้นผลึก ทำให้ชั้นผลึกอยู่ห่างกัน และเกาะกันอย่างหลวมๆ โดยเรียกออร์กานิเคลล์ที่มีโครงสร้างแบบนี้ว่า อินเตอร์คาเลต เคลล์ (intercalated clay) ดังแสดงในรูปที่ 2.21



รูปที่ 2.21 โครงสร้างของออร์กานเคลล์ [15]

แต่ถ้าขั้นของดินเกิดการบวมตัวมากจนทำให้เกิดการแยกชั้นของดินออกจากกันอย่างชัดเจน จะเรียกว่า เอกซ์ฟอลิเอต เคลล์ (exfoliated clay) ซึ่งทำให้ได้ออนุภาคของมอนต์มอริลโลไนต์ขนาดเล็กมากจะดับนาโนเมตร สามารถนำไปผสมกับพอลิเมอร์ชนิดต่างๆโดยจะก่อให้เกิดการเสริมแรงระดับไม่เลกุล ดังนั้น จึงเรียกว่าสุดยอดประกอบประเภทนี้ว่า นาโนคอมโพสิต (nanocomposite)

Ma และคณะ[19] ได้ทำการดัดแปลงมอนต์มอริลโลไนต์ด้วยซอร์บิทอลโดยใช้เครื่องอัดรีดแบบสกรูเดี่ยว ซึ่งจัดเป็นกระบวนการที่เป็นมิตรต่อสิ่งแวดล้อม เพราะไม่มีการใช้สารละลายอินทรีย์ นอกจาคนี้ ยังไม่มีน้ำเสียที่ได้จากการล้างมอนต์มอริลโลไนต์ที่ถูกดัดแปลงอีกด้วย โดยซอร์บิทอลได้เข้าไปอยู่ภายในช่องระหว่างชั้นซิลิเกตของมอนต์มอริลโลไนต์ ทำให้ระยะห่างระหว่างชั้นซิลิเกตเพิ่มมากขึ้น ทำให้พอลิเมอร์สามารถแทรกสอดเข้าไปได้ง่าย

Sarkar และคณะ [20] ได้เตรียมพอลิโพร์พลีน/เคลล์ นาโนคอมพอสิตจากดินเบนโทไนต์ด้วยกระบวนการผสมแบบสารละลาย พบว่า สมบัติเชิงกลของพอลิโพร์พลีนนาโนคอมพอสิตที่เตรียมได้มีค่าสูงสุดเมื่อเติมเคลล์ไปเพียง 5 phr โดยค่าความหนาแรงดึงของคอมพอสิตมีค่าเพิ่มขึ้นมากกว่าพอลิโพร์พลีนบริสุทธิ์ 14 เปอร์เซ็นต์ และความหนาแรงดึงของคอมพอสิตมีค่าเพิ่มขึ้นมากกว่า 80 เปอร์เซ็นต์ แต่เมื่อเติมเคลล์มากกว่า 5 phr พบว่า สมบัติเชิงกลของคอมพอสิตมีค่าลดลงเนื่องจากการเกิดการเกาะกลุ่มของเคลล์ทำให้แรงดึงระหว่างเมทริกซ์กับเคลล์ลดลง

2.2.4.1.1 ปัจจัยที่ควบคุมการแลกเปลี่ยนไอออนบวกในดิน [13]

การแลกเปลี่ยนระหว่างแอดต์ไอโอนที่ดูดซึมอยู่ที่ผิวอ่อนนุภาคดินเหนียวและแอดต์ไอโอนที่อยู่ภายนอกนั้นเกิดได้ง่าย และยากแตกต่างกันออกไป ขึ้นกับปัจจัยต่างๆ ดังนี้

1. ชนิดของแอดต์ไอโอนดูดซึมและแอดต์ไอโอนแทนที่: แอดต์ไอโอนต่างชนิดกันจะดูดซึมอยู่ที่ผิวอ่อนนุภาคดินเหนียวและถูกไล่ออกจากดินเหนียวโดยแอดต์ไอโอนอื่นๆ ได้ยากและง่ายแตกต่าง กันออกไป บางชนิดดูดซึมอยู่ที่ผิวดินเหนียวได้เพียงหลวมๆ และถูกแทนที่ได้ง่าย บางชนิดดูดซึมอยู่ที่ผิวดินเหนียวค่อนข้างเหนียวแน่นและถูกแทนที่ได้ยาก ได้มีผู้ศึกษาเกี่ยวกับอำนาจในการไล่ที่ และความเหนียวแน่นในการดูดซึมของแอดต์ไอโอน (cation) ที่ผิวดินเหนียวนั้นพบว่า แอดต์ไอโอนต่างๆ มีอำนาจการเข้าแทนที่ (replacing power) แตกต่างลดลงตามลำดับไป ดังนี้ คือ $\text{Li}^+ < \text{Na}^+ < \text{K}^+ < \text{Mg}^{2+} < \text{Ca}^{2+} < \text{NH}_4^+ < \text{Al}^{3+}(\text{H}^+)$ นั่นคือ Na^+ สามารถไล่ที่ Li^+ ได้ง่ายกว่าที่ Li^+ จะไล่ที่ Na^+ หรืออาจกล่าวได้ว่าอย่างหนึ่ง คือ Na^+ จะดูดซึมอยู่ที่ผิวดินเหนียว ได้แน่นกว่า Li^+ แต่เหนียวแน่นน้อยกว่า K^+ , Ca^{2+} ฯลฯ ตามลำดับ

2. ความเข้มข้นของแอดต์ไอโอนแทนที่: โดยปกติถ้าปริมาณแอดต์ไอโอนแทนที่มีมาก จะทำให้การไล่ที่แอดต์ไอโอนที่ผิวดินเหนียวง่ายขึ้น ถึงแม้ว่า Na^+ มีอำนาจการไล่ที่ Ca^{2+} น้อยกว่าที่ Ca^{2+} ไล่ที่ Na^+ แต่ถ้ามี Na^+ จำนวนมากก็สามารถไล่ที่ Ca^{2+} ออกไปให้หมดจากผิวดินได้

3. ปริมาณการอิมตัว: ปริมาณของการอิมตัวของแอดต์ไอโอนบางชนิดที่ดูดซึมอยู่ที่ผิวดินเหนียวมีอิทธิพลต่อความยากง่ายที่แอดต์ไอโอนนั้นจะถูกไล่ที่ออกไปเป็นอย่างมาก ตัวอย่างเช่นแคลเซียมแลกเปลี่ยนได้ (exchangeable calcium) ที่ผิวดินเหนียวยิ่งเหลือน้อยเท่าใดความยากที่จะไล่ที่ Ca^{2+} ออกไปจากผิวดินเหนียวให้หมดก็ยิ่งยากขึ้นเท่านั้น แต่ในทางตรงกันข้ามโซเดียมแลกเปลี่ยนได้ (exchangeable sodium) ยิ่งเหลือน้อยอยู่บ่น ผิวดินเหนียวเท่าใดก็ยิ่งง่ายต่อการที่จะถูกไล่ที่ออกไปมากขึ้นเท่านั้น ส่วนแอดต์ไอโอนบางชนิด เช่น K^+ และ Mg^{2+} นั้นจะไม่มีขึ้นอยู่กับ degree of saturation

4. แอดต์ไอโอนอื่นที่อยู่ร่วมด้วยบนผิวดินของดินเหนียว: แอดต์ไอโอนอื่นๆ ที่ดูดซึมอยู่บนผิวดินเหนียวร่วมกับแอดต์ไอโอนที่ต้องการจะไล่ที่นั้น มีบทบาทสำคัญเช่นกัน เช่น โพแทสเซียมแลกเปลี่ยนได้ (exchangeable K^+) ถูกไล่ที่ออกมากได้ง่ายขึ้นเมื่ออยู่ร่วมกับอะลูมิเนียมแลกเปลี่ยนได้ (exchangeable Al^{3+}) หรือ H^+ และถูกไล่ที่ได้ยากขึ้นเมื่ออยู่ร่วมกับแคลเซียมแลกเปลี่ยนได้ (exchangeable Ca^{2+})

2.2.4.1.2 ความสามารถในการแลกเปลี่ยนประจุ(Cation Exchange Capacity:CEC)[16-17]

CEC คือ ปริมาณมากที่สุดของประจุที่สามารถเข้าไปแทนที่ได้ มีหน่วยเป็น มิลลิสมมูล์ต่อกิโลกรัม หรือ 100 กรัม (meq/g หรือ meq/100 g) CEC ของดินขึ้นกับปัจจัยต่างๆ ดังนี้

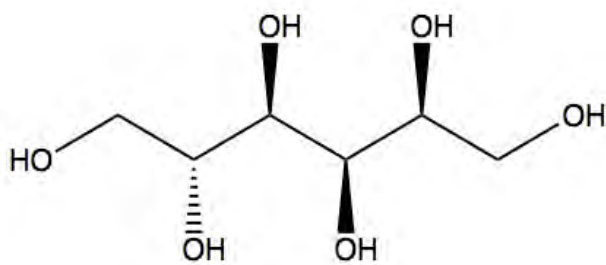
1. ชนิดของ colloidal ดิน : ความจุในการแลกเปลี่ยนไอโอนบวกของ colloidal ดินที่ต่างชนิดกันจะแตกต่างกันเป็นอย่างมาก เช่น ไฮมัส, มอนต์มอริลโลไนต์, อิลไล์ต์, เกอลินไนต์ และไฮดรัสออกไซด์ของเหล็กและอะลูมิเนียม โดยเฉลี่ยมีค่าแตกต่างกันตามลำดับ ดังนี้ 200, 100, 30, 8 และ 4 มิลลิสมมูล์ (meq)/100 กรัม ดังนั้นดินที่มีไฮมัสมากหรือมีพากมอนต์มอริลโลไนต์เป็นองค์ประกอบอยู่มากจะทำให้ CEC ของดินสูงขึ้นกว่าดินอีกชนิดหนึ่งซึ่งมีปริมาณดินเหนียวทั้งหมดเท่ากัน แต่ส่วนใหญ่ประกอบด้วยเกอลินไนต์ และไฮดรัสออกไซด์ของ Fe และ Al

2. ปริมาณของดินเหนียวที่มีอยู่ในดิน : ดินที่มีเปอร์เซ็นต์ดินเหนียวสูงย่อมมีค่า CEC สูงกว่าดินที่มีเปอร์เซ็นต์ดินเหนียวน้อยกว่า ดังนั้น จึงสามารถใช้ความสัมภានจากเนื้อดินเป็นหลักเกณฑ์ได้คร่าวๆ ว่าดินไหนมี CEC มากน้อยกว่ากัน ถ้าดินมีเนื้อละเอียดโอกาสที่จะมีค่า CEC สูงกว่าดินที่มีเนื้อหายากกว่าจะมาก ดังนั้น จึงสามารถประเมิน CEC ของดินโดยคร่าวๆ จากปริมาณดินเหนียว นั่นคือ ทุกหนึ่งเปอร์เซ็นต์ของดินเหนียวจะให้ CEC แก่ดินประมาณ 0.5 มิลลิสมมูล์ (meq)/100 g เช่น ถ้าดินมีดินเหนียว 30 เปอร์เซ็นต์ CEC ของดินนั้นจะประมาณ 15 มิลลิสมมูล์ (meq)/100 g

3. ปริมาณของอินทรีย์วัตถุในดิน : เนื่องจากไฮมัสมี CEC สูงมาก ดังนั้น ดินที่มีเปอร์เซ็นต์อินทรีย์วัตถุสูงจะมี CEC สูงด้วย

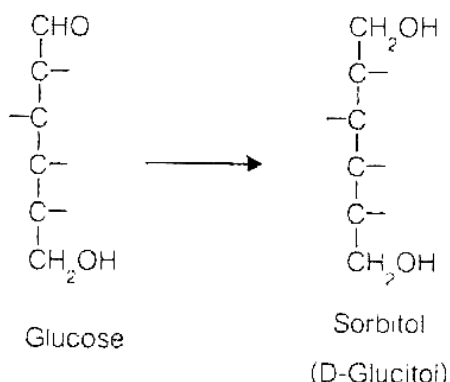
2.3 ซอร์บิทอล (Sorbitol) [22-23]

ซอร์บิทอล(sorbitol) (รูปที่ 2.22) มีชื่อเรียกอีกชื่อว่า กลูซิตอล (glucitol) เป็นน้ำตาลแอลกอฮอล์ที่ผลิตจากแป้ง โดยการ reduction ของกลูโคส เปลี่ยนหมุ่แอลดีไฮด์เป็นหมุ่ไฮดรอกซิล โดยมีลักษณะที่เป็นผงละเอียดสีขาว รสหวานเล็กน้อย ละลายน้ำได้ดี



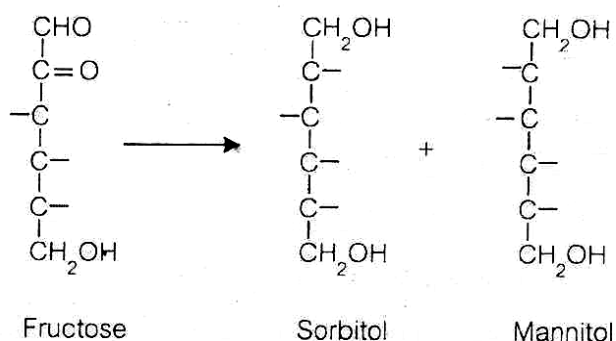
รูปที่ 2.22 โครงสร้างของซอร์บิทอล [21]

การผลิตซอร์บิทอลโดยการเติมไฮโดรเจน (hydrogenation) ในน้ำตาลกลูโคส ในภาวะที่เหมาะสม [120-150 องศาเซลเซียส ความดันไฮโดรเจน 30-70 atmospheric pressure (atm) และ pH 5-6] โดยใช้ Rancy Nickel 3-6 เปอร์เซ็นต์ เป็นตัวเร่งปฏิกิริยา ซึ่งพบว่าจะมีการเปลี่ยนหมู่ไฮดรอกซิล กลุ่มของคาร์บอนตำแหน่งที่ 1 ดังแสดงในรูปที่ 2.23



รูปที่ 2.23 การเติมไฮโดรเจนของกลูโคสได้เป็นซอร์บิทอล [22]

ในกรณีที่ทำการเติมไฮโดรเจนกับน้ำตาลฟรักโทส จะได้ซอร์บิทอล และแมนนิทอล ซึ่งในกรณีปกติจะได้แมนนิทอลประมาณ 30 เปอร์เซ็นต์ ดังแสดงในรูปที่ 2.24



รูปที่ 2.24 การเติมไฮโดรเจนของฟรักโทสได้ซอร์บิทอลและแมนนิทอล [22]

สมบัติทางเคมี และสมบัติทางกายภาพของชอร์บิทอลแสดงไว้ในตารางที่ 2.2 ในรูปหลัก ชอร์บิทอลและแม่นนิทอลจะมี cooling effect [22] เนื่องจากมีค่าความร้อนในการละลายเป็นลบ (คายความร้อน) สามารถละลายน้ำ และเสถียร ประ予以ชน์ของชอร์บิทอล คือ ใช้ในอุตสาหกรรมอาหาร, ยา, ทำหมากฟัน, ยาสีฟัน, วิตามินซี, เครื่องสำอาง และเป็นสารให้ความหวานที่มีปริมาณแคลอรีต่ำสำหรับคนเป็นโรคเบาหวาน

ตารางที่ 2.2 สมบัติทางเคมี และสมบัติทางกายภาพของชอร์บิทอล [22-23]

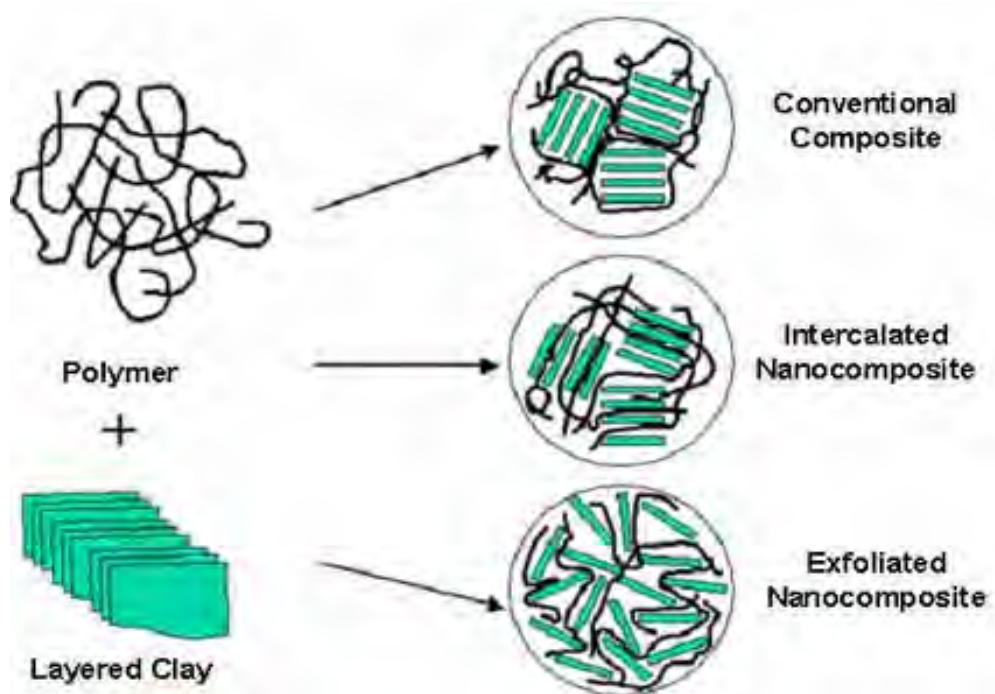
ชื่อ IUPAC	(2S,3R,4R,5R)-hexane-1,2,3,4,5,6-hexol
สูตรโครงสร้างทางเคมี	$C_6H_{14}O_6$
น้ำหนักโมเลกุล	182.17 กรัม/โมล
ความหนาแน่น	1.489 กรัม/ลูกบาศก์เซนติเมตร
จุดหลอมเหลว	95 องศาเซลเซียส
จุดเดือด	296 องศาเซลเซียส
ค่าความร้อนในการละลายที่ 25°C	-26.5 แคลอรี/กรัม
ความสามารถในการดูดความชื้น	ดูดความชื้น
ความสามารถในการละลายน้ำ (กรัม/น้ำ 100 กรัม ที่ 25°C)	ประมาณ 235

2.4 นาโนคอมโพสิต (Nanocomposites) [18, 24-25]

พอลิเมอร์ nano คอมโพสิตเป็นวัสดุชนิดใหม่ที่ได้รับความสนใจเป็นอย่างมากในช่วงเวลาไม่กี่ปีที่ผ่านมา เนื่องจากสามารถปรับปรุงสมบัติของวัสดุพอลิเมอร์ให้มีความแตกต่างจากเดิมได้โดยการเติมสารเจือจำพวกซิลิกเกตที่มีชื่อว่า “ลีก” ระดับนาโนเมตรในปริมาณต่ำ (น้อยกว่า 10 เปอร์เซ็นต์) ไม่เลกุลของพอลิเมอร์จะเข้าไปแทรกตัวอยู่บางส่วน และทำให้สมบัติของวัสดุผสมนี้เปลี่ยนไปทั้งสมบัติเชิงกล สมบัติทางความร้อน สมบัติทางแสง ความทนทานสาขาวิชาเคมีความต้านทานการติดไฟ และสมบัติการสกัดกั๋น โดยไม่มีผลทำให้ความหนาแน่นของผลิตภัณฑ์

เพิ่มขึ้นอย่างมีนัยสำคัญ โดยเหตุที่มีศักยภาพในการนำสุดชนิดนี้ไปใช้ในเชิงประยุกต์จึงทำให้มีความก้าวหน้าในงานวิจัยเกิดขึ้นอย่างรวดเร็ว ทั้งในลักษณะของการเตรียมพอลิเมอร์นาโนคอมโพสิตชนิดใหม่ การพัฒนาสารเจือที่เหมาะสม การวิเคราะห์โครงสร้าง การอธิบายเชิงทฤษฎี รวมทั้งการจำลองแบบโมเดลตัวย่อคอมพิวเตอร์เพื่อให้เกิดความเข้าใจต่อโครงสร้างและสมบัติของพอลิเมอร์นาโนคอมโพสิตมากขึ้น โดยการวิจัยเกี่ยวกับพอลิเมอร์นาโนคอมโพสิตได้นำการพัฒนาวิธีดัดแปลงเคลย์ให้เหมาะสมกับการใช้งาน โดยการดัดแปลงสารอินทรีย์เพื่อปรับปรุงให้เกิดโครงสร้างแบบเอกซ์ฟอลิเอต (exfoliate) ระหว่างการผสม และการรวมตัวกับพอลิเมอร์

พอลิเมอร์นาโนคอมโพสิตได้พัฒนาสู่การค้าเป็นครั้งแรกโดย Toyota Central R&D laboratory โดยใช้ caprolactam (nylon-clay nanocomposite) [25] เนื่องจากเมื่อได้ผสมพอลิเมอร์กับ ออร์กานเคลย์แล้วทำให้ชั้นซิลิกेटขยายออกจากกัน จึงเรียกว่า พอลิเมอร์-เคลย์นาโนคอมโพสิต (polymer-clay nanocomposites) ซึ่งการกระจายตัวของเคลย์ในเนื้อพอลิเมอร์จะแบ่งเป็น 3 ลักษณะ ดังแสดงในรูปที่ 2.25



รูปที่ 2.25 การกระจายตัวของเคลย์ในพอลิเมอร์คอมโพสิต [17]

จากรูปที่ 2.25 แสดงให้เห็นว่าพอลิเมอร์-เคลย์สามารถเกิดเป็นวัสดุคอมโพสิตได้ 3 แบบดังนี้

1. คอมโพสิตแบบทั่วไป (Conventional composites): อนุภาคของเคลย์จะเกาะกันเป็นกลุ่ม และพอลิเมอร์ไม่มีการแทรกเข้าไปในระหว่างชั้นของเคลย์
2. อินเตอร์คาเลตนาในคอมโพสิต (Intercalated nanocomposites): อนุภาคของเคลย์ มีการเกาะกันเป็นกลุ่ม แต่พบว่าระหว่างชั้นของเคลย์มีการขยายตัวเพิ่มมากขึ้น เนื่องจากสายโซ่พอลิเมอร์สามารถแทรกเข้าไปอยู่ภายใต้ชั้นของเคลย์ โดยไม่ทำให้ชั้นของเคลย์กระฉัดกระจาย ซึ่งยังคงสังเกตเห็นว่าเคลย์ยังคงมีการจัดเรียงตัวเป็นชั้นๆ อนกันอยู่
3. เอกซ์ฟอลิเอตนาในคอมโพสิต (Exfoliated nanocomposites): ชั้นของเคลย์จะกระจายตัวออกจากกันไม่มีโครงสร้างผลึกในแนวแกน C ทำให้ได้นาในคอมโพสิตที่ไม่มีการเปลี่ยนแปลงสมบัติทางแสง แต่มีสมบัติเชิงกล และสมบัติป้องกันการซึมผ่านของแก๊สได้ดีกว่าด้วย

2.4.1 ลักษณะสำคัญของพอลิเมอร์-เคลย์นาในคอมโพสิต [17]

1. มีความใส เพราะอนุภาคขนาดนาโนเมตรจะเล็กกว่าความยาวคลื่นแสง UV-Vis มาก จึงไม่ทำให้แสงเกิดการสะท้อน ไม่เกิดความมут ไม่ทึบแสง แต่จะโปร่งใส
2. มีความแข็งแรง มอดูลัสสูงขึ้น เนื่องจากความแข็งของชั้นซิลิกेट
3. มีสมบัติสักดิ์กันการซึมผ่านของแก๊ส เนื่องจากอนุภาคเคลย์ที่กระจายอยู่ในเนื้อของพอลิเมอร์มีพื้นผิวและมี aspect ratio สูง ทำให้ระยะทางการเคลื่อนของแก๊สเพิ่มมากขึ้น
4. ทนความร้อนสูง ได้ดี เพราะซิลิกेटเป็นชนวนที่ดี การเผาไหม้ทำให้เกิดถ่าน (char) ปกคลุมที่ผิวน้ำ จึงไม่ลามไฟ และไฟดับรวดเร็ว
5. เมื่อผสมในพอลิเมอร์ที่นำไฟฟ้าได้ จะทำให้นำไฟฟ้าหรืออิเล็กตรอนได้ดีขึ้น เพราะจำกัดการจัดตัวของโมเลกุลให้อยู่ในภาวะที่เอื้อต่อการนำไฟฟ้า เช่น สายโซ่ไม่เลกุณจะถูกยึดออกมากกว่าจะขาดทำให้การเคลื่อนที่ของอิเล็กตรอนสะดวกขึ้น

2.4.2 ผลิตภัณฑ์สำคัญของพอลิเมอร์-เคลย์นาในคอมโพสิต [17]

1. ชั้นส่วนรดยนต์ ซึ่งให้ความแข็งแรง คงทน และทนไฟ
2. สีพ่นรดยนต์ ให้ความคงทนมากขึ้น
3. แผ่นฟิล์มกันօกซิเจนในอาหาร/อาหาร อาหารกระป๋อง ป้องกันอาหารเสื่อมสภาพ
4. ขวดน้ำอัดลม เบียร์ ป้องกันการสูญเสียแก๊สคาร์บอนไดออกไซด์ที่อัดไว้
5. ถุงเทนนิส ถุงบรรจุ ป้องกันการสูญเสียแก๊สภายในถุงบรรจุ ถุงเทนนิส

2.4.3 แนวโน้มการพัฒนานาโนเคลร์ และพอลิเมอร์ nano-composite [16]

ต่างประเทศ : เทคโนโลยีนี้ได้รับการพัฒนาและถ่ายทอดสู่อุตสาหกรรมอย่างรวดเร็วในหลายประเทศ เช่น สหรัฐอเมริกา แคนาดา ญี่ปุ่น จีน เกาหลี และอีกหลายประเทศในยุโรป ได้แก่ เยอรมัน ฝรั่งเศส อิตาลี เป็นต้น โดยเน้นการนำไปใช้ ดังตัวอย่างต่อไปนี้

1. ชิ้นส่วนรถยนต์ ในปี 2004 บริษัทผู้ผลิตรถยนต์รายใหญ่ของโลกต่างประกาศว่าจะนำชิ้นส่วนที่ผลิตจากพอลิเมอร์ nano-composite มาใช้ในรถยนต์ เชื่อว่าในอนาคตสามารถผลิตรถยนต์ทั้งคันที่ทำจาก nano-composite ได้ ซึ่งมีความปลอดภัยสูง โดยเฉพาะจากไฟไหม้ ฉะลอกความสูญเสีย โดยทนความร้อนสูงขึ้น และลดการลามไฟ
2. ผลิตภัณฑ์การแพทย์ ได้แก่ ชิ้นส่วนที่ต้องทนน้ำ ด้านการซึมผ่านของแก๊ส เช่น เครื่องมือแพทย์ และชิ้นส่วนลินหัวใจเทียม
3. ผลิตภัณฑ์สำหรับอาหารและยา ได้แก่ พิล์มน้ำป้องกันการซึมผ่านของออกซิเจน และแก๊สต่างๆ และขาดน้ำอัดลม

ประเทศไทย : มีศักยภาพที่จะพัฒนาเป็นผลิตภัณฑ์ได้หลากหลาย

1. อุตสาหกรรมยานยนต์: ชิ้นส่วนรถยนต์
2. ผลิตภัณฑ์การแพทย์: สารคอมโพสิตอุดฟัน สายยางหรือห่อต่างๆ
3. ผลิตภัณฑ์ยางธรรมชาตินาโนคอมพอสิต : ปะเก็นล้อรถ ให้ความทนทาน แก็บัญหาได้
4. ผลิตภัณฑ์กีฬา: ลูกบอล ลูกเทนนิส
5. อุตสาหกรรมเกษตร: พิล์มการเกษตร พิล์มห่อผัก ผลไม้ พิล์มเลี้ยงตันค่อน
6. อุตสาหกรรมเสื้อผ้าและแฟชั่น: เส้นใยนาโนคอมพอสิตทนไฟ ให้ความอบอุ่น ย้อมสีติดได้ดี
7. พลังงานและสิ่งแวดล้อม: ตัวตรวจวัดแก๊สอันตราย บำบัดน้ำเสีย สารอิเล็กโทรไลต์ ในแบตเตอรี่ของแข็ง (solid battery) เช่น แบตเตอรี่ชินิดลิเทียมไอโอน (lithium ion battery)
8. อุตสาหกรรมบรรจุภัณฑ์อาหาร: พิล์มต้านแก๊สออกซิเจนซึมผ่าน ลดโอกาสอาหารเสื่อมสภาพ เป็นต้น

Huang และคณะ [27] ได้ศึกษาสมบัติเชิงกล และพฤติกรรมการเกิดผลลัพธ์ของพอลิไพรพิลีน/นาโนซิลิคัคอมโพสิตที่เตรียมด้วยกระบวนการหลอมเหลว(melt blending process) ซึ่งพบว่า ความทนแรงดึงของพอลิไพรพิลีน/นาโนซิลิคัคอมโพสิตมีค่ามากที่สุดเมื่อใช้นาโนซิลิกา 4 phr และความทนแรงกระแทกมีค่ามากที่สุดเมื่อใช้นาโนซิลิกา 5 phr ซึ่งการเติมนาโนซิลิกาจะเพิ่มอุณหภูมิการเกิดผลลัพธ์ (T_c) เพิ่มระดับการเกิดผลลัพธ์ (degree of crystallinity) และลดขนาดของสเปียร์ูลิต์ (spherulites) ด้วย

Calcagno และคณะ [28] ได้ศึกษาผลของมอนต์มอริลโลในต์ที่ดัดแปลงด้วยสารอินทรีย์ชนิดต่างๆ ต่อสัณฐานวิทยา และพฤติกรรมการเกิดผลลัพธ์ของพอลิเอทธิลีนเทเรฟทาเลตนาโนคอมพอสิต [poly(ethylene terephthalate) nanocomposite] พบร่วมกับนาโนคอมพอสิตที่เตรียมได้เมื่อสัณฐานวิทยาเป็นทั้งแบบอินเตอร์คาเลต (intercalate) และ เอกซ์ฟอลิเอต (exfoliate) โดยเคลย์ทำหน้าที่เป็นสารก่อผลลัพธ์ และเพิ่มอัตราการเกิดผลลัพธ์ ซึ่งนาโนคอมพอสิตประกอบด้วยนิวเคลียสจำนวนมากและสเปียร์ูลิต์มีขนาดเล็กกว่าในพอลิเอทธิลีนเทเรฟแทเลตบริสุทธิ์

Xu และคณะ [29] ได้ศึกษาผลของมอนต์มอริลโลในต์ต่อพฤติกรรมการเกิดผลลัพธ์ในพอลิเอทธิลีนนาโนคอมพอสิตที่มีโครงสร้างแบบอินเตอร์คาเลต (intercalate) และเอกซ์ฟอลิเอต (exfoliate) ซึ่งพบว่า มอนต์มอริลโลในต์แสดงผลของการเป็นสารก่อผลลัพธ์ และทำให้อุณหภูมิการเกิดผลลัพธ์ของนาโนคอมพอสิตที่มีโครงสร้างแบบ exfoliate มีค่าสูงขึ้น ขณะที่นาโนคอมพอสิตที่มีโครงสร้างแบบอินเตอร์คาเลต (intercalate) มีอุณหภูมิการเกิดผลลัพธ์ต่ำลงเนื่องจากพอลิเมอร์ถูกกักไว้ในชั้นของมอนต์มอริลโลในต์

สารก่อผลลัพธ์ [9] อาจเป็นสารอินทรีย์ หรือสารอนินทรีย์ที่มีน้ำหนักโมเลกุลต่ำที่ถูกเติมเข้าไปในพอลิเมอร์ก่อนหรือระหว่างกระบวนการขึ้นรูปในปริมาณเพียงเล็กน้อย โดยลักษณะ และสมบัติที่ดีของสารก่อผลลัพธ์ คือ

- (1) สามารถลดพลังงานเสริระห่วงพื้นผิว ก่อร่องคือ ดูดซับ (adsorb) พอลิเมอร์ไว้บนพื้นผิวได้ที่จุดหลอมเหลวหรือต่ำกว่าจุดหลอมเหลวของพอลิเมอร์
- (2) ไม่ละลายในพอลิเมอร์ที่จุดหลอมเหลวหรือต่ำกว่าจุดหลอมเหลวของพอลิเมอร์
- (3) ควรหลอมเหลวที่อุณหภูมิสูงกว่าจุดหลอมเหลวของพอลิเมอร์โดยไม่เกิดการแตกสลาย
- (4) ไม่ระเหย มีความเสถียร และไม่ทำปฏิกิริยากับสิ่งแวดล้อม เช่น พอลิเมอร์ ออกซิเจน ความชื้น และสารเติมแต่งต่างๆ
- (5) ควรมีโครงสร้างผลลัพธ์คล้ายกับพอลิเมอร์

บทที่ 3

การทดลอง

3.1 สารเคมี อุปกรณ์ และ เครื่องมือ

3.1.1 สารเคมี

3.1.1.1 โซเดียม-มอนต์มอริลโลไนต์ จากสถาบันวิจัยโลหะและวัสดุ จุฬาลงกรณ์

มหาวิทยาลัย

3.1.1.2 ซอร์บิทอล เกรด laboratory จากบริษัท Ajax Finechem

3.1.1.3 ไอโซเทกติกโพลิโพร์พิลีน ชื่อทางการค้า Moplen HP561R จากบริษัท เอช เอ็ม ชี
ปเลี่ยเมอร์ จำกัด (สมบัติแสดงไว้ในตารางที่ 3.1)

ตารางที่ 3.1 สมบัติทั่วไปของโพลิโพร์พิลีน

Resin properties (a)	Moplen HP561R	ASTM METHOD (b)
Melt flow rate (230°C / 2.16 kg), dg/min	25	D1238
Density, g/cm ³	0.90	D792B
Tensile strength at yield, MPa	32	D638
Elongation at yield, %	11	D638
Flexural modulus, MPa	1240	D790A
Notched izod impact strength at 23°C, J/m	24	D256A
Deflection temperature, at 455 kPa, °C	94	D648

(a) Values shown are averages and are not to be considered as specifications.

(b) ASTM test methods are the latest under Society's current procedures. All molded specimens are prepared by injection

3.1.2 อุปกรณ์และเครื่องมือ

- 3.1.2.1 หม้อแสดงน้ำสี
- 3.1.2.2 บีกเกอร์ขนาด 50 ml
- 3.1.2.3 เทอร์โมมิเตอร์ 100°C
- 3.1.2.4 ข้องตักสาร
- 3.1.2.5 แท่งแก้วคน
- 3.1.2.6 จานเพาะเชื้อ
- 3.1.2.7 ตะแกรงว่องขนาด 50 mesh
- 3.1.2.8 โกร่งبد
- 3.1.2.9 Heater
- 3.1.2.10 เครื่องปั่นผสมความเร็วสูง (high speed mixer)
- 3.1.2.11 อะลูมิเนียมฟอล์ย
- 3.1.2.12 ตู้อบสูญญากาศ
- 3.1.2.13 เครื่องบดผสมแบบสองลูกกลิ้ง (two-roll mill) ของ Lab Tech Engineering (ภาควิชาวัสดุศาสตร์)
- 3.1.2.14 เครื่องอัดแบบ (compression molding machine) ของ Lab Tech Engineering (ภาควิชาวัสดุศาสตร์)
- 3.1.2.15 เครื่องฟูเรียทرانฟอร์મอินฟราเรดスペคโทรมิเตอร์ (Fourier transform infrared spectrometer) ของ Thermo รุ่น 470 FT-IR (ภาควิชาวัสดุศาสตร์)
- 3.1.2.16 เครื่องดิฟเฟอเรนเชียลสแกนนิ่งแคลอริมิเตอร์ (Differential scanning calorimeter) ของ Perkin Elmer รุ่น DSC 7 (ภาควิชาวัสดุศาสตร์)
- 3.1.2.17 กล้องจุลทรรศน์อิเล็กตรอนแบบส่องการดู (Scanning electron microscope) ของ JEOL รุ่น JSM-5410LV (ศูนย์เครื่องมือวิจัยวิทยาศาสตร์และเทคโนโลยี จุฬาลงกรณ์มหาวิทยาลัย)
- 3.1.2.18 เครื่องเอกซเรย์ดิฟแฟร์กโนมิเตอร์ (X-ray diffractometer) ของ Bruker AXS รุ่น D8 discover (ศูนย์เครื่องมือวิจัยวิทยาศาสตร์และเทคโนโลยี จุฬาลงกรณ์มหาวิทยาลัย)
- 3.1.2.19 เครื่อง Polarized microscope (PM) รุ่น Olympus BH2 (ภาควิชาวัสดุศาสตร์)
- 3.1.2.20 เครื่อง Charpy impact tester รุ่น Izod-charpy Codice 10.17020 (ภาควิชาวัสดุศาสตร์)

3.2 ขั้นตอนการดำเนินงาน

3.2.1 การตัดแปรมอนต์มอริลโลในต์ด้วยซอร์บิทอล

ผสมมอนต์มอริลโลในต์ (MMT) และซอร์บิทอลในอัตราส่วน MMT : ซอร์บิทอล เท่ากับ 1 : 2 โดยนำหนัก ในหม้อสแตนเลส ที่อุณหภูมิ 100 องศาเซลเซียส เป็นเวลา 1 นาที แล้วนำของผสมที่ได้ไปผสมด้วยเครื่องปั่นผสมชนิดความเร็วสูง (รูปที่ 3.1) ด้วยความเร็วรอบ 3,000 รอบ/นาที เป็นเวลา 2 นาที โดยทันที จากนั้นเทของผสมลงบนแผ่นฟอยล์ และเก็บไว้ในตู้ดูดความชื้นจนของผสมแห้ง แล้วจึงนำมาต์มอริลโลในต์ดัดแปรด้วยซอร์บิทอล (sorbitol-modified MMT) ที่เตรียมได้ไปบดด้วยกรรงบดและร่อนผ่านตะเกียงขนาด 50 เมซ



รูปที่ 3.1 เครื่องปั่นผสมชนิดความเร็วสูง (high speed mixer)

3.2.2 การตรวจสกัดโครงสร้างผลึกของ MMT และ sorbitol-modified MMT ด้วยเทคนิค XRD

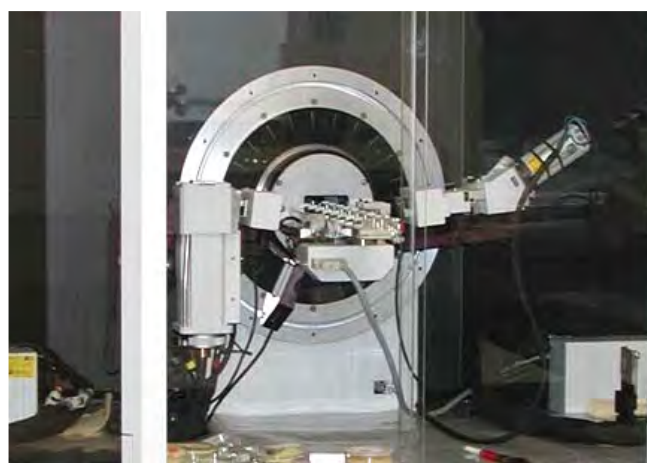
นำ MMT และ sorbitol-modified MMT ไปตรวจสกัดโดยใช้เครื่อง X-ray diffractometer (XRD) ของ Bruker AXS Model D8 Discover (รูปที่ 3.2) โดยใช้วิธีในการตรวจสกัดดังนี้

หลอดรังสีเอ็กซ์	:	Cu
ความยาวคลื่น (λ)	:	0.154 nm
ความต่างศักย์	:	40 kV
กระแสไฟฟ้า	:	40 mA
มุมที่ใช้	:	1-10 degree
Increment	:	0.02 degree
Scan speed	:	0.5 sec/step

คำนวณหาขนาดของระหว่างชั้นของอะลูมิโนซิลิเกตด้วย Bragg's Equation

$$n\lambda = 2d \sin\theta$$

เมื่อ	n	คือ จำนวนเต็ม (1, 2, 3, , n)
	λ	คือ ความยาวคลื่นของแหล่งกำเนิด, หน่วย nm
	d	คือ ระยะห่างระหว่างผลึก, หน่วย nm
	θ	คือ มุมตากวงรอบของรังสีกับแผ่นผลึก



รูปที่ 3.2 เครื่อง XRD ของ Bruker รุ่น AXS Model D8 Discover

3.2.3 การวิเคราะห์โครงสร้างของซอร์บิทอล, MMT และ sorbitol-modified MMT ด้วยเทคนิค FT-IR

นำซอร์บิทอล, MMT และ sorbitol-modified MMT ไปอัดเม็ดกับผงโปแทสเซียมไบร์ไมเดอร์ (KBr) แล้วนำไปวิเคราะห์ด้วยเครื่อง Fourier Transform Infrared Spectrometer (FT-IR) ของ Thermo รุ่น 470 FT-IR (รูปที่ 3.3)



รูปที่ 3.3 เครื่อง FT-IR ของ Thermo scientific Nicolet รุ่น 6700 FT-IR

3.2.4 การเตรียมพอลิโพร์พลีนนาในคอมพอสิต

ผสมพอลิโพร์พลีน (PP) กับ MMT และ sorbitol-modified MMT ในอัตราส่วนพอลิโพร์พลีน 100 ส่วน ต่อมอนต์มอริลโลไนต์ และมอนต์มอริลโลไนต์ดัดแปลงเป็น 1, 3, 5 และ 7 ส่วน ด้วยเครื่องบดผสมแบบสองลูกกลิ้ง (two-roll mill) ที่อุณหภูมิ 170 องศาเซลเซียส โดยใช้ความเร็วรอบ 12 รอบ/นาที เป็นเวลา 8 นาที จากนั้นขึ้นรูปนาโนคอมพอสิตให้เป็นแผ่นด้วยเครื่องขัดแบบ (compression molding) ให้มีความหนา 3 มิลลิเมตร ภายใต้ภาวะดังต่อไปนี้

Temperature	185	°C
Pre-heat time	60	sec
Venting time	10	sec (7 times)
Pressure time	150	sec
Cooling time	200	sec
Pressure	1000	psi

3.2.5 การตรวจสอบโครงสร้างผลึกของพอลิโพร์พลีนนาในคอมพ็อกซิตด้วยเทคนิค XRD

นำ พอลิโพร์พลีน/มอนเตอร์มอริลโล่ไลน์ต์ดั๊ดแปรด้วยซอร์บิทอล และพอลิโพร์พลีน/มอนเตอร์-มอริลโล่ไลน์ต์นาโนคอมพ็อกซิตไปตรวจสอบลักษณะโครงสร้างผลึกด้วยเครื่อง X-ray Diffractometer ของ Bruker รุ่น AXS Model D8 discover โดยใช้ภาวะในการตรวจสอบ ดังนี้

หลอดรังสีเอกซ์	:	Cu
ความยาวคลื่น (λ)	:	0.154 nm
ความต่างศักย์	:	40 kV
กระแสไฟฟ้า	:	40 mA
มุมที่ใช้	:	1 – 30 degree
Scan speed	:	0.5 sec/step

คำนวณหาขนาดช่องว่าง ระหว่างชั้นของอะลูมิโนซิลิเกตด้วย Bragg's Equation ($n\lambda = 2d \sin\theta$) เช่นเดียวกับวิธีในหัวข้อ 3.2.2 และคำนวณหาขนาดของผลึกแอลฟ่า (α - crystal) ด้วย Sherrer's Equation

$$D = K\lambda / B \cos\theta = 0.9\lambda / B \cos\theta$$

$$B = \frac{1}{2} (2\theta_1 - 2\theta_2)$$

เมื่อ λ คือ ความยาวคลื่นของแสงร่องกำนิด, หน่วย nm
 θ_1, θ_2 คือ มุมที่อยู่ตรงกันระหว่างหนึ่งของความสูงของพีก
 B คือ ค่าความกว้างที่ครึ่งหนึ่งของความสูงของพีก

3.2.6 การตรวจสอบพฤติกรรมการเกิดผลึกของพอลิโพร์พลีนนาในคอมพ็อกซิตด้วยเทคนิค DSC

ตรวจสอบพฤติกรรมการเกิดผลึกของพอลิโพร์พลีน, พอลิโพร์พลีน/มอนเตอร์มอริลโล่ไลน์ต์ และพอลิโพร์พลีน/มอนเตอร์มอริลโล่ไลน์ต์ดั๊ดแปรด้วยซอร์บิทอลนาโนคอมพ็อกซิต โดยหาอุณหภูมิการเกิดผลึก (crystallization temperature, T_c) อุณหภูมิหลอมเหลว (melt temperature, T_m) และปริมาณผลึกที่เกิดขึ้นด้วยเครื่อง Differential scanning calorimeter (DSC) ของ Perkin Elmer รุ่น DSC 7 (รูปที่ 3.4) ภายใต้บรรยากาศของแก๊สไนโตรเจน ที่อุณหภูมิ 50–200 องศาเซลเซียส

โดยให้ความร้อนในอัตรา 10 องศาเซลเซียส/นาที จากนั้นให้ความร้อนคงที่อุณหภูมิ 200 องศาเซลเซียส เป็นเวลา 3 นาที แล้วทำให้เย็นลงด้วยอัตรา 10 องศาเซลเซียส/นาที คงอุณหภูมิ 50 องศาเซลเซียส เป็นเวลา 1 นาที แล้วทำให้ร้อนอีกครั้งที่อุณหภูมิ 50–200 องศาเซลเซียส

ปริมาณผลึก (degree of crystallinity, X_c) ของพอลิโพร์พลีน และพอลิโพร์พลีน nanoคอมโพสิต คำนวณได้จากสมการ

$$X_c = \frac{\Delta H_m}{\Delta H_m^0}$$

เมื่อ ΔH_m คือ เอนthalpie การหลอมเหลวของชิ้นทดสอบ
 ΔH_m^0 คือ เอนthalpie การหลอมเหลวของพอลิโพร์พลีนที่มีปริมาณผลึก (X_c) เท่ากับ 100 เปอร์เซนต์ ซึ่งมีค่าเท่ากับ 209 จูลต่อกรัม (J/g)



รูปที่ 3.4 เครื่อง DSC ของ Perkin Elmer รุ่น DSC 7

3.2.7 การตรวจสอบลักษณะผลึกของพอลิโพร์พลีนด้วยเทคนิค polarized microscopy (PM)

ตรวจสอบลักษณะผลึกของพอลิโพร์พลีน, พอลิโพร์พลีน/มอนเต็มอริลโอล์ไมต์ และพอลิ-โพร์พลีน/มอนเต็มอริลโอล์ไมต์ดัดแปลงด้วยซอร์บิทอล nanoคอมโพสิต ด้วยเครื่อง polarized microscope (PM) รุ่น Olympus BH2 (รูปที่ 3.5)



รูปที่ 3.5 เครื่อง Polarized microscopy (PM) รุ่น Olympus BH2

3.2.8 การตรวจสอบสัณฐานวิทยาของพอลิไพรพิลีนนาโนคอมพอสิตด้วยเทคนิค SEM

ทำการตรวจสอบสัณฐานวิทยาของพอลิไพรพิลีน, พอลิไพรพิลีน/มอนต์มอริลโลไนต์ และพอลิไพรพิลีน/มอนต์มอริลโลไนต์ดัดแปลงด้วยซอร์บิทคลานาโนคอมพอสิต ด้วยเทคนิค Scanning electron microscopy (SEM) ของ JEOL รุ่น JSM-5410LV (รูปที่ 3.6) ที่ความต่างศักย์ 20 kv, magnification $15 \times 35,000$, resolution 5.5 ที่บีริเวนพื้นผิวของพอลิไพรพิลีนนาโนคอมพอสิต



รูปที่ 3.6 เครื่อง SEM ของ JEOL รุ่น JSM-5410LV

3.2.9 การทดสอบสมบัติความทนแรงกระแทกของนาโนคอมพอสิตด้วยเครื่อง Charpy impact tester

ทำการทดสอบความทนแรงกระแทกของพอลิไพรพิลีน, พอลิไพรพิลีน/มอนต์มอริลโลไนต์ และพอลิไพรพิลีน/มอนต์มอริลโลไนต์ดัดแปลงด้วยซอร์บิทคลานาโนคอมพอสิต ด้วยเครื่อง Charpy impact tester รุ่น Izod-charpy Codice 10.17020 (รูปที่ 3.7) ที่อุณหภูมิต่างๆ (-30°C, 0°C และ 25°C) ตามมาตรฐาน ASTM D256 โดยนำชิ้นทดสอบไปเก็บไว้ในตู้แช่แข็งก่อนนำมาระดับเป็นเวลา 24 ชั่วโมง



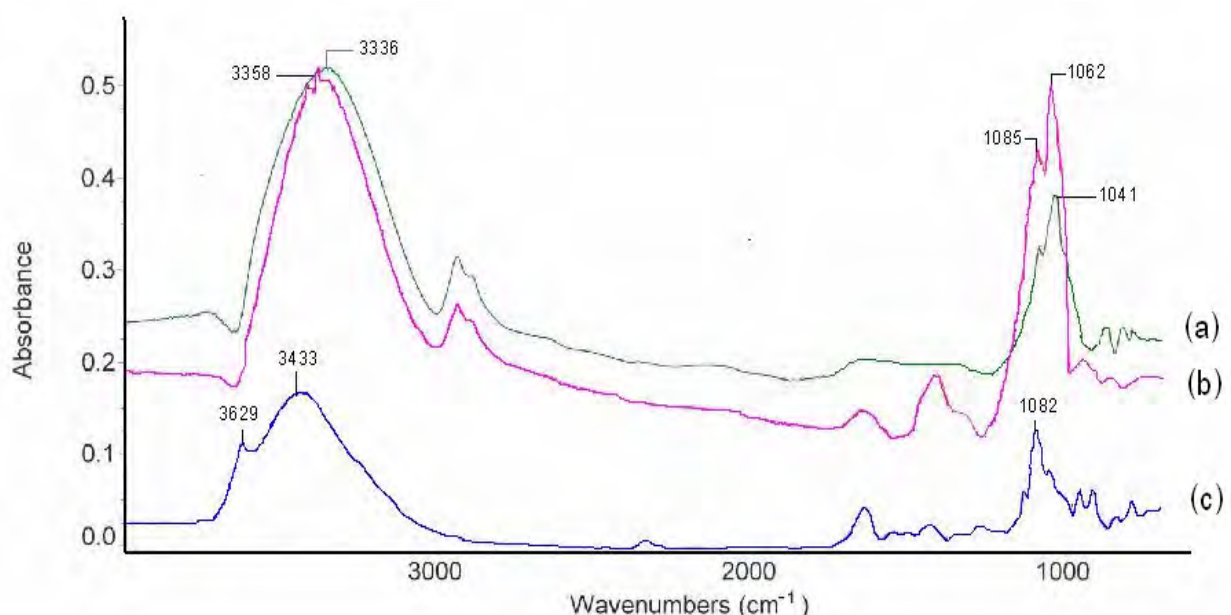
รูปที่ 3.7 เครื่อง Charpy Impact Tester รุ่น Izod-charpy Codice 10.17020

บทที่ 4

ผลการทดลองและวิจารณ์ผลการทดลอง

4.1 การวิเคราะห์โครงสร้างของซอร์บิทอล, มอนต์มอริลoline และ มอนต์มอริลoline ดัดแปลงด้วยเทคนิค Fourier transform infrared spectroscopy (FT-IR)

รูปที่ 4.1 แสดง FT-IR สเปกตรัมของซอร์บิทอล, มอนต์มอริลoline (MMT) และมอนต์มอริลoline ดัดแปลงด้วยซอร์บิทอล (sorbitol-modified MMT) ในช่วงความยาวคลื่น 800-4000 cm^{-1}



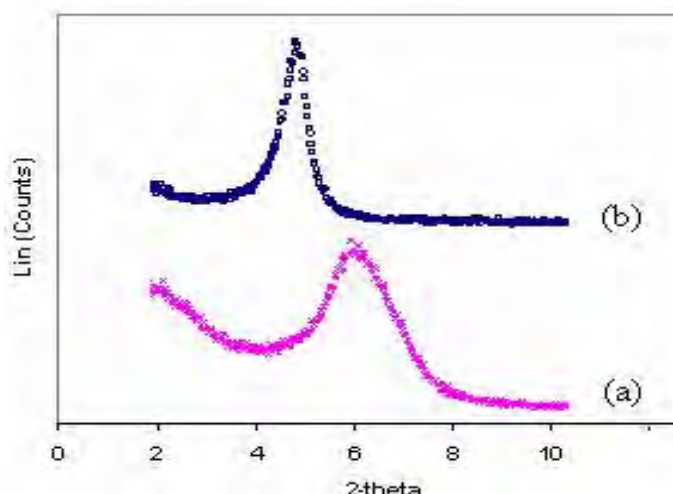
รูปที่ 4.1 FT-IR สเปกตรัมของ (a) ซอร์บิทอล (b) sorbitol-modified MMT และ (c) MMT

จากรูปที่ 4.1 พบร่วม FT-IR สเปกตรัม (a) ของซอร์บิทอลปราภพีก O-H stretching ($3300-3500 \text{ cm}^{-1}$) ที่ความยาวคลื่น 3336 cm^{-1} ซึ่งแสดงถึง hydroxyl groups (-OH) และพีก C-O stretching ($1000-1200 \text{ cm}^{-1}$) ที่ความยาวคลื่น 1041 cm^{-1} ซึ่งแสดงถึง C-OH group ส่วนสเปกตรัม (c) ของ MMT ปราภพีก O-H stretching ($3300-3500 \text{ cm}^{-1}$) ที่ความยาวคลื่น 3433 cm^{-1} , free O-H stretching ($3600-3700 \text{ cm}^{-1}$) ที่ความยาวคลื่น 3629 cm^{-1} และC-O strerching ($1000-1200 \text{ cm}^{-1}$) ที่ความยาวคลื่น 1082 cm^{-1} สำหรับพีก (b) ของ sorbitol-modified MMT นั้นพบร่วมพีกของ O-H stretching ขยับไปที่ความยาวคลื่น 3358cm^{-1} และพีก C-O stretching ขยับไปเกิดที่ความยาวคลื่น 1062 และ 1041 cm^{-1} และพบว่าไม่ปราภพีกของ free O-H stretching ซึ่งแสดงว่าหมู่ C-OH ของซอร์บิทอลเข้าไปทำปฏิกิริยา กับ free O-H stretching และ O-H

stretching ของ MMT ดังนั้น จึงอาจกล่าวได้ว่าโมเลกุลของซอร์บิทอลได้แทรกสอดเข้าไประหว่างชั้นซิลิเกตของ MMT ทำให้ระยะห่างระหว่างชั้นซิลิเกตใน sorbitol-modified MMT ที่ระนาบ 001 ขยายกว้างขึ้น

4.2 การตรวจสอบโครงสร้างผลึกของมอนต์มอริลโลไลต์, มอนต์มอริลโลไลต์ดัดแปลง และพอลิไพรophiline ในคอมโพสิตด้วยเทคนิค X-ray diffraction (XRD)

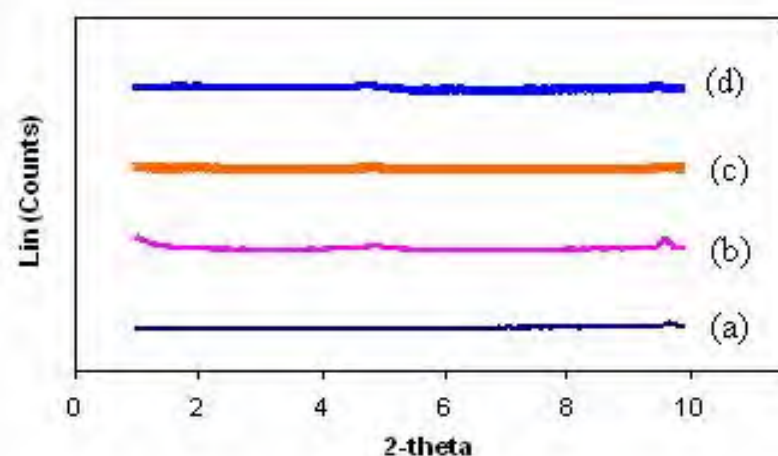
รูปที่ 4.2 แสดง XRD pattern ของ MMT และ sorbitol-modified MMT ในช่วง $2\theta = 2-10^\circ$



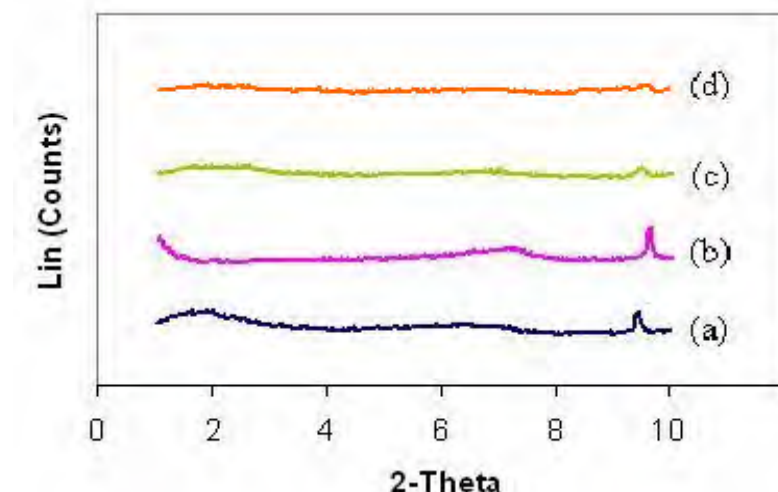
รูปที่ 4.2 XRD pattern ของ (a) MMT และ (b) sorbitol-modified MMT

จากรูปที่ 4.2 แสดงพีก (a) ของ MMT ที่ระนาบ 001 (d_{001}) พบว่า ปราภูพีกที่ $2\theta = 5.95^\circ$ ซึ่งเมื่อนำไปคำนวนค่าระยะห่างระหว่างชั้นซิลิเกตจากสมการของแบร์ก์ก (Bragg's Equation) พบว่า มีค่า = 1.485 นาโนเมตร ในขณะที่พีก (b) ของ sorbitol-modified MMT ปราภูพีกที่ $2\theta = 4.84^\circ$ ซึ่งเมื่อนำไปคำนวนหาค่าระยะห่างระหว่างชั้นซิลิเกต พบว่า มีค่า = 1.824 นาโนเมตร ซึ่งการเพิ่มขึ้นของระยะห่างระหว่างชั้นซิลิเกตใน sorbitol-modified MMT เนื่องจากโมเลกุลของซอร์บิทอลสามารถแทรกตัวเข้าไปอยู่ในช่องว่างระหว่างชั้นซิลิเกตของ MMT โดยพันธะไฮโดรเจน ที่เกิดขึ้นระหว่างหมุ่ไฮดรอกซิลในโมเลกุลของซอร์บิทอลกับหมุ่ไฮดรอกซิลของชั้นซิลิเกตใน MMT ประกอบกับอนุภาคซอร์บิทอลมีขนาดเล็กมากพอ จึงทำให้ซอร์บิทอลสามารถถูกเนื้อยางนำให้เข้ามาแทรกอยู่ระหว่างชั้นซิลิเกตของ MMT จึงทำให้โครงสร้างของ MMT ที่ผ่านการดัดแปลงมีลักษณะแบบ intercalation

รูปที่ 4.3 แสดง XRD pattern ของพอลิโพลีฟิล์ม/มอนเต็มอวิลโลไนต์ดัดแปลงด้วยซอร์บิทอลในนาโนคอมโพสิต (PP/sorbitol-modified MMT nanocomposites) และรูปที่ 4.4 แสดง XRD pattern ของพอลิโพลีฟิล์ม/มอนเต็มอวิลโลไนต์นาโนคอมพอยสิต (PP/MMT nanocomposites) ในช่วง $2\theta = 1-10^\circ$



รูปที่ 4.3 XRD pattern ของนาโนคอมพอยสิต (a) 100 PP/1 modified-MMT (b) 100 PP/3 modified-MMT (c) 100 PP/5 modified-MMT และ (d) 100 PP/7 modified-MMT

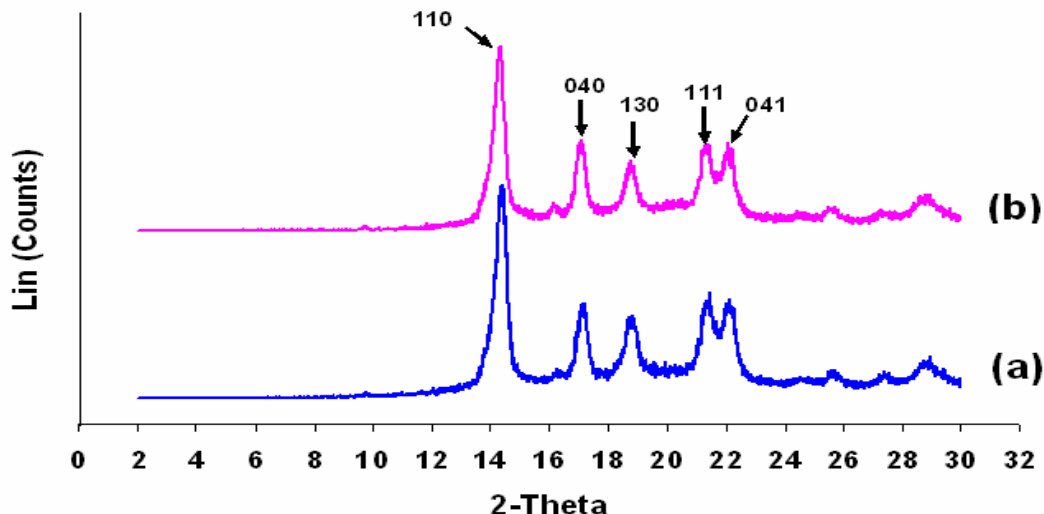


รูปที่ 4.4 XRD pattern ของนาโนคอมพอยสิต (a) 100 PP/1 MMT (b) 100 PP/3 MMT (c) 100 PP/5 MMT และ (d) 100 PP/7 MMT

จากรูปที่ 4.3 และ 4.4 แสดงให้เห็นว่าไม่ปรากฏพิกซ์ของโครงสร้าง MMT ที่ระนาบ 001 (d_{001}) ในช่วง $2\theta = 2-10^\circ$ เพราะชั้นซิลิเกตของ MMT เกิดการแตกออก เนื่องจากโมเลกุล PP ได้แทรกสอดเข้าไปอยู่ระหว่างชั้นของ MMT จนทำให้โครงสร้างของแผ่นซิลิเกตที่เรียงชั้อนกันเป็นชั้นๆ

ใน MMT แยกออกจากกัน ทั้งนี้เนื่องจากผลของ shear-stress และความร้อน ที่เกิดขึ้นขณะทำการผสม PP กับ MMT จึงส่งผลให้แผ่นซิลิเกตที่แยกออกจากกันกระจายตัวอยู่ใน PP ซึ่งแสดงให้เห็นว่า MMT ที่ดัดแปลงด้วยซอร์บิตอลใน PP นาโนคอมโพสิตมีโครงสร้างแบบ exfoliation

รูปที่ 4.5 แสดง XRD pattern ของ PP และ 100 PP/1 sorbitol-modified MMT nanocomposite



รูปที่ 4.5 XRD pattern ของ (a) PP และ (b) 100 PP/1 modified-MMT nanocomposite

จากรูปที่ 4.5 พบร่วมกันว่า ปรากฏพิกต์สำคัญ 5 พิกต์ที่ $2\theta = 14.06^\circ, 17.16^\circ, 18.80^\circ, 21.41^\circ$ และ 22.09° ซึ่งมีความสัมพันธ์กับระนาบ (001), (040), (130), (111) และ (040) ตามลำดับ ในผลึกแบบแอลฟ้า (α -phase) ของ PP ผลดังกล่าวแสดงให้เห็นว่า การเติม sorbitol-modified MMT เข้าไปใน PP ไม่มีผลต่อการเกิดผลึกแบบอัลฟ้าของ PP ใน PP nanocomposites เพราะชั้นซิลิเกตที่แยกออกจากกันมีขนาดเล็กมาก จึงไม่เป็นอุปสรรคต่อการเกิดผลึกของ PP

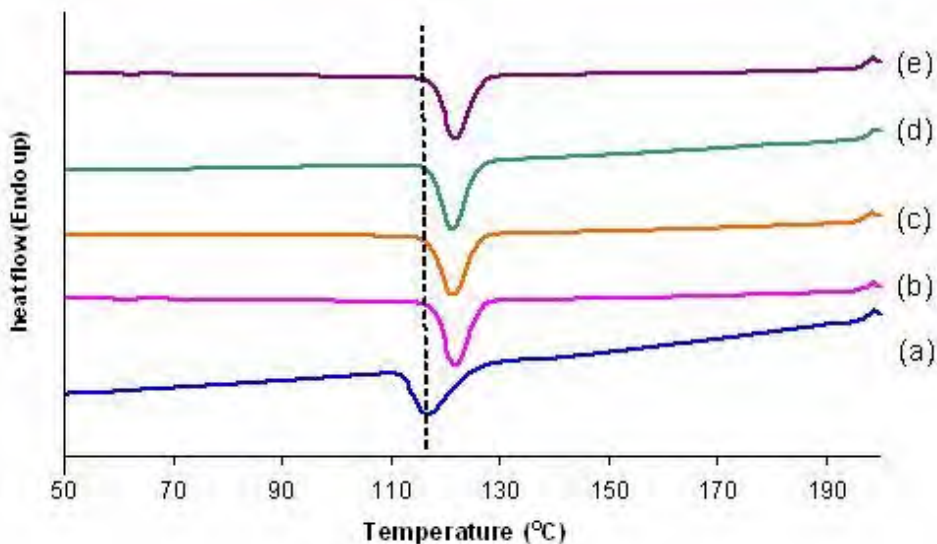
ตารางที่ 4.1 แสดงขนาดผลึกแบบแอลฟ้าของ PP และของ PP ในนาโนคอมโพสิตที่คำนวณจากความเข้มของพิกต์ที่ระนาบ 110 (d_{110}) ด้วยสมการของเชอร์เรอร์ (Sherrer's Equation) พบร่วมกันว่า ผลึกแบบแอลฟ้าของ PP ในนาโนคอมโพสิตมีขนาดเล็กกว่าใน PP บริสุทธิ์เล็กน้อย และว่าชั้นของซิลิเกตใน sorbitol-modified MMT ที่กระจายอยู่ใน PP ได้ทำหน้าที่เป็นสารก่อผลึกให้กับ PP ในนาโนคอมโพสิต จึงทำให้ผลึกแบบแอลฟ้าของ PP ในนาโนคอมโพสิตมีขนาดลดลง

ตารางที่ 4.1 ขนาดผลึกแบบแอลฟ่าของ PP และของ PP ในนาโนคอมโพสิต

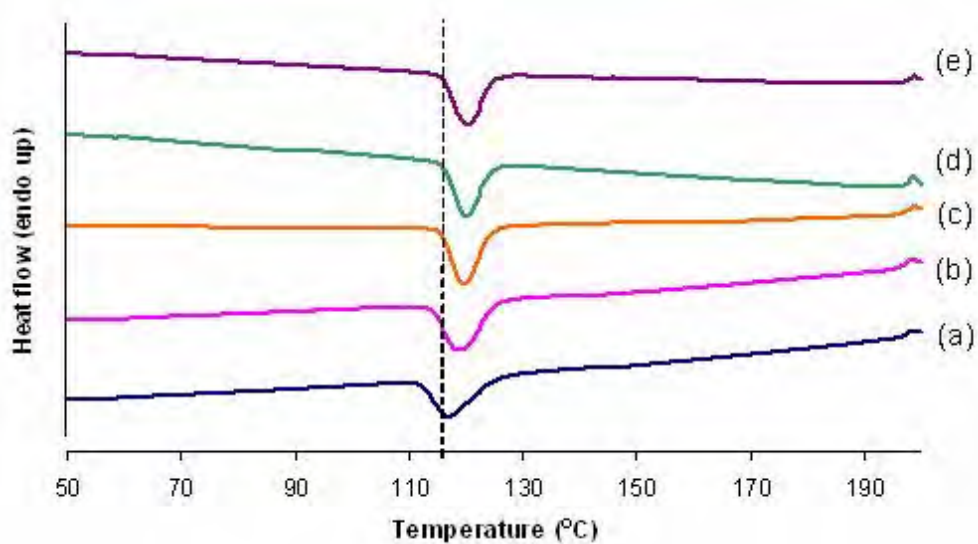
Composition	α -crystal diameter (nm)
Neat PP	60.80
100 PP/1 MMT	57.46
100 PP/3 MMT	56.78
100 PP/5 MMT	56.50
100 PP/7 MMT	59.00
100 PP/1 modified-MMT	53.79
100 PP/3 modified-MMT	54.20
100 PP/5 modified-MMT	60.68
100 PP/7 modified-MMT	58.69

4.3 การตรวจสอบสมบัติทางความร้อน และปริมาณผลึกที่เกิดขึ้นของพอลิไพรพิลีน/มอนเต็มอริลโลในตัวตัดแปรงในคอมโพสิตด้วยเทคนิค Differential scanning calorimetry (DSC)

สมบัติทางความร้อน และปริมาณผลึกที่เกิดขึ้นของ PP/sorbitol-modified MMT nano-composites แสดงไว้ในรูปที่ 4.6-4.7 และตารางที่ 4.2



รูปที่ 4.6 อุณหภูมิการก่อผลึก (T_c) ของ PP ใน (a) PP และ (b) 100 PP/1 modified-MMT, (c) 100 PP/3 modified-MMT, (d) 100 PP/5 modified-MMT และ (e) 100 PP/7 modified-MMT nanocomposites



รูปที่ 4.7 อุณหภูมิการก่อผลึก (T_c) ของ PP ใน (a) PP และ (b) 100 PP/1 MMT, (c) 100 PP/3 MMT, (d) 100 PP/5 MMT และ (e) 100 PP/7 MMT nanocomposites

ตารางที่ 4.2 อุณหภูมิการเกิดผลึก (T_c) อุณหภูมิหลอมเหลว (T_m) และปริมาณผลึก (X_c) ของ PP และ PP nanocomposites

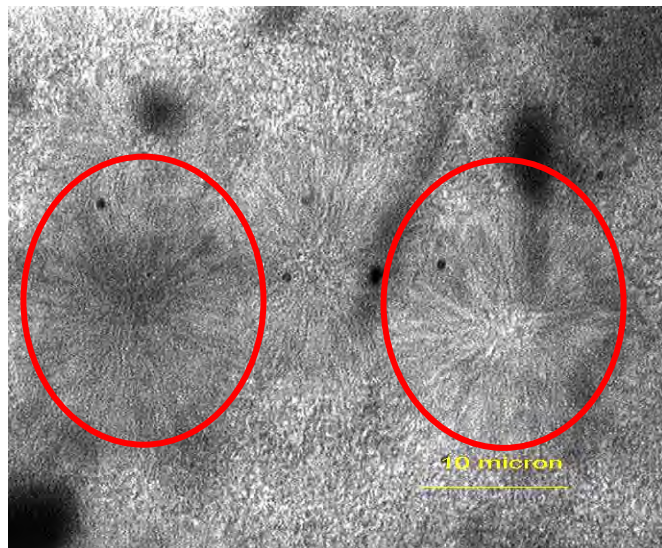
PP	PP/modified-MMT				PP/MMT			
	100/1	100/3	100/5	100/7	100/1	100/3	100/5	100/7
T_c (°C)	115.42	122.72	122.06	122.30	122.78	119.42	120.29	120.57
ΔH (J/g)	90.30	101.50	93.01	91.62	93.15	93.20	91.25	94.12
X_c (%)	43.21	48.64	44.50	43.83	44.52	44.60	43.66	45.03
T_m (°C)	165.41	165.00	164.12	164.64	165.10	165.88	165.54	165.8

รูปที่ 4.6 และ 4.7 แสดงให้เห็นว่าอุณหภูมิการเกิดผลึก (crystallization temperature, T_c) ของ PP/modified-MMT nanocomposites มีค่าไม่ต่างจากของ PP/MMT nanocomposites และของพอลิโพลิสิทธิ์ อีกทั้งยังสามารถตรวจพบได้เพียงค่าเดียวเท่านั้น ซึ่งแสดงให้เห็นว่ามีเพียงผลึกแบบแอลฟ่าเท่านั้นที่เกิดขึ้น ส่วนผลึกแบบบีتاและแบบแกรมไม่สามารถถูกเห็นได้ยังไง ให้เกิดขึ้นได้ด้วย MMT และ modified-MMT

ตารางที่ 4.2 แสดงคุณสมบัติการเกิดผลึก (T_c) คุณสมบัติหลอมเหลว (T_m) และปริมาณผลึกที่เกิดขึ้น (X_c) ของ PP, PP/modified-MMT nanocomposites และ PP/MMT nanocomposites ที่ได้รับการเปลี่ยนแปลงไปจาก PP บริสุทธิ์ แสดงว่าผลึกที่เกิดขึ้นมีเพียงผลึกแบบอัดฟ้าแบบเดียวเท่านั้น นอกจานี้ พบร่วมกับ PP/modified-MMT nanocomposites มีปริมาณผลึกมากกว่าที่ใน PP/MMT nanocomposites และ PP บริสุทธิ์ เนื่องจากชั้นของซิลิกอนใน MMT และ modified-MMT สามารถทำหน้าที่เป็นสารก่อผลึกให้กับ PP ได้ จึงทำให้ PP สามารถเกิดผลึกได้ง่ายขึ้น และทำให้มี T_c สูงขึ้นด้วย

4.4 การตรวจสอบลักษณะผลึกของพอลิไพรพิลิน, พอลิไพรพิลิน/มอนต์มอริลโลไนต์ nanoคอมโพสิต และพอลิไพรพิลิน/มอนต์มอริลโลไนต์ดัดแปลง nanoคอมโพสิต ด้วยเทคนิค polarized microscopy

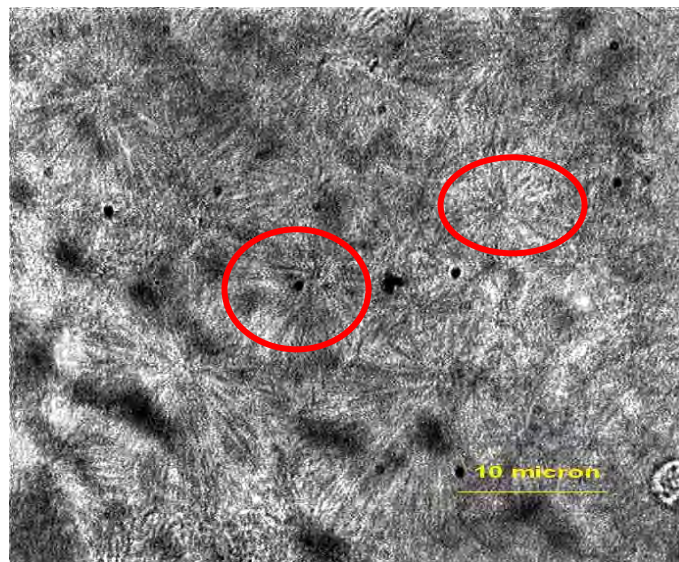
โดยปกติ PP ที่มีสเปียร์ไลต์ขนาดเล็กจะมีปริมาณความเป็นผลึกสูงกว่า และมีความหนาแน่นมากกว่า PP ที่มีสเปียร์ไลต์ขนาดใหญ่ ผลของ MMT และ modified-MMT ที่มีต่อขนาดและปริมาณผลึกของพอลิไพรพิลิน nanoคอมโพสิตได้แสดงไว้ในรูปที่ 4.8-4.16



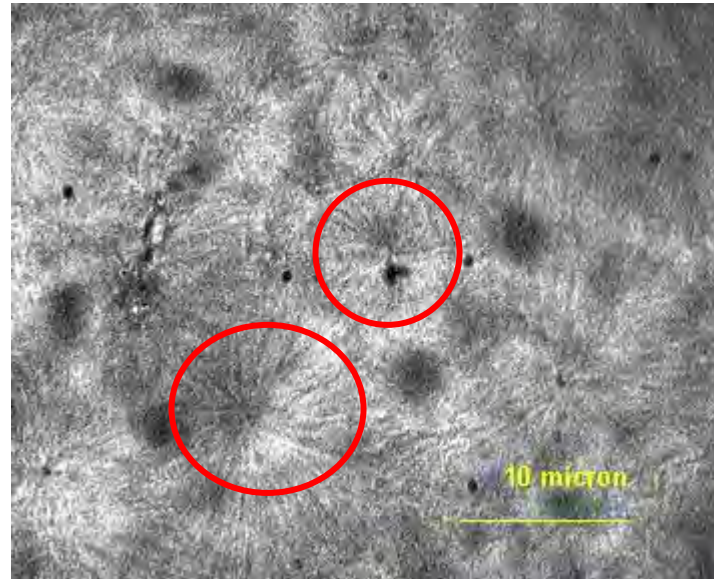
รูปที่ 4.8 ลักษณะสเปียร์ไลต์ของ PP บริสุทธิ์



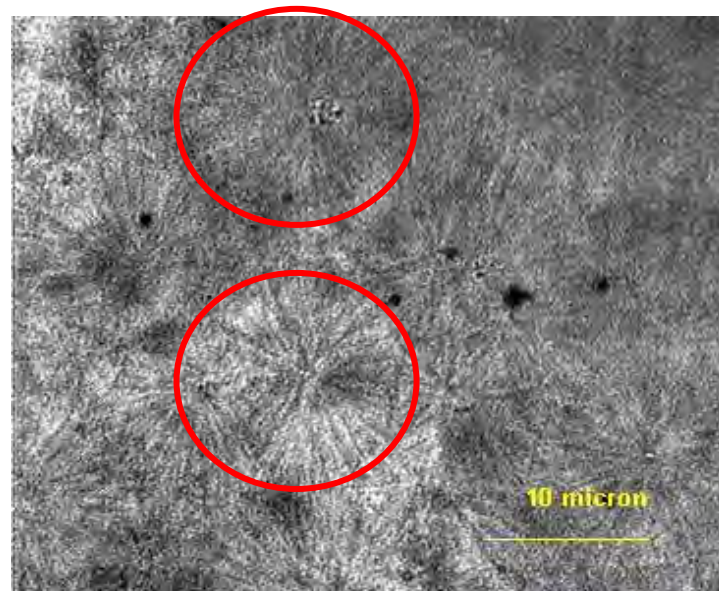
รูปที่ 4.9 ลักษณะเสี่ยงไอล์ต์ของ 100 PP/1 modified-MMT nanocomposite



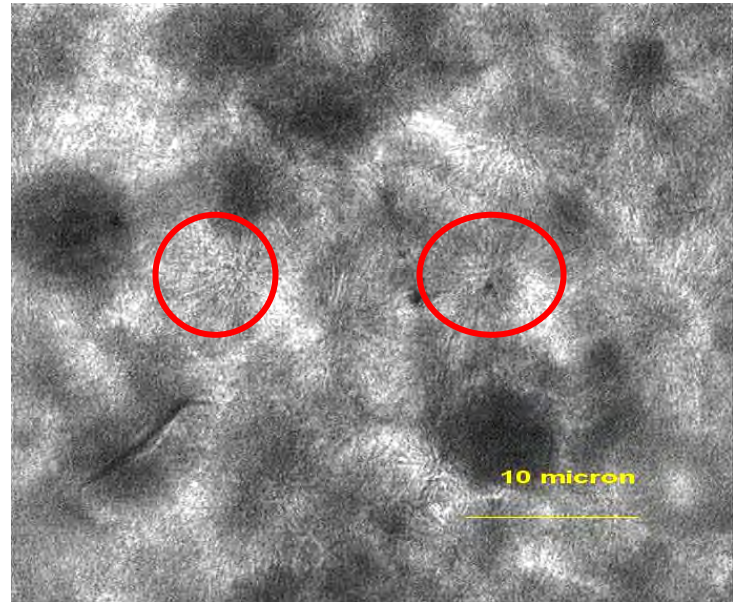
รูปที่ 4.10 ลักษณะเสี่ยงไอล์ต์ของ 100 PP/3 modified-MMT nanocomposite



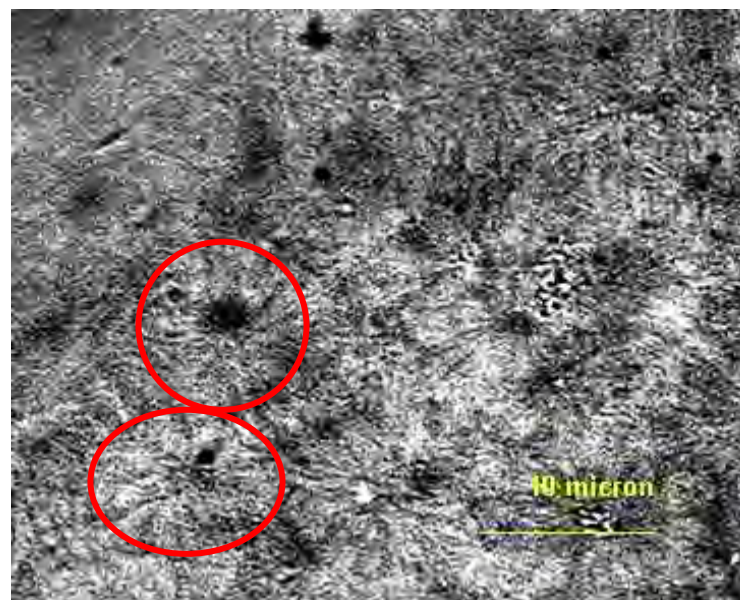
รูปที่ 4.11 ลักษณะเพียร์ไลต์ของ 100 PP/5 modified-MMT nanocomposite



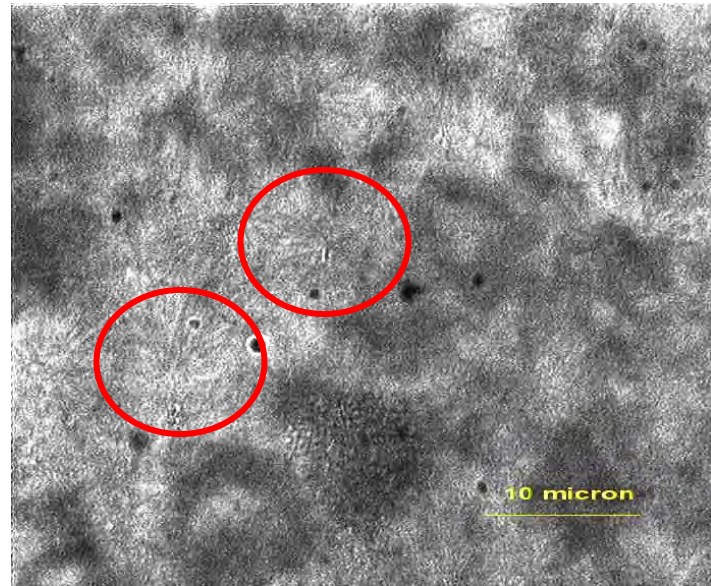
รูปที่ 4.12 ลักษณะเพียร์ไลต์ของ 100 PP/7 modified-MMT nanocomposite



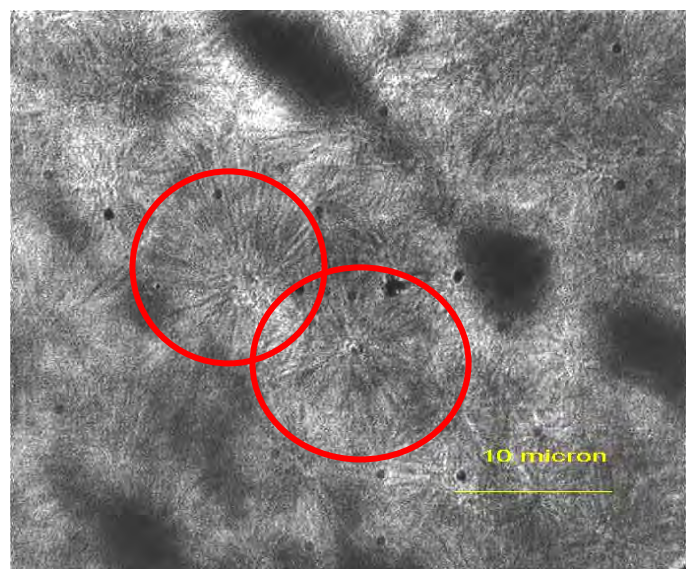
รูปที่ 4.13 ลักษณะสี่ขุ่นของ 100 PP/1 MMT nanocomposite



รูปที่ 4.14 ลักษณะสี่ขุ่นของ 100 PP/3 MMT nanocomposite



รูปที่ 4.15 ลักษณะส费ียร์ไลต์ของ 100 PP/5 MMT nanocomposite

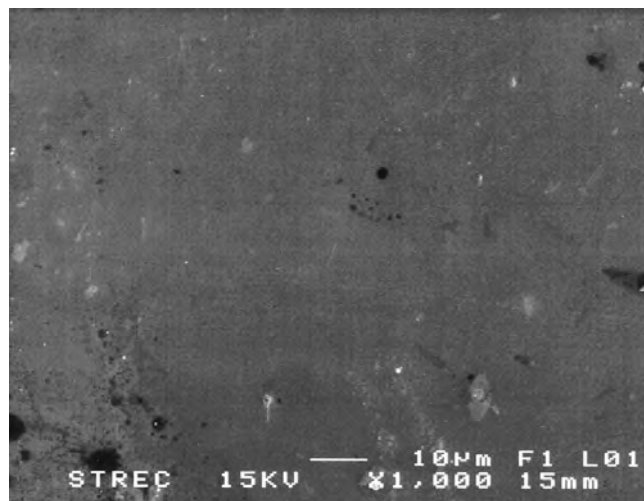


รูปที่ 4.16 ลักษณะส费ียร์ไลต์ของ 100 PP/7 MMT nanocomposite

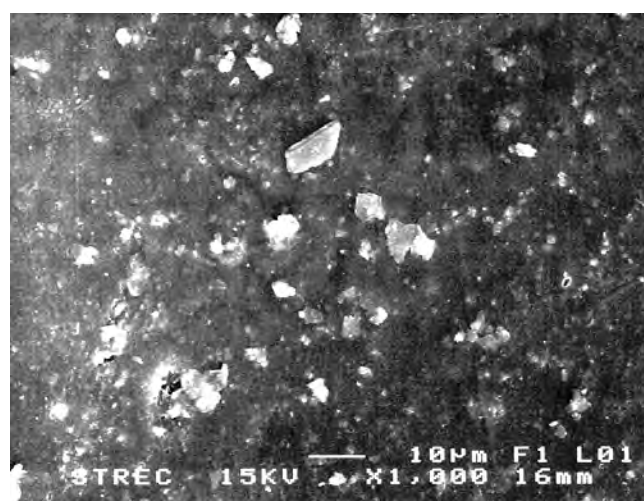
จากรูปที่ 4.8-4.16 แสดงให้เห็นว่า การเติม MMT และ modified-MMT ใน PP ช่วยเพิ่มปริมาณส费ียร์ไลต์และยังสามารถลดขนาดของส费ียร์ไลต์ได้ด้วย โดยส费ียร์ไลต์มีขนาดใหญ่ขึ้นเมื่อเพิ่มปริมาณ MMT และ modified-MMT ใน PP แต่ส费ียร์ไลต์ที่มีขนาดใหญ่ขึ้นนี้ก็ยังมีขนาดเล็กกว่าส费ียร์ไลต์ของ PP บริสุทธิ์ แสดงว่า MMT ที่เติมลงไปใน PP สามารถทำหน้าที่เป็นสารก่อผลึกให้กับ PP

4.5 การตรวจสอบการกระจายตัวของมอนต์มอริลไลน์ต์ และมอนต์มอริลไลน์ต์ดับเบิร์ก ในพอลิไพรพลีนนาโนคอมโพสิต ด้วยกล้องจุลทรรศน์อิเล็กตรอนแบบส่องกราด (Scanning electron microscope, SEM)

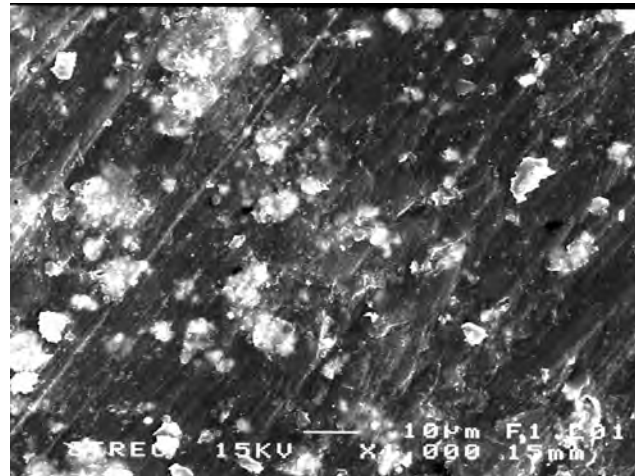
ความสามารถในการกระจายตัวของ MMT และ modified-MMT ที่ตรวจสอบด้วยกล้องจุลทรรศน์อิเล็กตรอนแบบส่องกราด (SEM) แสดงไว้ในรูปที่ 4.17-4.25



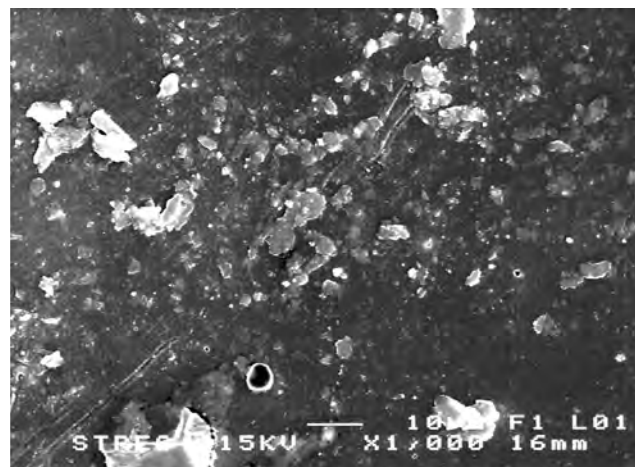
รูปที่ 4.17 ภาพ SEM ของ PP บริสุทธิ์



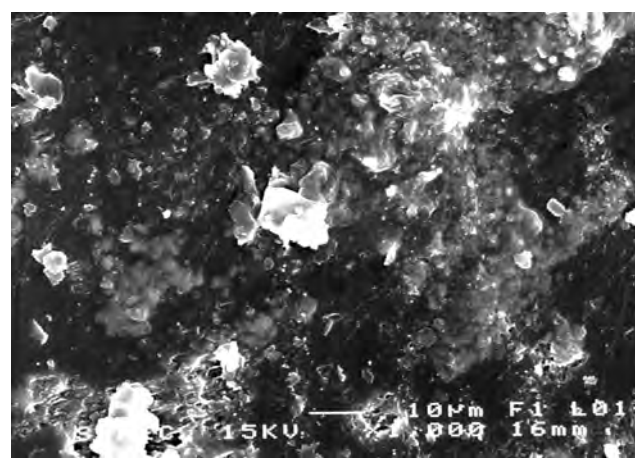
รูปที่ 4.18 ภาพ SEM ของ 100 PP/1 modified-MMT nanocomposite



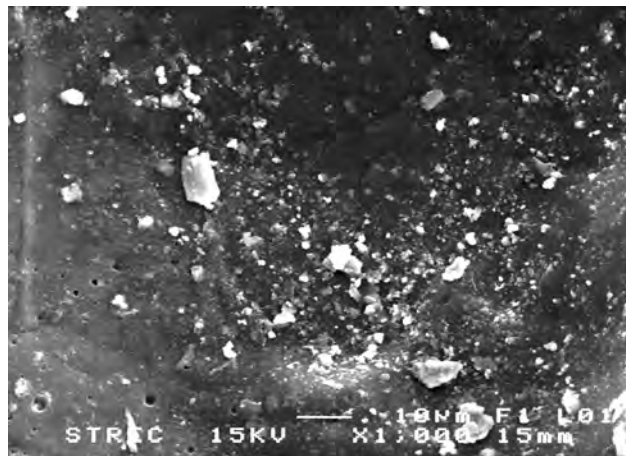
รูปที่ 4.19 ภาพ SEM ของ 100 PP/1 MMT nanocomposite



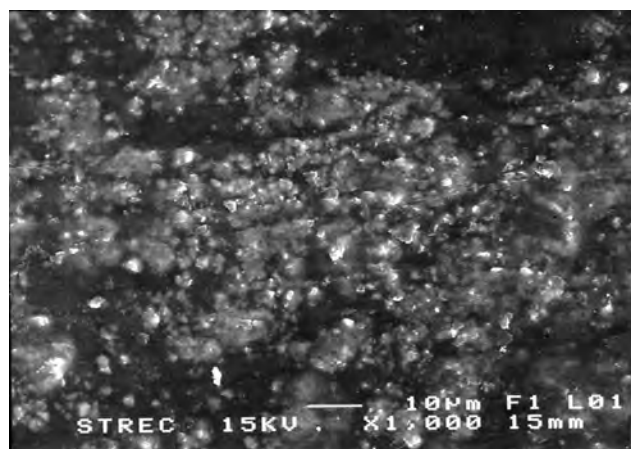
รูปที่ 4.20 ภาพ SEM ของ 100 PP/3 modified-MMT nanocomposite



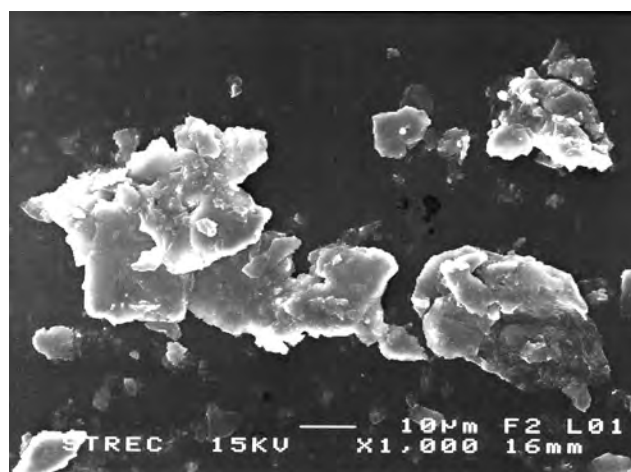
รูปที่ 4.21 ภาพ SEM ของ 100 PP/3 MMT nanocomposite



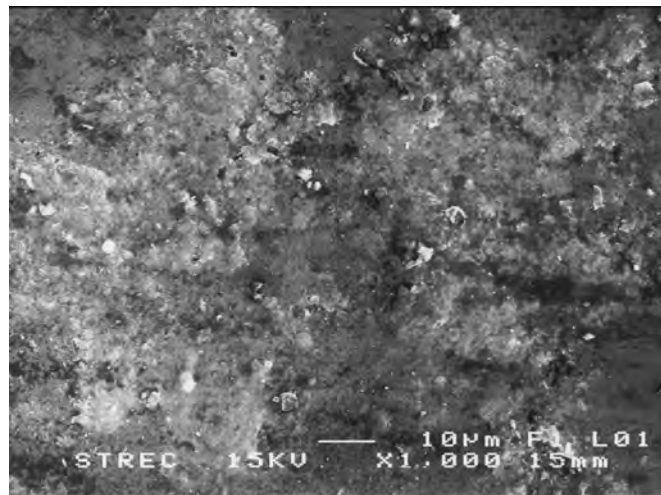
รูปที่ 4.22 ภาพ SEM ของ 100 PP/5 modified-MMT nanocomposite



รูปที่ 4.23 ภาพ SEM ของ 100 PP/5 MMT nanocomposite



รูปที่ 4.24 ภาพ SEM ของ 100 PP/7 modified-MMT nanocomposite

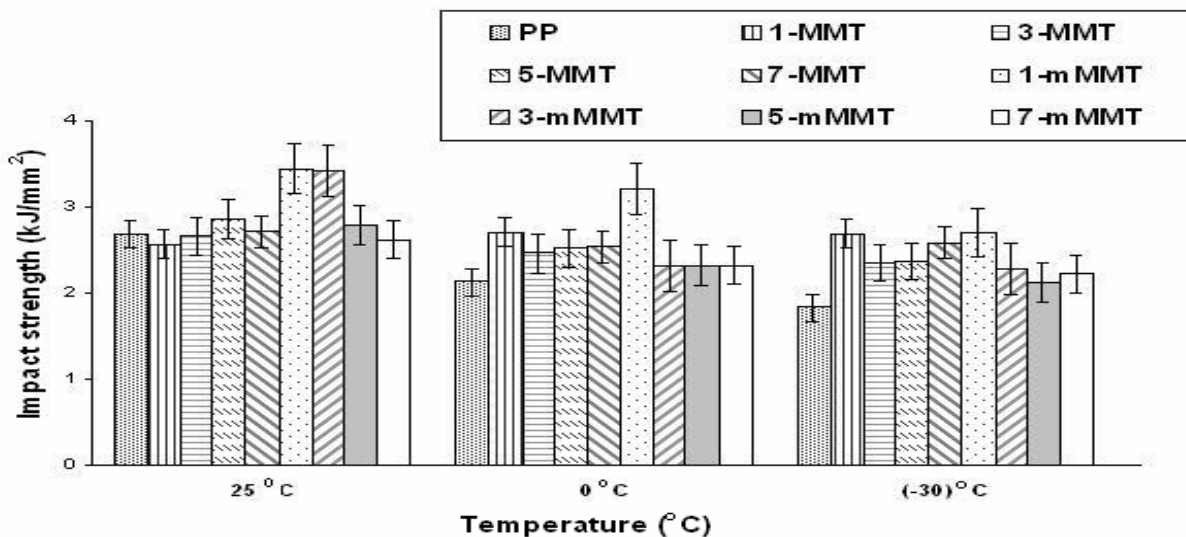


รูปที่ 4.25 ภาพ SEM ของ 100 PP/7 MMT nanocomposite

รูปที่ 4.18–4.25 แสดงสัณฐานวิทยาการกระจายตัวของ MMT และ modified-MMT ใน PP nanocomposites พบว่า sorbitol-modified MMT มีความสามารถในการกระจายตัวได้ดีกว่า MMT ที่ไม่ได้ดัดแปลง แต่หากเติม sorbitol-modified MMT ในปริมาณมากกว่า 3 phr จะพบการเกาะกลุ่มกันของ MMT จึงทำให้ PP nanocomposites มีผลึกขนาดใหญ่ขึ้น และมีสเปียร์ไลต์ขนาดใหญ่ขึ้นด้วย

4.6 การทดสอบสมบัติความทนแรงกระแทกของชั้นงานพอลิไพรพิลีน และพอลิไพรพิลีน นาโนคอมโพสิต

ผลของการเติม MMT และ modified-MMT ต่อสมบัติความทนแรงกระแทกของชั้นงานแสดงไว้ในรูปที่ 4.26 และตารางที่ 4.3



รูปที่ 4.26 ความทนแรงกระแทกที่ 25°C, 0°C และ -30°C ของ PP และ PP nanocomposites

ตารางที่ 4.3 ความทนแรงกระแทกที่ 25°C , 0°C และ -30°C ของ PP และ PP nanocomposites

Impact strength(kJ/mm ²)	25°C	0°C	-30°C
PP	2.68 ± 0.16	2.13 ± 0.14	1.83 ± 0.14
1-MMT	2.57 ± 0.12	2.70 ± 0.17	2.68 ± 0.25
3-MMT	2.66 ± 0.22	2.46 ± 0.182	2.35 ± 0.07
5-MMT	2.86 ± 0.19	2.52 ± 0.220	2.37 ± 0.03
7-MMT	2.71 ± 0.18	2.53 ± 0.136	2.58 ± 0.08
1-modified-MMT	3.44 ± 0.24	3.21 ± 0.29	2.7 ± 0.22
3-modified-MMT	3.41 ± 0.30	2.31 ± 0.21	2.29 ± 0.07
5-modified-MMT	2.78 ± 0.12	2.32 ± 0.24	2.12 ± 0.20
7-modified-MMT	2.62 ± 0.11	2.32 ± 0.21	2.22 ± 0.17

จากรูปที่ 4.26 และ ตารางที่ 4.3 พบว่า PP nanocomposites มีความทนแรงกระแทกสูงกว่า พอลิโพลีนบอร์ฟิล์ม ทั้งที่อุณหภูมิห้องและที่อุณหภูมิต่ำๆ โดยการเติมมอนต์มอริลโลไนต์ดัดแปลงในปริมาณ 1 phr ทำให้ชั้นงานมีความทนแรงกระแทกที่อุณหภูมิ 25°C , 0°C และ -30°C สูงที่สุด ซึ่งเกิดจากการมีผลึกขนาดเล็ก (มีพื้นที่ผิวจำเพาะมาก) จึงทำให้มี tie molecule จำนวนมาก牵挂อยู่ระหว่างสเฟียร์ไลต์ โดย tie molecule เหล่านี้มีความยืดหยุ่นดี จึงทำให้สามารถดูดซับพลังงานที่เกิดจากการกระแทกได้ดีขึ้น ผลงานให้วัสดุมีความทนแรงกระแทกเพิ่มขึ้น แต่เมื่อเพิ่มปริมาณของมอนต์มอริลโลไนต์ดัดแปลงมากกว่า 5 phr พบว่า ความทนแรงกระแทกมีค่าลดลงเนื่องจากทั้ง MMT และ modified-MMT เกิดการรวมตัวกันเป็นกลุ่มก้อน

บทที่ 5

สรุปผลการทดลองและข้อเสนอแนะ

5.1 สรุปผลการทดลอง

5.1.1 พอลิโพร์พีลีน/มอนต์มอริลโอล์ไนต์ดัดแปรนาโนคอมพ็อสิตที่เตรียมได้มีโครงสร้างแบบเอกซ์โพลิเอต

5.1.2 มอนต์มอริลโอล์ไนต์ดัดแปรด้วยซอร์บิทอลสามารถทำหน้าที่เป็นสารก่อผลึก (nucleating agent) ให้กับพอลิโพร์พีลีนได้ โดยช่วยเพิ่มอุณหภูมิการเกิดผลึก และอัตราการเกิดผลึกให้กับพอลิโพร์พีลีน สเปียร์ไลต์ของพอลิโพร์พีลีนมีขนาดเล็กลง และมีปริมาณผลึกมากกว่าพอลิโพร์พีลีนบริสุทธิ์

5.1.3 มอนต์มอริลโอล์ไนต์ดัดแปรด้วยซอร์บิทอลสามารถกระจายตัวในพอลิโพร์พีลีนได้ดีกว่ามอนต์มอริลโอล์ไนต์ที่ไม่ได้ดัดแปร

5.1.4 นานาโนคอมพ็อสิตของพอลิโพร์พีลีนที่เติมมอนต์มอริลโอล์ไนต์ดัดแปร 1 phr มีความทนแรงกระแทกที่อุณหภูมิห้อง, 0 องศาเซลเซียส และ -30 องศาเซลเซียส สูงสุด คือ 3.4, 3.2 และ 2.7 กิโลกรัมต่อตารางมิลลิเมตร ตามลำดับ และมีค่าความเป็นผลึกมากกว่าพอลิโพร์พีลีนบริสุทธิ์ร้อยละ 12.56

5.2 ข้อเสนอแนะ

5.2.1 ควรเพิ่มการทดสอบด้วยกล้องจุลทรรศน์แบบส่องผ่าน (Transmission electron microscope, TEM) เพื่อยืนยันโครงสร้างของนานาโนคอมพ็อสิตที่เตรียมได้

5.2.2 ควรเพิ่มการทดสอบความทนแรงกระแทกที่อุณหภูมิสูงด้วย เพื่อที่จะได้สามารถทราบช่วงอุณหภูมิที่ใช้งานของพอลิโพร์พีลีนนานาโนคอมพ็อสิต

5.2.3 ควรศึกษาระยะเวลาห่างระหว่างชั้นซิลิเกตที่เพิ่มขึ้นหลังจากดัดแปรมอนต์มอริลโอล์ไนต์ว่ามีปริมาณของโมเลกุลซอร์บิทอลแทรกสอดอยู่เท่าไร

รายการอ้างอิง

- [1] Frank ,P.T.J., Eindhoven, V.D.B., 2002. Crystallization of isotactic polypropylene : The influence of stereo-defects. Netherlands: Technische Universiteit Eindhoven.
- [2] นงดล เกิดดอนແກ. 2544. การเกิดผลึกของไอกโซแทกติกพอลิโพร์พลีนโดยสารก่อผลึกที่ได้จากการรีไซเคิลขวดเพทที่ใช้แล้วด้วยกระบวนการทางเคมี. วิทยานิพนธ์ปริญญามหาบัณฑิต. ภาควิชาวัสดุศาสตร์ คณะวิทยาศาสตร์ จุฬาลงกรณ์มหาวิทยาลัย.
- [3] James, L. W., David D. C. 2005. Polyolefins : Processing, Structure Development and Properties. Germany: Hanser Publishers.
- [4] Lehmann, B., Friedrich, K., CHUN, L. W., Ming, Q. Z. and MIN, Z. R. 2003. Improvement of notch toughness of low nano-SiO₂ filled polypropylene composites. Journal of materials science letters. 22: 1027–1030.
- [5] Zhang, H., Zhang, Z. 2007. Impact behaviour of polypropylene filled with multi-walled carbon nanotubes. European polymer journal. 43(8): 3197-3207.
- [6] Clive, M., Teresa, C. 1998. Polypropylene. Plastics Design Library. the United state of America: William Andrew Inc.
- [7] Paul, C. P. and Michael M. C. 1994. Fundamentals of Polymer Science - An Introductory Text. Cambridge: University of Cambridge.
- [8] Romankiewicz, A., Sterzynski, T., Brostow, W. 2004. Structural Characterization of α- and β-Nucleated Isotactic Polypropylene. Polymer International. 53: 2086-2091.
- [9] Beck, H.N. 1967. Heterogeneous Nucleating Agents for Polypropylene Crystallization. Journal of Applied Polymer Science. 11: 673-685.
- [10] อรุณชา สรวาธี. 2000. สารเติมแต่ง (Additive). พิมพ์ครั้งที่ 2. กรุงเทพมหานคร: สำนักพิมพ์จุฬาลงกรณ์มหาวิทยาลัย.
- [11] Deshmane, C., Yuan, Q., Perkins, R.S., and Misra, R.D.K. 2007. On Striking Variation in Impact Toughness of Polyethylene-Clay and Polypropylene-Clay-Polymer Interaction. Materials Science and Engineering A. 458: 150-157.

- [12] สุรีรัตน์ ใช้เอกปัญญา. 2550. การเตรียมนาโนคอมโพสิตพอลิโพรพิลีน/แบ่งมัน – สำมะ掠ัง/มอนต์มอริลโลไนต์. วิทยานิพนธ์ปริญญามหาบัณฑิต. ภาควิชาวัสดุศาสตร์ คณะวิทยาศาสตร์ จุฬาลงกรณ์มหาวิทยาลัย.
- [13] ระพีพรรณ ทองระบอา. 2548. การเตรียมนาโนคอมโพสิตของพีวีซี/อีวีเอ/มอนต์มอริลโลไนต์. วิทยานิพนธ์ปริญญามหาบัณฑิต. ภาควิชาวัสดุศาสตร์ คณะวิทยาศาสตร์ จุฬาลงกรณ์มหาวิทยาลัย.
- [14] Clois, E. P. and Gary, W. B. 2004. Physical Properties of Polymer/Clay Nanocomposites. chapter 33. Texas: Texas State University.
- [15] Bergaya, F., Theng, B.K.G., Lagaly, G. 2006 Handbook of clay science, Elsevier Ltd.
- [16] บงกช นันทบุญเลิศ. 2548. การเตรียมนาโนคอมโพสิตของยางธรรมชาติ/อีวีเอ/มอนต์มอริลโลไนต์. วิทยานิพนธ์ปริญญามหาบัณฑิต. ภาควิชาวัสดุศาสตร์ คณะวิทยาศาสตร์ จุฬาลงกรณ์มหาวิทยาลัย.
- [17] รัตนวรรณ มงคลพันธุ์. นาโนเคลย์/นาโนคอมโพสิต (Nanoclay/Nanocomposites) [ออนไลน์]. เข้าถึงได้จาก: www.thaiscience.com/lab_vol/P18/NANOCLAY.asp [2552, มกราคม 3]
- [18] Ray, S. S., Pouliot, S., Bousmina, M., and Utracki, L.A. 2004. Role of Organically Modified Layered Silicate as an Active Interfacial Modifier in Immiscible Polystyrene/Polypropylene Blends. Polymer. 45: 8403-8413.
- [19] Ma, X., Yu, J., and Wang, N. 2007. Production of Thermoplastic Starch/MMT-Sorbitol Nanocomposites by Dual-Melt Extrusion Process. Macromolecular Materials and Engineering. 292: 723-728.
- [20] Madhuchhanda, S., Kausik, D., Sankar, G. and Manath B. 2008. Polypropylene-clay composite prepared from Indian bentonite. Bulletin Materials Science. 31(1): 23–28.
- [21] Jimmy W. sorbitol [online]. Available <http://en.wikipedia.org/wiki/Sorbitol>. [2551, October 2]
- [22] กล้านรงค์ ศรีรอด และ เกื้อกูล ปิยะจอมขวัญ. 2543. เมทคโนโลยีของแบ่ง. พิมพ์ครั้งที่ 2. กรุงเทพมหานคร: สำนักพิมพ์มหาวิทยาลัยเกษตรศาสตร์.

- [23] Wang, S., Hu, Y., Zong, R., Tang, Y., Chen, Z., and Fan, W. 2004. Preparation and Characterization of Flame Retardant ABS/Montmorillonite Nanocomposite. *Applied Clay Science*. 25: 49-55.
- [24] Ray, S.S., and Okamoto, M. 2003. Polymer/layered Silicate Nanocomposites: a Review from Preparation to Processing. *Progress in Polymer Science*. 28: 1539-1641.
- [25] Kojima, Y., Usuki, A., Kawasumi, M., Okada, A., Kurauchi, T., Kamigaito, O. 1993. Synthesis of nylon 6-clay hybrid by montmorillonite intercalated with 3-caprolactam. *Journal of polymer science: Part A: polymer chemistry*. 31: 983.
- [26] Moore, D. M., Reynolds J. R. C. 1997. *X-Ray Diffraction and the Identification and Analysis of Clay Minerals*; 2nd edition.; Oxford University Press; Oxford.
- [27] Huang, L., Renbo, Z. and Yafei, L. 2006. Mechanical Properties and Crystallization Behavior of Polypropylene/Nano-SiO₂ Composites. *Journal of Reinforced Plastics and Composites*. 25: 1001-1012.
- [28] Calcagno, C.I.W., Mariani, C.M., Teixiera, S.R., and Mauler, R.S. 2007. The Effect of Organic Modifier of the Clay on Morphology and Crystallization Properties of PET Nanocomposites. *Polymer*. 48: 966-974.
- [29] Xu, J.T., Wang, Q. and Fan, Z.Q. 2005. Non-isothermal Crystallization Kinetics of Exfoliated and Intercalated Polyethylene/Montmorillonite Nanocomposites Prepared by in situ Polymerization. *European Polymer Journal*. 41: 3011-3017.

ภาคผนวก

ภาคผนวก ก

ข้อมูลดิบ

ตารางที่ 1 ความหนาแรงกระแทกของพอลิโพร์พีลีน, และพอลิโพร์พีลีน/มอนต์มอริลโลไนเตอร์ในโนนคอมพอสิต ที่อุณหภูมิ 25°C

25 °C	PP	1-MMT	3-MMT	5-MMT	7-MMT
kJ/mm^2	2.51	2.69	2.82	2.73	2.82
	2.73	2.51	2.51	2.88	2.88
	2.82	2.47	2.77	2.51	2.82
	2.66	2.60	2.63	2.95	2.51
	2.59	2.52	2.56	2.98	2.51
STD	0.161	0.118	0.221	0.194	0.185
เฉลี่ย	2.68	2.57	2.66	2.86	2.71

ตารางที่ 2 ความหนาแรงกระแทกของพอลิโพร์พีลีน และพอลิโพร์พีลีน/มอนต์มอริลโลไนเตอร์ดัดแปลงด้วยซอร์บิทอลในโนนคอมพอสิต ที่อุณหภูมิ 25°C

25 °C	PP	1-mMMT	3-mMMT	5-mMMT	7-mMMT
kJ/mm^2	2.51	3.45	3.13	2.66	2.51
	2.73	3.29	3.76	2.88	2.51
	2.82	3.33	3.13	2.66	2.73
	2.66	3.29	3.57	2.82	2.66
	2.59	3.76	3.13	2.60	2.62
STD	0.161	0.238	0.299	0.119	0.111
เฉลี่ย	2.68	3.44	3.41	2.78	2.62

ตารางที่ 3 ความทนแรงกระแทกของพอลิไพรพิลีน และพอลิไพรพิลีน/มอนต์มอริลโอล์ไนต์ นานาในคอมพอสิต ที่อุณหภูมิ 0°C

0°C	PP	1-MMT	3-MMT	5-MMT	7-MMT
kJ/mm^2	2.02	2.89	2.60	2.60	2.66
	2.17	2.60	2.89	2.26	2.40
	2.05	2.61	2.46	2.61	2.60
	2.31	2.77	2.60	2.60	2.45
	2.14	2.59	2.61	2.89	2.51
STD	0.138	0.167	0.182	0.226	0.136
เฉลี่ย	2.13	2.70	2.64	2.52	2.53

ตารางที่ 4 ความทนแรงกระแทกของพอลิไพรพิลีน และพอลิไพรพิลีน/มอนต์มอริลโอล์ไนต์ดัดแปลงด้วยซอร์บิทอくなในคอมพอสิต ที่อุณหภูมิ 0°C

0°C	PP	1-mMMT	3-mMMT	5-mMMT	7-mMMT
kJ/mm^2	2.02	3.48	2.02	2.17	2.60
	2.17	3.47	2.31	2.17	2.31
	2.05	3.62	2.17	2.31	2.38
	2.31	2.60	2.52	2.60	2.02
	2.14	3.62	2.26	2.66	2.46
STD	0.138	0.529	0.215	0.236	0.214
เฉลี่ย	2.13	3.29	2.26	2.22	2.31

ตารางที่ 5 ความทนแรงกระแทกของพอลิโพร์พีลีน และพอลิโพร์พีลีน/มอนต์มอริลโลไนต์ นานาในคอมพอสิต ที่อุณหภูมิ (-30)°C

(-30) °C	PP	1-MMT	3-MMT	5-MMT	7-MMT
kJ/mm^2	1.88	2.75	2.46	2.26	2.60
	1.73	2.73	2.43	2.31	2.46
	2.02	2.38	2.47	2.38	2.66
	2.03	2.89	2.31	2.34	2.43
	1.87	2.53	2.54	2.29	2.54
STD	0.138	0.251	0.072	0.028	0.083
เฉลี่ย	1.92	2.68	2.42	2.30	2.53

ตารางที่ 6 ความทนแรงกระแทกของพอลิโพร์พีลีน และพอลิโพร์พีลีน/มอนต์มอริลโลไนต์ดัดแปลงด้วยชอร์บิทอโนนาในคอมพอสิต ที่อุณหภูมิ (-30)°C

(-30) °C	PP	1-mMMT	3-mMMT	5-mMMT	7-mMMT
kJ/mm^2	1.88	2.46	2.31	2.31	2.31
	1.73	2.89	2.34	2.02	2.02
	2.02	2.60	2.38	2.26	2.34
	2.03	3.18	2.17	2.08	2.19
	1.87	2.77	2.29	2.15	2.25
STD	0.138	0.221	0.072	0.204	0.167
เฉลี่ย	1.92	2.78	2.28	2.17	2.22

ประวัติผู้เขียนวิทยานิพนธ์

น.ส. อาจารี อัศวนิดลกุลทรี เกิดเมื่อวันที่ 4 พฤษภาคม พ.ศ.2528 สำเร็จการศึกษา
รับปริญญาตรี วิทยาศาสตร์บัณฑิต ภาควิชาวัสดุศาสตร์ คณะวิทยาศาสตร์ จุฬาลงกรณ์มหาวิทยาลัย
ปีการศึกษา 2549 หลังจากนั้นเข้าศึกษาต่อในหลักสูตรวิทยาศาสตร์บัณฑิต สาขาวิทยาศาสตร์
พอลิเมอร์ประยุกต์และเทคโนโลยีสิ่งทอ ภาควิชาวัสดุศาสตร์ คณะวิทยาศาสตร์ จุฬาลงกรณ์
มหาวิทยาลัย เมื่อภาคต้นของปีการศึกษา 2550 รวมระยะเวลาในการศึกษา 2 ปี